

JAERI-M

5 4 1 0

JMTRC実験による燃料試料発熱量(Q_{CF})
推定技術の分析(♯3～♯14サイクル)

—付 Q_{CF} , Q_{cal} , Q_{GEN} 比較一覧表—

1973年10月

材料試験炉部 計画課

日本原子力研究所
Japan Atomic Energy Research Institute

M-1A1-M

JAERI

(M-1) 原子炉実験研究会報

(M-1) 原子炉実験研究会報

原 子 炉 実 験 研 究 会 報

原 子 炉 実 験 研 究 会 報

原 子 炉 実 験 研 究 会 報

この報告書は、日本原子力研究所が JAERI-M レポートとして、不定期に刊行している研究報告書です。入手、複製などのお問合せは、日本原子力研究所技術情報部（茨城県那珂郡東海村）あて、お申しこしください。

JAERI-M reports, issued irregularly, describe the results of research works carried out in JAERI. Inquiries about the availability of reports and their reproduction should be addressed to Division of Technical Information, Japan Atomic Energy Research Institute, Tokai-mura, Naka-gun, Ibaraki-ken, Japan.

J M T R C 実験による燃料試料発熱量 (Q_{CF}) 推定
技術の分析 (# 3 ~ # 1 4 サイクル)

日本原子力研究所大洗研究所
材料試験炉部計画課
(1 9 7 3 年 9 月 1 3 日受理)

J M T R では燃料試料の発熱量を 2 つの方法で予測している。1 つは核計算によるもの Q_{cal} で、他の 1 つは J M T R C における実験 (C F 先行試験) によるもの Q_{CF} である。現在原子炉の運転に当って発熱量の推定精度向上が強く望まれており、このため 2 つの推定値について現状の分析・精度向上の方策検討を行なった。

先ず前半で # 1 4 サイクル当時の Q_{CF} 推定技術の概要についてまとめ (Q_{cal} 推定技術については別にまとめたものがある)、後半でデータの分析を行なった。

今回は実際に照射を開始した # 3 サイクルから # 1 4 サイクル迄のデータについて Q_{CF} と Q_{cal} との比較と言う形で実施した。

なお比較に当っては Q_{CF} については # 1 4 サイクル時点の技術で再評価し、 Q_{cal} については 1 核分裂当りの発熱量などの数値を統一したものを使用した。

Technical Status of the Linear Heat Rating Estimation
with JMTRC Critical Facility

Project Engineering Section,
Division of JMTR Project, Oarai, JAERI

(Received September 13, 1973)

The linear heat ratings (w/cm) of fissionable specimens in the Japan Materials Testing Reactor (JMTR) are estimated by two approaches; one is experimental, with critical facility JMTRC, and the other is calculational.

The experimental approach is first reviewed at the technical status of the JMTR #14 operation cycle.

Accuracies of the experimental approach (Q_{CF}) are then discussed in comparison with the calculational (Q_{cal}) for #3~#14 cycle of the operation.

目 次

1.はじめに	1
2. Q_{CF} 推定技術の現況	3
2.1 Q_{CF} の算出方法	3
2.2 燃料ペレット内熱中性子束分布	11
2.3 レープ燃料試料の発熱量確定	17
2.4 燃料試料の B_4C による模擬について	19
2.5 炉雜音解析法による J M T R C の出力測定	22
2.6 J M T R 本体の熱出力値とノイズ法による出力測定値の関係	31
2.7 Foil 横分法(ノイズ法との比較を含む)	44
3. 発熱量推定技術に関する検討	48
3.1 評価値の検討	48
3.2 照射孔による Q_{cal}/Q_{CF} の傾向について	49
3.3 キャブセルによる傾向	49
3.4 CF 炉出力(P_{CF})測定法について	49
3.5 B_4C 模擬について	51
3.6 ワラン濃縮度と Q_{cal}/Q_{CF} について	51
3.7 Gd 入り試料について	52
3.8 Pu 入り試料について	52
3.9 長期照射されるキャブセルの発熱量推移	53
3.10 ループ試料の発熱量比較	55
4. まとめ	69
むすび	71
謝 辞	73
5. [付録] Q_{CF} , Q_{cal} 総括一覧表	74
5.1 表の読み方	74
5.2 第1表の各欄の内容	74
5.3 第2表の各欄の内容	75
5.4 第3表の各欄の内容	76
第1表 試料発熱量(推定値)一覧	77
第2表 Q_{CF} 関係参考値	80
第3表 Q_{cal} 関係参考値	81
第4表 キャブセル別 Q_{cal} , Q_{CF} 一致度	86

図表目次

Table 1 - 1	Q_{cal} と Q_{CF} の一致度	1
Table 2.1 - 1	^{235}U 核分裂当りの放出エネルギー	5
Table 2.2 - 1	($\sum_a \cdot d / 2$) をパラメータとした補正係数 α, β ……	13
Table 2.5 - 1	中性子核反応別の平均回数と関与中性子数	22
Table 2.5 - 2	ノイズ法炉出力計の直線性	27
Table 2.5 - 3	ノイズ法とフォイル法による炉出力の比較	27
Table 2.6 - 1	ノイズ法出力測定条件	33
Table 2.6 - 2	熱出力 - ノイズ法出力比	33
Table 2.6 - 3	#1サイクル 热出力 - 核出力比	34
Table 2.6 - 3'	同 上 " " "	34
Table 2.6 - 4	#2サイクル " " "	35
Table 2.6 - 5	#9サイクル " " "	36
Table 2.6 - 5'	同 上 " " "	36
Table 2.6 - 6	#10サイクル " " "	37
Table 2.6 - 7	#11サイクル " " "	38
Table 2.6 - 8	#12サイクル " " "	39
Table 2.7 - 1	ノイズ法・フォイル法出力一覧	47
Table 3.6 - 1	濃縮度と Q_{cal}/Q_{CF} との関連	52
Table 3.10 - 1	ループ試料の発熱量	55
第1表	試料発熱量(推定値)一覧	77
第2表	Q_{CF} 関係参考値	80
第3表	Q_{cal} 関係参考値	81
第4表	キャブセル別の Q_{cal}/Q_{CF}	86
Fig. 1 - 1	装荷試料が熱中性子束分布に与える影響例	2
Fig. 2.1 - 1	測定点の例	7
Fig. 2.1 - 2	ξ の算出法	7
Fig. 2.1 - 3	燃料ピン表面放射化分布の例	8
Fig. 2.1 - 4	周方向放射化分布の例	8
Fig. 2.1 - 5	濃縮度をパラメータとした Dip factor (D_p)	9
Fig. 2.1 - 6	ペレット径をパラメーターとした Dip factor	10
Fig. 2.2 - 1	微濃縮(細径, 太径)燃料内の熱中性子束分布	14
Fig. 2.2 - 2	可燃性毒物入り燃料内の熱中性子束分布	15
Fig. 2.2 - 3	試料内中性子束分布表示因子と記号の定義	16
Fig. 2.4 - 1	UO_2 試料および B_4C 模擬試料中の径方向中性子束分布	21
Fig. 2.5 - 1	バンドバスフィルタの特性	29
Fig. 2.5 - 2	ノイズ法炉出力測定の直線性と再現性	30

Fig. 2.6 - 1	# 1 サイクル 熱出力・核出力比	40
Fig. 2.6 - 2	# 2 サイクル 熱出力・核出力比	40
Fig. 2.6 - 3	# 3 サイクル " " "	41
Fig. 2.6 - 4	# 1.0 サイクル " " "	41
Fig. 2.6 - 5	# 1.1 サイクル " " "	42
Fig. 2.6 - 6	# 1.2 サイクル " " "	42
Fig. 3. - 1	各キャブセル Q_{cal}/Q_{CF} の変遷(修正前)	56
Fig. 3. - 2	同上 (修正後)	57
Fig. 3. - 3	フォイル法を基準とした各キャブセルの Q_{cal}/Q_{CF} (修正前)	58
Fig. 3. - 4	炉出力 (P_{CF}) 測定法の評価	59
Fig. 3. - 5	照射孔別の Q_{cal}/Q_{CF}	60
Fig. 3. - 6	濃縮度・富化度と Q_{cal}/Q_{CF} の関連	61
Fig. 3. - 7	6.7F - 1G の経過	62
Fig. 3. - 8	6.7F - 2G の経過	62
Fig. 3. - 9	6.7F - 5G の経過	63
Fig. 3. - 10	6.7F - 13G の経過	63
Fig. 3. - 11	6.7F - 14G の経過	64
Fig. 3. - 12	6.7F - 24G の経過	64
Fig. 3. - 13	6.7F - 31G の経過	65
Fig. 3. - 14	6.7F - 33G の経過	65
Fig. 3. - 15	6.8F - 5P の経過	66
Fig. 3. - 16	6.8F - 6P の経過	66
Fig. 3. - 17	6.9L(F) - 5P の経過	67
Fig. 3. - 18	1サイクル照射キャブセルの発熱量推定値	68
Fig. 4. - 1	Q_{CF} 推定のプロセス	72

— 作業の分担 —

このまとめて用いた基礎のデータのうち Q_{CF} 関係は核技術係^{*}， Q_{cal} 関係は運転計画係^{*}によって得られたものである。そのほかの作業分担は下記のようである。

各サイクル，各キャブセルの Q_{cal} の洗出し	小山田
各試料の概略，NMの状況， Q_{CF} の洗出し	石塚
各数値の再確認	田中
上記データの作表と比較検討	端穂

また， Q_{CF} 推定技術の現況については

2.1 Q_{CF} の算出方法	瀬崎
2.2 燃料ペレット内中性子束分布	
2.3 ループ試料の発熱量推定	近藤
2.4 燃料試料の B_4C 模擬について	石塚
2.5 ノイズ法による炉出力 (P_{CF}) 測定法	寺田
2.6 本体出力／CF出力 比について	
2.7 フォイル積分法による炉出力 (P_{CF}) 測定法	石塚

の各メンバーに提出を求めた資料をもとにして端穂がまとめたものである。

* このまとめが開始された時期の計画課の構成は次のようである。

計画課長	神原 忠則	運転計画係	
課長代理	端穂 純		
核技術係			
係長	石塚 宏	係長	小山田 文郎
	近藤 育郎		田中 利幸
	作出 孝		安藤 弘栄
	瀬崎 勝二		貳田 正
	寺田 博海		
	武田 勝彦		
	伊藤 治彦		

1. はじめに

J M T R のような、小型の原子炉では各サイクルによってその特性が大巾に変化する。特に熱中性子束分布の変化は著るしく (Fig. 1-1 参照)、毎サイクルが全く別の炉心であると考えるのが妥当である。すなわち、J M T R では原子炉の中に照射物を挿入すると言う感覚はもはや適当でなく、照射物と燃料 (燃料要素は各サイクル毎に全数または半数 (#12 サイクル以降) が新しいものととりかえられる) を組合わせて新しい炉心を組上げると考えた方が良い。

一方原子炉の運転に当っては照射物 (ひいては原子炉) の安全確保および精度の良い照射のために照射物 (燃料試料) の発熱量の推定が必要である。

これらの関連から J M T R では各サイクル毎に炉心配置案をさため、核計算、J M T R C による模擬実験 (C F 先行試験) の 2 つの方法を用いて試料発熱量 (Q) の推定を行なっている。

J M T R は 45 年 8 月よりの 30 MW 照射 (#3 ~ #11 サイクル) を経て 46 年 10 月 (#12 サイクル) から 50 MW の照射を開始した。これまで発熱量の推定法については常時改良を加えつつ現在に至っているが、2 つの推定発熱量 (Q_{cal} と Q_{CF}) の間の一一致度を #3 ~ #9 サイクルの延べ 41 キャブセルについて見ると Table 1-1 のような分布をなしている。

Table 1-1 Q_{cal} と Q_{CF} の一致度 (#3 ~ #9 サイクル)

Q_{cal} と Q_{CF} のばらつき	比 率
± 10 % 以内	46 %
± 10 ~ 20 %	37 %
± 20 ~ 40 %	15 %
± 40 % 以上	2 %

(47, 8, 20 付 理事会資料; 神原)

Table 1-1 から見る限り発熱量の推定法は両推定法の持つ本質的な不確定さを考慮すれば 83 % が ± 20 % の精度内にあることから全体的にはまずまず妥当と言るべきであろう。しかし一方、2 つの推定値が 40 % 以上もくい違う試料の存在はたとえそれが 1 ケでも運転の GO/NO-GO 決定の上で問題となって来る。

本資料はこのような背景のもとで現在迄の発熱量推定の状況を総括・検討し、発熱量推定に誤差を生ずる原因の追跡計画を立てることを目標としたものである。基本的な方針としてはまず Q_{CF} 計算法に焦点をあて、その結果もしくは進歩によって Q_{cal} 計算法をみたおす方法をとることにした。

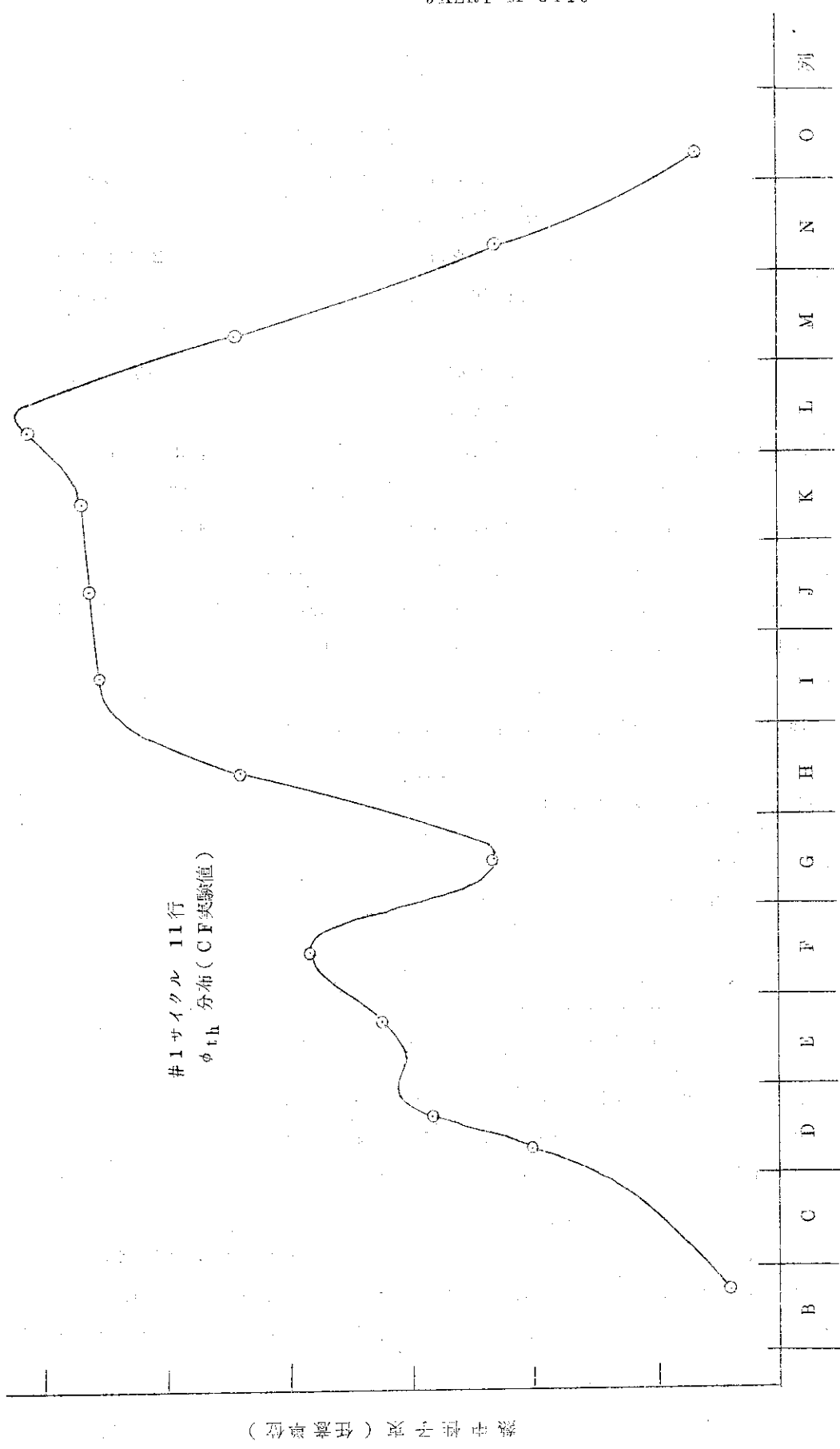


Fig. 1-1 整形試料が熱中性子束分布に与える影響例
 (E列およびG列に吸収の大きい試料が挿入されている)

2. Q_{CF} 推定技術の現況

この節では#3～#14サイクルの期間で開発された Q_{CF} 推定法の現状についてまとめたものである。すでに現時点では更にいくつかの改良が行なわれているが、これについては近い将来にまたまとめる予定である。

この節の内容は次のようである。

- 2.1 Q_{CF} 算出方法
- 2.2 燃料ペレット内熱中性子束分布
- 2.3 ループ燃料試料の発熱量推定
- 2.4 燃料試料の B_4C による模擬について
- 2.5 ノイズ法による炉出力の測定
- 2.6 ノイズ法出力→熱出力 換算係数
- 2.7 ノイズ法出力、フォイル横分法出力の比

2.1 Q_{CF} の算出方法

はじめに

材料試験炉臨界実験装置 (JMT RC) では、本体模擬炉心を構成し熱中性子束を測定して JMT RC 本体における燃料試料の発熱量 (Q_{CF}) を算出する。

以下に実験の手順を追って Q_{CF} の算出過程を述べる。

2.1.1 模擬炉心の構成

JMT RC 各サイクルの炉心配置は、各試料の照射条件を満すべく決定するが、この実験的手法として模擬照射試料 (Nuclear Mockup キャブセル = NM) を製作し、これを JMT RC の炉心に装荷する。模擬の程度は炉物理的特性値 (Σ_a , Σ_s 等) が $\pm 10\%$ の範囲内にあることを目安とし、計装など特殊なもの、不要なものは省略している。核燃料については本物と同一の試料を用いるか、又は中性子速度 2200 m/sec における Σ が等価となる様な $B_4C - Al_2O_3$ 混合物で代用する。

2.1.2 測 定

模擬照射試料に Au , Dy , Cu 等の放射化素を取付けて、その放射化量を測定することにより熱中性子束密度を求める。測定点は次の考案に従って選定される。

- I) 縦方向熱中性子束最大点及びその値を測定する。
- II) 径方向中性子束分布推定のため熱中性子束の勾配を測定する。
- III) 特殊な試料については、ピン内熱中性子束分布を測定する。
- IV) キャブセル外筒での熱中性子束を測定する。

熱中性子束の絶対値は Au の放射化量絶対値とカドミ比を測定して求めらるが、全測定点についてカドミ比を求めるとき測定箇所の数が 5～6 倍に増加するので大部分の測定点については、 Dy

又は Cu により熱中性子束の相対測定のみを行う。相対値から絶対値への換算は標準点において求めた係数を用いて行う。Fig. 2.1-1 に代表的な測定点の例を示す。

照射時の炉出力は約 10 watt, 照射時間は約 2 時間である。
計測は ^{198}Au については $\beta - \gamma$ 同時計数により絶対値を求め, ^{165}Dy , ^{64}Cu については, Na I (Tl) シンチレーターまたは GM 管により相対測定を行う。

2.1.3 データ処理

1) Dy 相対値から $\text{Au} \cdot (1 - \frac{1}{\text{Red}})$ 絶対値への換算係数 (ξ) の算出

Dy の相対値から Au のカドミ比 (Red) を補正した絶対値への換算係数 (ξ) は Fig. 2.1-2 に示すグラフより求めるが, 算出精度を良くするために 縦方向のカドミ比がほぼ一定とみなせる 50~250 mm の範囲の面積を比較する。即ち

$$\xi = \frac{(1 - \frac{1}{\text{Red}}) \int_{50}^{250} \text{Au}(Z) dZ}{\int_{50}^{250} \text{Dy}(Z) dZ} \quad (\text{dps/mg}) \quad (1)$$

を炉心内数点で算出し, 平均値を求めて当該サイクル^{*}の ξ とする。

この方法の妥当性については Au のカドミ比が 2 (燃料領域における値) ~ 10 (反射体 4 層目における値) の範囲で ξ の偏差が 0.5 % 程度しかなく, かつ明確な場所依存性もみられないことによって確認している。

2) 燃料表面の放射化量分布

燃料ビン表面に貼付けた Dy の照射直後における単位重量当たりの放射化量を Fig. 2.1-3 に示す。これより縦方向最大点がわかる。

燃料ビンの表面に鉢巻状に巻いた Au の周方向放射化量を Fig. 2.1-4 に示す。これより周方向最大点がわかり縦方向測定点がこの方向と一致していない場合はビンの回転補正をして, ビン表面最大放射化量 A_{\max} とその反対側の値 A_{\min} を決定する。

3) 燃料ビン内熱中性子束密度分布の表示因子 (D_p) の決定

D_p は UO_2 試料についてあらかじめ横孔ビン実験により ^{235}U 密度とビン径をパラメータとして Fig. 2.1-5, 6 に示すような値を得ている。通常はこのグラフより D_p を読み取るが, これらのデータが適用できない試料については適宜試料に径方向貫通孔をもうけたいわゆる横孔ビン試料とすることにより D_p を測定する。

2.1.4 Q_{CF} の算出

Q_{CF} は次式により計算する。

$$Q_{CF} = E_f \cdot Z_f \cdot \bar{\phi}_{\max} \cdot S \cdot \frac{P}{P_{CF}} \cdot (1 + \varepsilon) \cdot \delta + Q_\gamma \quad (2)$$

* ξ の値は測定器のセッティングによる影響を受けるので当該サイクル以外への使用には注意を要する。

以下にこの式に現れた諸量についてのべる。

- 1) E_f = 核分裂当りの放出エネルギーで ^{235}U については Table 2.1 - 1 に示す値を使用する。

Table 2.1 - 1 ^{235}U 核分裂当りの放出エネルギー

(G.R.Keepin, Physics of Neutron Kinetics,
Addison-Wesley, P. 13, (1964))

項	目	エネルギー (MeV)
(a)	軽い核分裂生成物の運動エネルギー	9.9.8 ± 1
(b)	重い核分裂生成物の運動エネルギー	6.8.4 ± 0.7
(c)	核分裂により放出する中性子の運動エネルギー	4.8
(d)	核分裂と同時に放出する γ 線のエネルギー	7.5
(e)	核分裂生成物の β 崩壊による放出エネルギー	7.8
(f)	核分裂生成物の γ 崩壊による放出エネルギー	6.8
	計	19.5.1 / (a), (b), (e)のみ 17.6.4

E_f 値はキャブセルの様に試料の体系が小さい場合には中性子や γ 線のエネルギーは試料の発熱にはほとんど寄与しないから表中(c), (d), (f)を除いた 17.6.4 MeV を使用し, OWL-2 等試料が大きな集合体となる場合には 19.5.1 MeV を使用する。なお、炉内 γ 線の寄与は γ 加熱 (Q_γ) として別途考慮する。

- 2) Σ_f = 燃料試料の核分裂断面積

$$= \sigma_{f\text{U}^{235}} \cdot \rho_{\text{UO}_2} \cdot \frac{N_0}{M} \cdot \frac{E}{100}$$

ただし

$\sigma_{f\text{U}^{235}}$ = ^{235}U の核分裂断面積 (577.1 barn — BNL-325, 2nd ed., Sep. 2, 1965 より)

ρ_{UO_2} = UO_2 の密度 (検査成績書より引用)

N_0 = アボガドロ数

M = UO_2 の分子量

E = ^{235}U 濃縮度 (%) (検査成績書より引用)

- 3) $\bar{\phi}_{\max}$ = 最大発熱点でのピン内平均熱中性子束密度

$$= \phi_{\max} \times \alpha$$

ここで

ϕ_{\max} = 最大発熱点の最大熱中性子束密度

$$= \frac{A_u \left(1 - \frac{1}{R_{\text{end}}} \right)}{N \sigma_{A_u} \left\{ 1 - \exp(-\lambda_{A_u} t_i) \right\}}$$

ただし

$$\text{Au} \left(1 - \frac{1}{R_{ed}} \right) = \text{最大発熱点における Au のカドミ比を考慮した単位重量当り崩壊数} \\ = D_y (\text{最大発熱点の } D_y \text{ の計数値}) \times \xi$$

なお、 $\text{Au} \left(1 - \frac{1}{R_{ed}} \right)$ の値は、 Au 値および Au の R_{ed} 値を実際に測定して求めることもある。

N = 単位重量当りの ^{197}Au 原子数

σ_{Au} = ^{197}Au の放射化断面積 (9.8.8 barn)

λ_{Au} = ^{198}Au の崩壊定数

t_i = 製造時間

一方

α = 热中性子束の勾配及びピン内热中性子束密度分布の補正值

$$= \frac{1}{2} \left(1 - \frac{1}{2} C \right) (1 + D_p)$$

ただし

C = 热中性子束勾配の補正

で燃料ピン内热中性子束分布を2次曲線と仮定した場合

$$C = (A_{max} - A_{min}) / A_{max}$$

D_p = dip factor (Fig. 2.2-1 参照)

4) その他の諸量

S = 燃料ピンの断面積

$$= \frac{1}{4} \pi D^2, \quad D = \text{燃料ベレット外径} (\text{検査成績書より引用})$$

P = 本体炉出力 (热収支法により測定した原子炉热出力)

P_{CF} = JMTRC 炉出力 (炉雑音法により測定した原子炉出力)

ε = 热外中性子による核分裂の寄与を含める場合の補正係数, 核計算コード TUGMG,

THE RMOS, PDQ, VI により計算する。

δ = 「JMTRC → 本体」換算時の補正係数

Q_f = γ 加熱 (実験値より算出する)

以上で燃料試料の最大発熱点の発熱量 Q_{CF} [watt/cm] が得られる。

(濱崎)

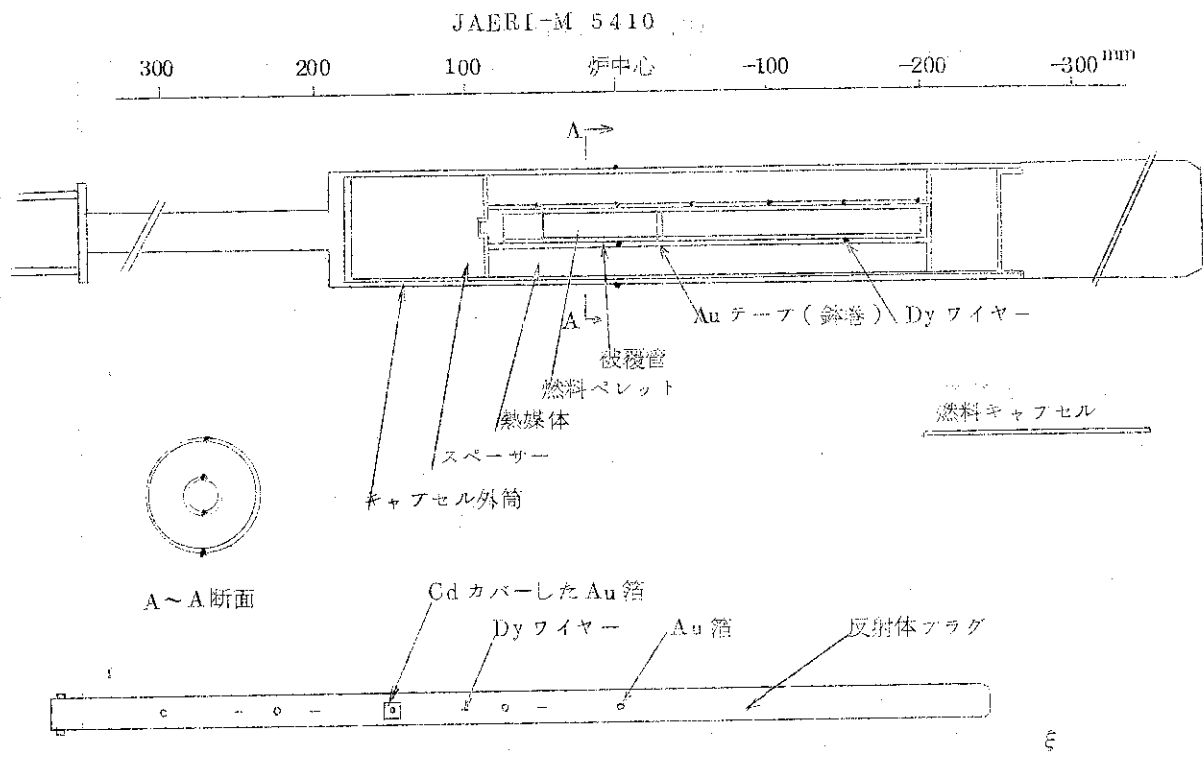


Fig. 2.1-1 測定点の例

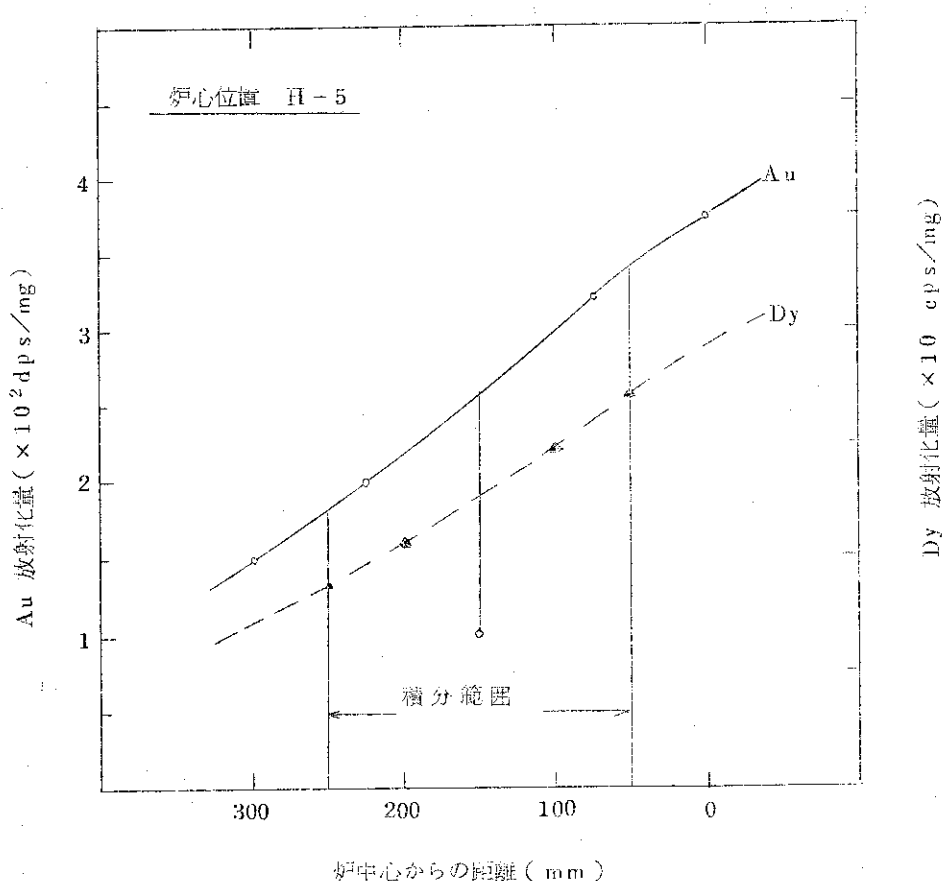


Fig. 2.1-2 ξ の算出法

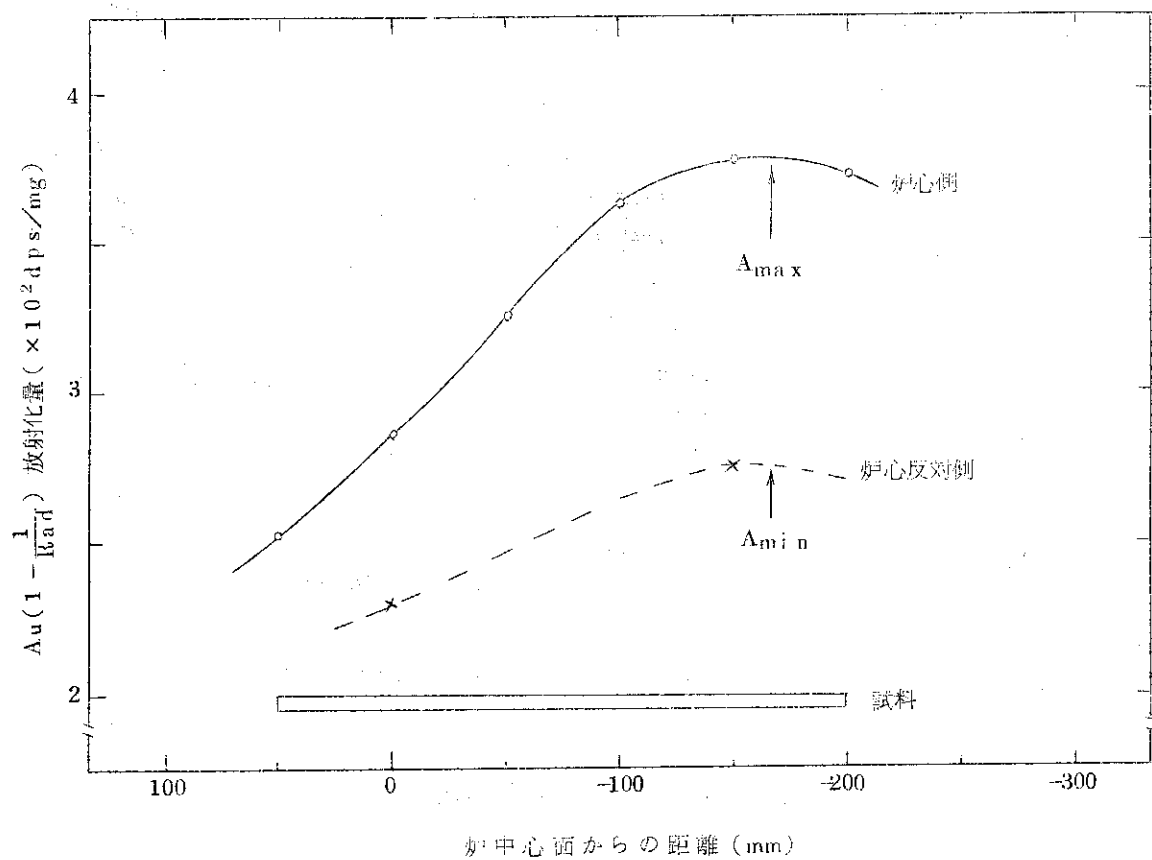


Fig. 2.1-3 燃料ピン表面放射化分布の例

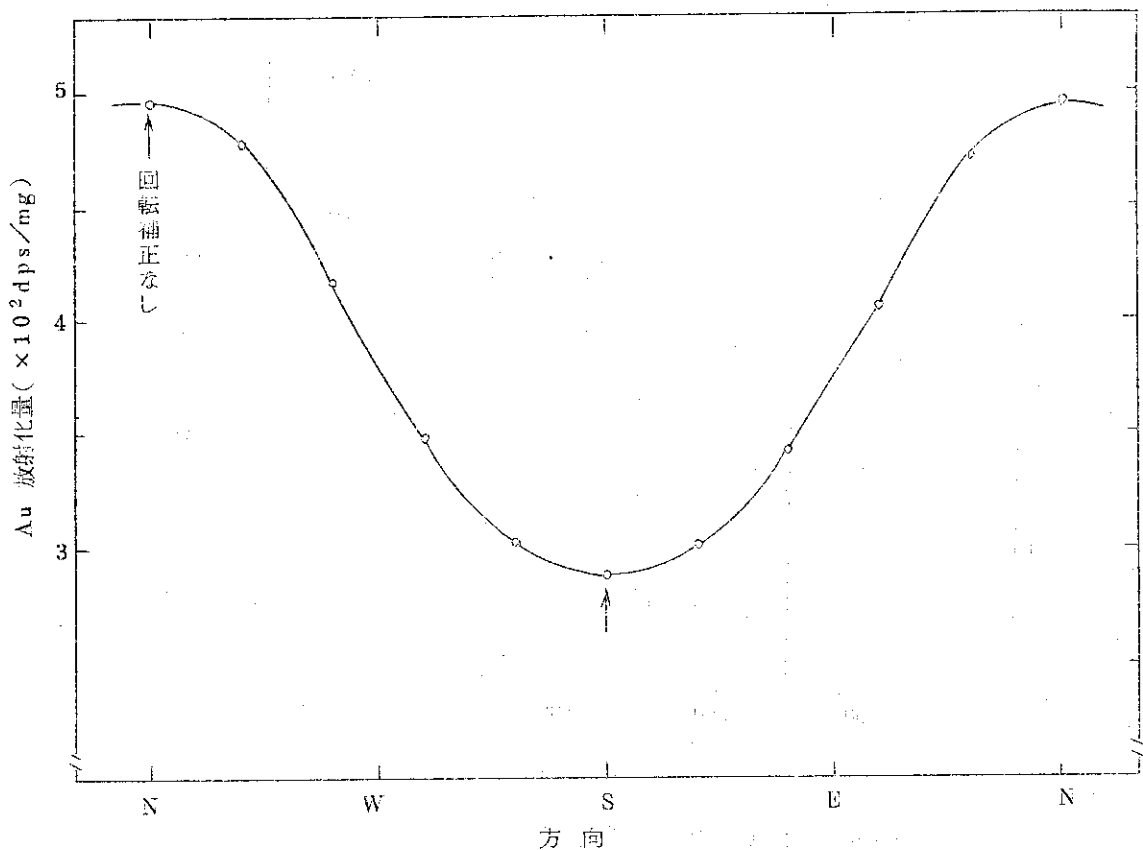


Fig. 2.1-4 燃料ピン表面周方向放射化分布の例

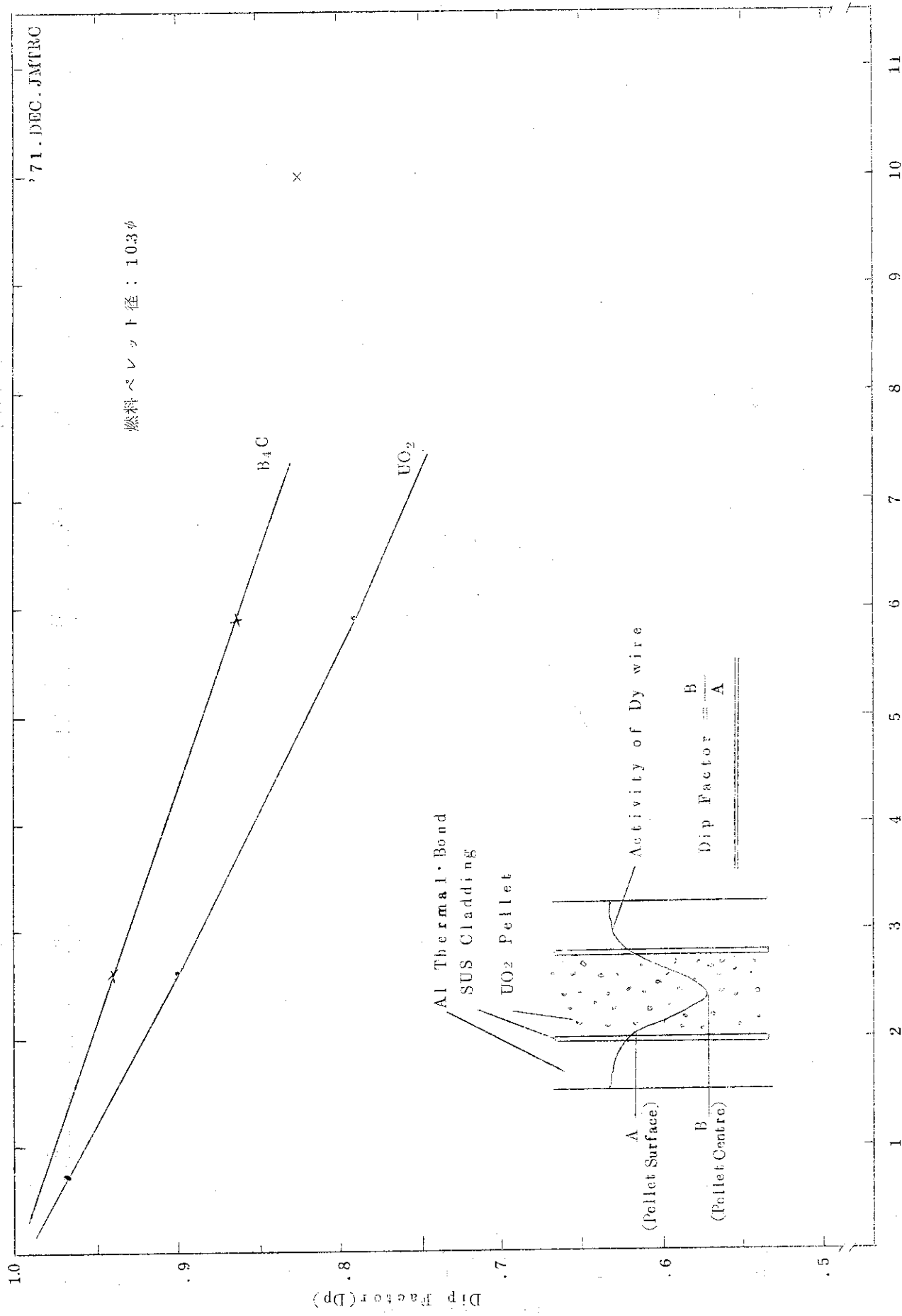


Fig. 2.1 - 5 減弱度をパラメータと Dip factor (Dp)

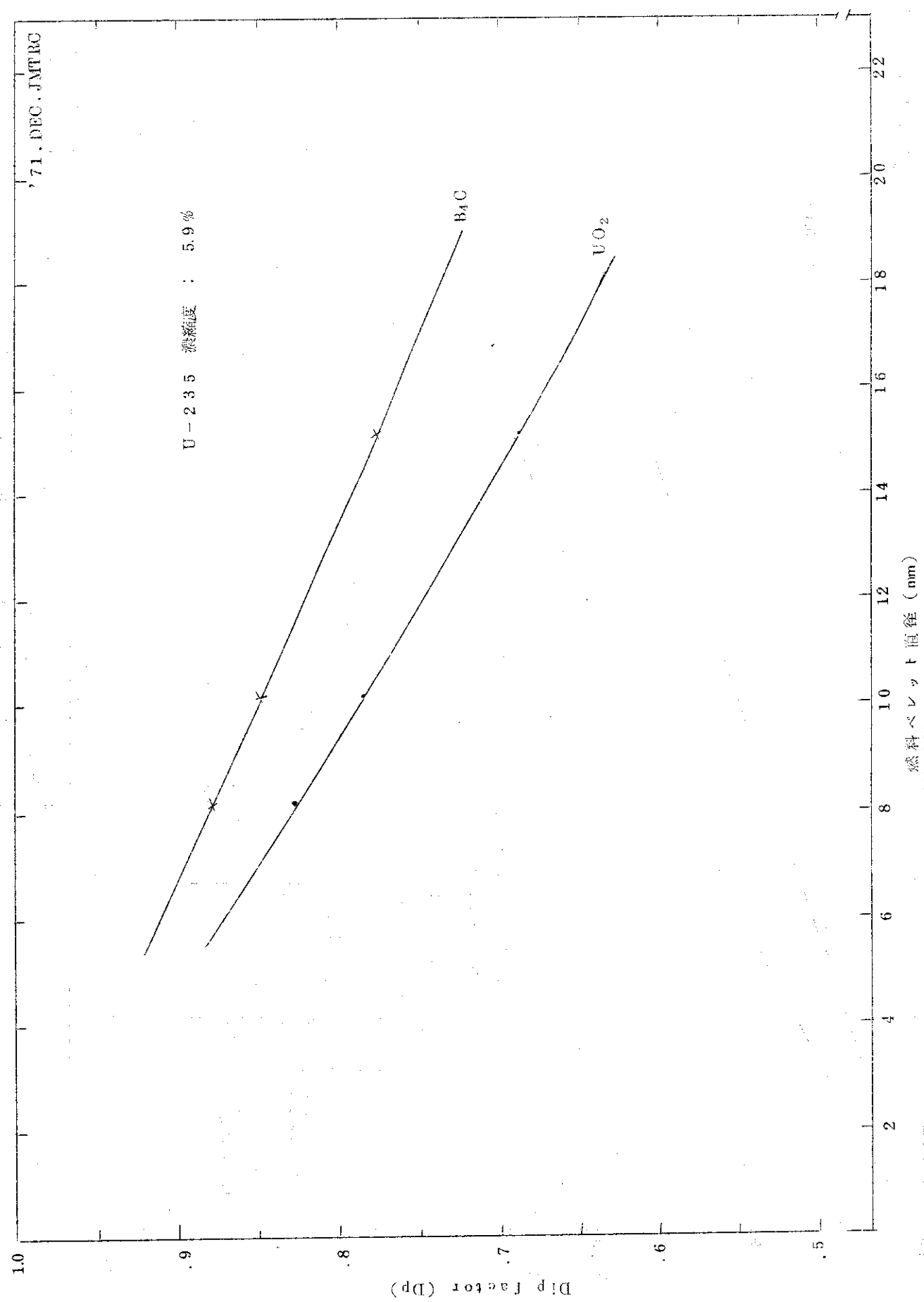


Fig. 2.1-6 ベレット径をパラメータとした Dip factor (D_{ip})

2.2 燃料ペレット内熱中性子束分布

はじめに

J M T R C における Q_{OF} 測定では燃料被覆管の表面における熱中性子束を測定し、燃料ペレット内部の熱中性子束分布は 横孔ピン実験の結果を利用してい。一般に燃料ペレット内の熱中性子束 $\phi(r)$ はベッセル関係を用いて次式で表わされる。

$$\phi(r) = A I_0 \left(\frac{\sum_a}{D} \cdot r \right) \quad (1)$$

I_0 は 0 階第 1 種の変形ベッセル関数で次式の様に展開される。

$$I_0(x) = J_0(i, x) = 1 + \frac{x^2}{2^2} + \frac{x^4}{2^2 \cdot 4^2} + \frac{x^6}{2^2 \cdot 4^2 \cdot 6^2} + \dots$$

これから、 $\phi(r)$ は \sum_a, r の大きさに応じて、2 次式又は 4 次式で近似可能であることがわかる。すなわちペレット内部の分布を表示するためには、ペレット表面の熱中性子束の他に 2 次曲線では 1 つ、4 次曲線では 2 つの因子を試料の種類に応じて決定すれば良いことになる。以下に横孔ピン実験の結果からこの近似の妥当性を述べる。

2.2.1 曲線フィッティング

横孔ピン実験では UO_2 を使用し、 ^{235}U 褐縮度とペレット径をパラメーターに取った。このうち代表的な試料についての実験値を Fig. 2.2-1 ~ 2 に示す。実線は実験値でペレット表面を 1 に規格化してある。点線は 2 次曲線、一点鎖線は 4 次曲線でフィットしたものである。これから天然又は微濃縮、あるいは細径の試料については 2 次曲線で、高濃縮または可燃性毒物入りあるいは太径の試料については 4 次曲線で充分な精度で曲線フィット出来ることがわかる。

2.2.2 内部分布補正項の計算

1) ペレット内熱中性子束を表示する因子と記号の定義

曲線にフィットする場合、ペレット内熱中性子束を表示する因子として（ペレット表面を 1 に規格化し）ペレット中心 ($r = 0$) の値を Dip factor (D_p)、半径の半分の点 ($r = \frac{d}{4}$) の値を Half Dip factor (D_h) と定義し、2 次曲線の場合はペレット表面の値と D_p 、4 次曲線の場合はさらに D_h を使用する。Fig. 2.2-3 に、表示因子と記号の定義を示す。

2) 2 次曲線フィットした場合のペレット内平均熱中性子束

ペレット単位長さ当たりで体積積分した熱中性子束は、次式で与えられる。

$$\begin{aligned} \int_V \phi dV &= \frac{\pi d^2}{8} (\phi_{\max} + \phi_{\min}) - \int_0^{2\pi} \int_0^{D/2} (b - a r^2) r \cdot dr \cdot d\theta \cdot \frac{d}{D} \\ &= \frac{\pi d^2}{8} (\phi_{\max} + \phi_{\min}) - \frac{\pi D d}{4} \left(b - \frac{a D^2}{8} \right) \end{aligned} \quad (3)$$

境界条件より係数 a , b を求めると

$$a = \frac{4 - \Delta \phi}{D^2}, \quad b = -\Delta \phi = \frac{d}{D} \phi_0 (1 - D_p) \quad (4)$$

(4)を(3)に代入して

$$\begin{aligned} \int_V \phi dV &= \frac{\pi d^2}{8} (1 + D_p) \left(1 - \frac{C}{2}\right) \phi_{\max} \\ &= \frac{\pi d^2}{4} \phi_{\max} \cdot \alpha \end{aligned} \quad (5)$$

ただし

$$\alpha \equiv \frac{1}{2} \left(1 - \frac{1}{2} C\right) (1 + D_p) \quad (6)$$

この α をペレット内熱中性子束分布補正係数とする。

3) 4次曲線フットした場合のペレット内平均熱中性子束

2次曲線と同様に

$$\begin{aligned} \int_V \phi dV &= \frac{\pi d^2}{8} (\phi_{\max} - \phi_{\min}) - \int_0^{2\pi} \int_0^{D/2} (b - ar^2 - er^4) r \cdot dr \cdot d\theta \cdot \frac{d}{D} \\ &= \frac{\pi d^2}{8} (\phi_{\max} - \phi_{\min}) - \frac{\pi d D}{4} \left(b - \frac{a D^2}{8} - \frac{e D^4}{48}\right) \end{aligned} \quad (7)$$

境界条件より係数 a , e , b を求めると

$$\left. \begin{aligned} a &= \frac{4d}{3D^3} \phi_0 (16D_h - 15D_p - 1) \\ e &= \frac{64d}{3D^5} \phi_0 (3D_p - 4D_h + 1) \\ b &= \frac{d}{D} \phi_0 (1 - D_p) \end{aligned} \right\} \quad (8)$$

(8)を(7)に代入して

$$\begin{aligned} \int_V \phi dV &= \frac{\pi d^2}{72} \phi_{\max} \left(1 - \frac{1}{2} C\right) (5 + 16D_h - 3D_p) \\ &= \frac{\pi d^2}{4} \phi_{\max} \cdot \beta \end{aligned} \quad (9)$$

ただし

$$\beta = \frac{1}{18} \left(1 - \frac{1}{2} C \right) (5 + 1.6 D_h - 3 D_p)$$

10

この β をペレット内熱中性子束分布補正係数とする。

2.2.3 実例による精度の検討

Fig. 2.2-1 ~ 2 の例について α , β の値を比較し, Table 2.2-1 に示す。

Table 2.2-1 $\Sigma_a \cdot d/2$ をパラメータとした補正係数 α, β

燃料ペレット	(A)	(B)	(C)	(D)
C	1	1.	1	1
D _p	0.968	0.789	0.676	0.176
D _h	0.976	0.835	0.727	0.270
α	0.492	0.447	0.419	0.294
β	0.492	0.444	0.406	0.244
α, β の差 (%)	0	0.7	3.2	20.4
$\Sigma_a \cdot \frac{d}{2}$	0.58	3.78	7.10	34.0

これから, $\Sigma_a \cdot d/2$ の値が約4迄は2次曲線でフィッティングしても真値からの差は1%以下であり, $\Sigma_a \cdot d/2$ が4以上となる場合は, 4次曲線でフィッティングすべきであることがわかる。

(瀬崎)

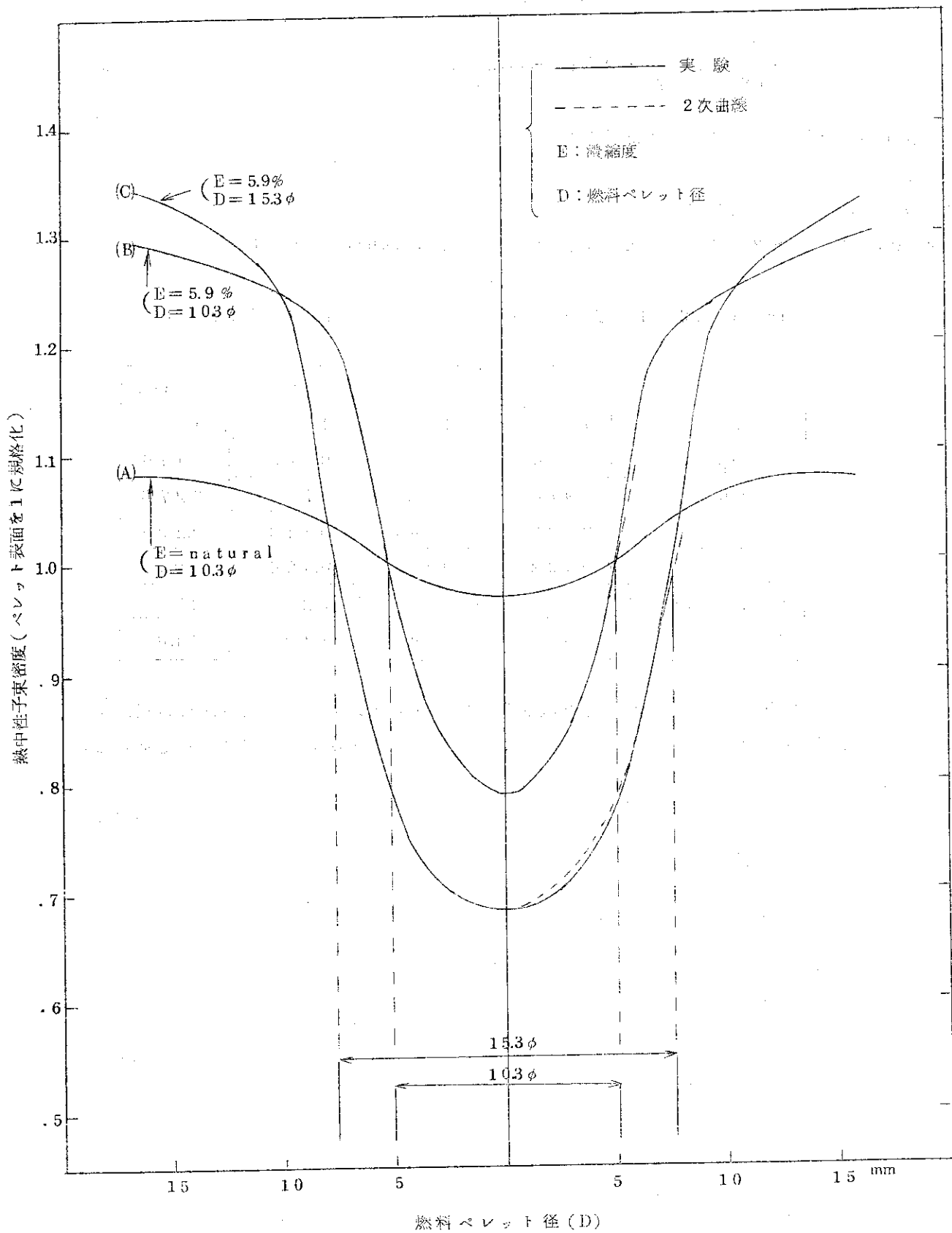


Fig. 2.2-1 微濃縮(細径, 太径) 燃料内の熱中性子束分布

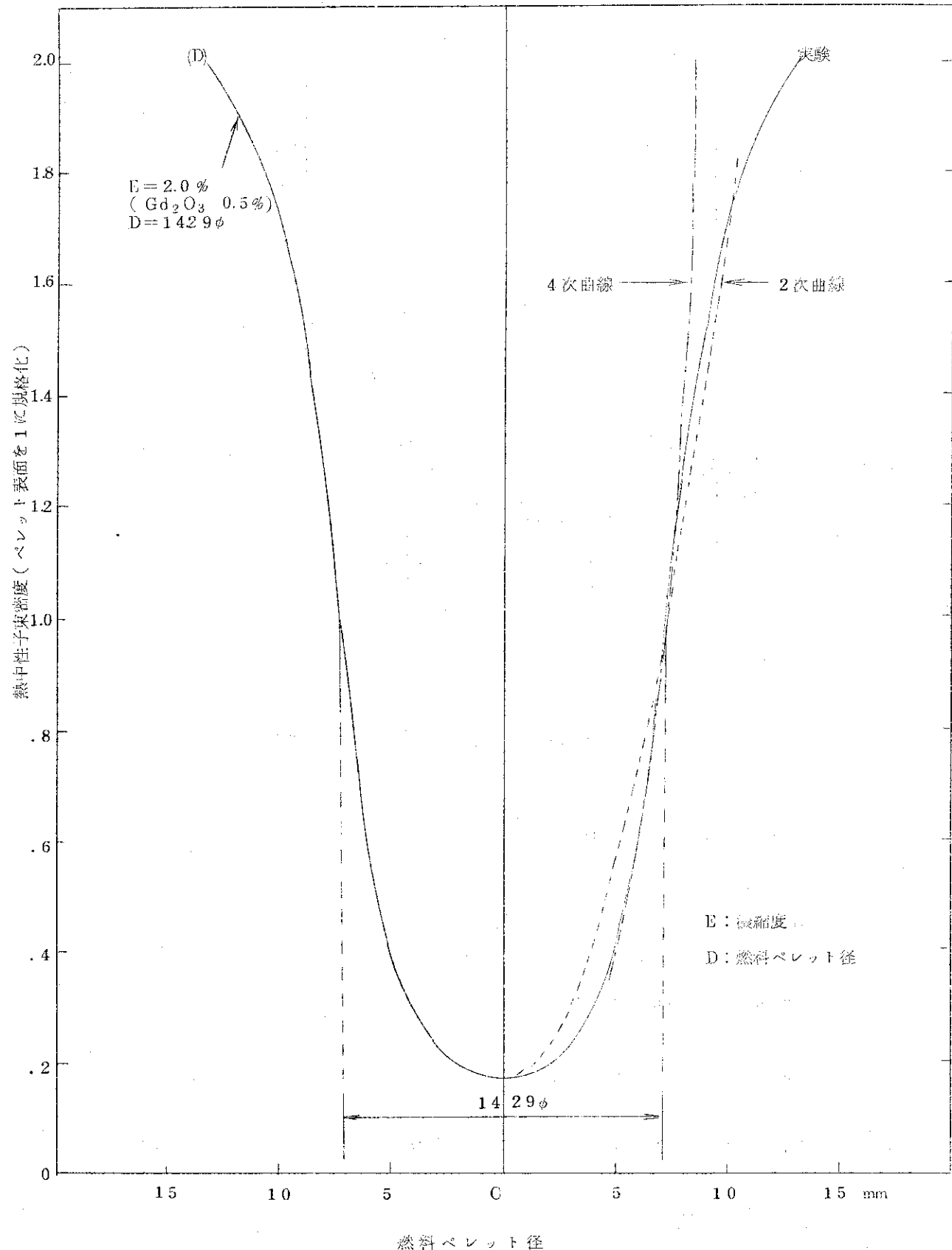
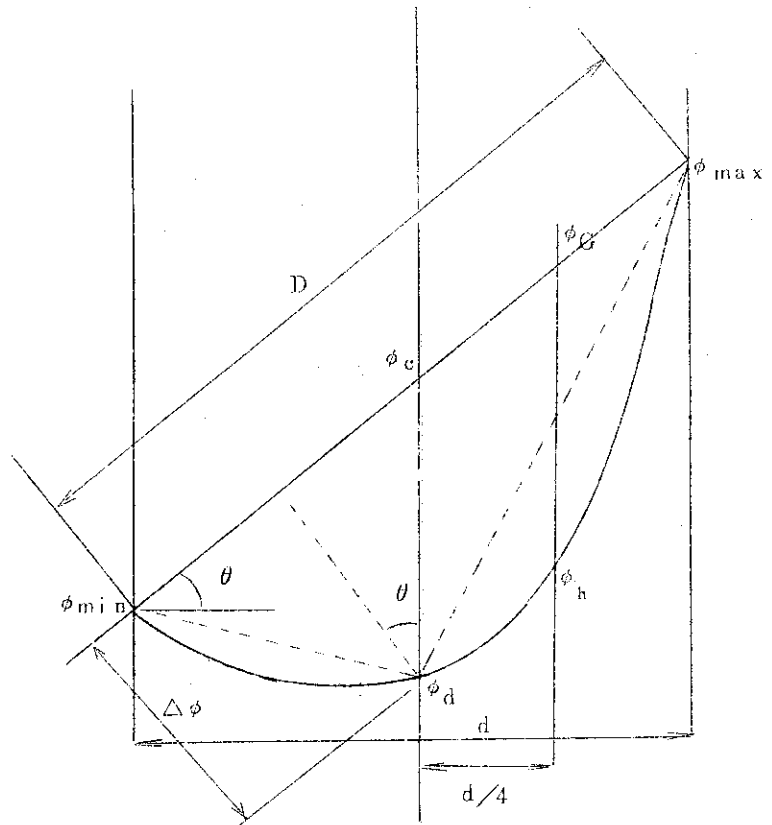


Fig. 2.2-2 可燃性毒物入り燃料内の熱中性子束分布



燃料ペレット表面最大中性子束分布
 $C = \frac{\phi_{\max} - \phi_{\min}}{\phi_{\max}}$

Dip Factor $D_p = \frac{\phi_d}{\phi_c}$

Half Dip Factor $D_h = \frac{\phi_d}{\phi_G}$

$\phi_{\min} = \phi_{\max}(1 - c)$

$\phi_c = \phi_{\max} \left(1 - \frac{c}{2}\right)$

$\phi_d = \phi_c \cdot D_p = \phi_{\max} \left(1 - \frac{c}{2}\right) D_p$

$\cos \theta = \frac{d}{D}$

Fig. 2.2-3 試料内中性子束分布表示因子と記号の定義

2.3 ループ燃料試料の発熱量推定

2.3.1 はじめに (ループ試料の特殊性)

1) 位置が固定している

ループ燃料試料の濃縮度(又は富化度)は燃料設計の1つのポイントであるが、通常その決定段階ではキャップセル試料を含めた炉心配置の決定はあり得ないので、照射中性子束については、当然ある値が仮定される。従って当該サイクルの照射キャップセル等が確定した後の炉心配置調整に当っては、上記仮定の中性子束の実現が一つの要因となるが、キャップセル配置の調整によってこれを行うことはキャップセル個々の照射仕様との両立性からみて容易ではなく、この種のループに対する中性子束調整機能の必要性が痛感される。

2) bundle 形式の試料が多い

ループ挿入状態での燃料体の核定数算出のモデル化は一般に困難であることから、試料付近の中性子束の計算による推定は不正確である。更に燃料ピン毎の照射中性子束の、計算による推定法は確立されておらず、従って最大線発熱の推定は不可能に近い。また更に反射体領域での被照射物としての燃料体は、その受ける中性子の非等方性のため計算での扱いが更に困難となる。従ってループ試料の発熱推定は本質的に実測データ(方法論の如何を問わず)に依存することになる。

3) 試料中の核分裂性物質の量が多い。

キャップセルの場合、燃料試料の量は一般に少ないので照射中性子に対する試料自体の寄与は小さく、吸収一方のB₄Cとの代替が成り立つと考えられるが、ループ試料では、例えばOWL-1性能試験用燃料(2.4% E.R.UO₂, 10.5φ-9.5φ SUS被覆×6本)に対しB₄C模擬により中性子束推定を行なうとセル平均で7%過小評価という計算がある。(核メモー100) 更に、4格子を占有するOWL-2ではこの傾向は益々助長され、71LF-9J(#14サイクル照射2.0, 5.0, 10% 濃縮UO₂)に関する2次元拡散計算では、B₄C模擬では約20%中性子束を低く見積もるという結果が出ている。

この様に比較的多量の核分裂性物質を含むループ試料の発熱推定をCFに於て実験的に行なうには、本照射と同一の試料が望ましい。

以上述べたループ試料の特殊性によりこれらの発熱量(Q_{CF})推定に当っては種々工夫が要求される。

以下に#3～#14サイクルの間に照射されたループ試料についてそのQ_{CF}推定法のあらましを述べる。

2.3.2 #4サイクルOWL-1性能試験用燃料の場合

本試料をCFに挿入し、燃料ピン表面にブラックスマニタを取付けて各燃料ピンについて周方向中性子束分布とその相対比を測定した。長さ方向については6本の燃料ピンのうち2本を選んで中性子束分布を測定した。測定及びデータ処理法の概要は以下の通り。

- 1) 燃料ピン表面: Dyワイヤ(周方向, 長さ方向分布)
- 2) 炉内管表面: Au箔
- 3) ベレット内中性子束分布: 横孔ピン実験よりの外挿により推定

- 4) 热外中性子による発熱寄与分：二次元拡散計算（PDQ）による。
- 5) フィッショングあたりの放出エネルギー：200 MeV（6本 bundle 型のため、線及び中性子のエネルギーの全量を燃料ピンが互いに吸収し合うものとする。）
- 6) flux depression のうち被覆管（SUS）による分は THERMOS による計算値を使用

2.3.3 #12 サイクル OWL - 1 試料 69L-5P の場合

本試料又は同等試料を CF で使用することが出来なかったため、試料と熱中性子吸収が同じになるよう混合した $B_4C - Al_2O_3$ 粉末模擬試料を用いた。但し試料部の寸法形状は本試料と同じとした。判定及びデータ処理の概要を以下に示す。

- 1) 燃料ピン縦方向分布の測定：Dy ワイア
- 2) 燃料ピン周方向分布の測定：Au 箔
- 3) 燃料ピン内 flux depression：換孔ピン実験値よりの外挿
- 4) 热外中性子効果：PDQ による計算
- 5) 1 フィッショング当たりの放出エネルギー：176 MeV
(2本 bundle のためキャブセル試料と同等の扱い)

2.3.4 #14 サイクル OWL - 2 試料 71LF-9J の場合

28 本 bundle UO_2 約 1.9 kg., 2.0~10% 濃縮の燃料試料に対して、同一寸法、等価熱中性子吸収の $B_4C - Al_2O_3$ 粉末使用の核的モックアップを CF に挿入し、中性子束分布を測定した。

- 1) 各燃料ピン - 100 mm の位置の周方向中性子束分布の測定を Dy により行う。これはピン毎の発熱分担の評価に使用する。
 - 2) Dy ワイアと金箔とを数ヶ所同位置に貼付け、中性子束絶対値への換算に使う。
 - 3) 5 本の燃料ピンを選んで長さ方向の中性子束分布を Dy ワイアにより測定、ピーキング係数として使用。
 - 4) 燃料ピン内 flux depression は換孔ピン実験値から外挿。
 - 5) B_4C 使用のため本試料より flux level が低くなる効果は核計算（EQ - 3）により評価。
 - 6) 热外中性子による発熱量補正是計算値を利用
 - 7) 以上の結果最も条件のきびしい燃料ピン（#11ピン）の最大発熱量が設計限界を超ることが判明し、この燃料ピンはステンレス棒に変更した。このため最大発熱を示す燃料ピンは#10ピンに移動した。
- 第2表（巻末）のQ評価値は#10ピンについて行なったものである。

2.4 B_4C による燃料試料の模擬について

燃料試料ピンの模擬体として B_4C 粉末と Al_2O_3 粉末の混合物が用いられている。第1表中 N・Mの項で B_4C とあるもの、また試料内容の概要の項で括弧のあるものが、この模擬体を用いていることを示している。この模擬試料は次の考え方にもとづいて採用されたものである。

(1) 試料ピン発熱量はピン内部およびその周辺の熱中性子束分布によって定まる。このため、模擬試料によって本物と同等の熱中性子束分布を実現させる場合には、速中性子発生源としての Σ_f の対応はあまり問題とならず、熱中性子吸収断面積 Σ_a を等価とするより考慮すればよい。

このため速度 2200 m/S の熱中性子に対する吸収断面積を対応させることにしている。

(2) ^{235}U の Σ_a はかなり大きいので、模擬体も Σ_a の大きい B を B_4C 粉末の形で用い、試料の $\Sigma_a V$ (V は試料の体積) と等価の値を与える量の B_4C を、吸収断面積のきわめて小さい Al_2O_3 粉末によって增量し、体積をあわせて用いる。

(3) 热中性子の領域では ^{235}U の σ_a は $1/v$ 特徴に近い ($g = 0.978$)ため、 $1/v$ 特徴の B との対応の差異は小さい。

上記の考え方による模擬試料と本物との対応の例を Fig. 2.4-1 および Fig. 2.1-5 ~ 6 に示す。Fig. 2.4-1 はピン内外の熱中性子束分布 (Dy の放射化による測定)、Fig. 2.1-5 はピン中の熱中性子束の Depression を示す値 D_p と濃縮度との関係、Fig. 2.2-6 は D_p とピン直徑との関係である。

これらから下記の事柄が認められる。

(1) B_4C 中の熱中性子束の Depression は UO_2 のそれより小さい。すなわち B_4C に対する D_p は、これに対応する UO_2 の D_p より大きい。(D_p の定義 Fig. 2.2-3 参照)

(2) B_4C および UO_2 における D_p の差は、濃縮度の小さい場合 (1% 内外) では 2% 内外で、ほとんど問題とならないが、濃縮度が増すと差も増大する。濃縮度 5.9%においては、 D_p の差は 10% 程度に達している。

(3) D_p の差は試料ピンの半径にも関連し、半径が増せば差も増加する。

一方、ピン内の中性子束分布を二次曲線で近似した場合 (ほとんどが、この近似で議論できる)、ピンの発熱量は $1 + D_p$ に比例する。(§ 2.1.4 参照) このため D_p の差が発熱量によぼす影響は、 D_p 自体の差ほどは大きくない。Fig. 2.1-5 から推定して 10% 濃縮近傍の D_p は 0.7 程度であるため、 D_p の差が 1.5% ほどあったとしても、発熱量の差異は、その半分の 0.6% 程度となる。濃縮度が小さければ差はさらに少ない。したがって発熱量推定の上からは D_p の差異はあまり問題ではなく、むしろその近傍の熱中性子束の絶対値の対応の方が重要であるが、これに関する実験的検討はまだ行なわれていない。^{**}

* 核計算の結果は実験とは逆の傾向を示している。(核メモー102)

** Fig. 2.4-1 および Fig. 2.1-5 ~ 6 の湖定結果は、12 本の燃料要素からなる (うち 2 本は制御棒フオロア) 炉心の中央に設けた照射孔において求められたものである。

この体系では試料の核分裂の有無が、実効増倍率に大きく影響し、 UO_2 試料の場合と B_4C 模擬体の場合で、制御棒臨界位置が異なる。このため体系内の中性子束分布が現実の体系とは大巾に異なっており、熱中性子束絶対値の比較は行なえなかった。

1) B_4C 粉末の粒度の影響について

UO_2 と B_4C との D_p の差異については次に述べるよう主に B_4C の粒度に起因するのではないかと考えられている。

すなわち、Fig. 2.4-1 および Fig. 2.1-5 ~ 6 に示す測定を実施した時に用いられた B_4C は、直径 4.4 ~ 7.4 μ の粗い粒を乳鉢でつぶしたものであって、直径 1.0 μ 内外のものが多い。(Al_2O_3 は直径 0.07 μ 程度のきわめて細かいものである。) ホウ素は熱中性子吸收断面積がきわめて大きいため、中性子の吸收は粒の表面積に関係すると考えられ、 B_4C 単位重量あたりの中性子吸収量は、粒が大きいと減少することになる。

現在は直径 2 μ 程度の細かい B_4C が用いられており、あまり問題ないと考えられるが、粒度の効果に関する実験的確認はまだ行なわれていない。

2) B_4C による Pu 試料の模擬について

B_4C による燃料試料の模擬は熱領域での断面積が類似している ^{235}U に対しては有効であると考えられるが、 $1/v$ 特性を有さない ^{239}Pu に対しては適当でない。# 10 - 2 サイクルにおける 67-23G は Pu 入り試料であるが、その模擬体に B_4C が用いられているのは止むを得ない事情のためである。したがってこれに対する測定結果の信頼度はかなり低いと考えられる。

(石塚)

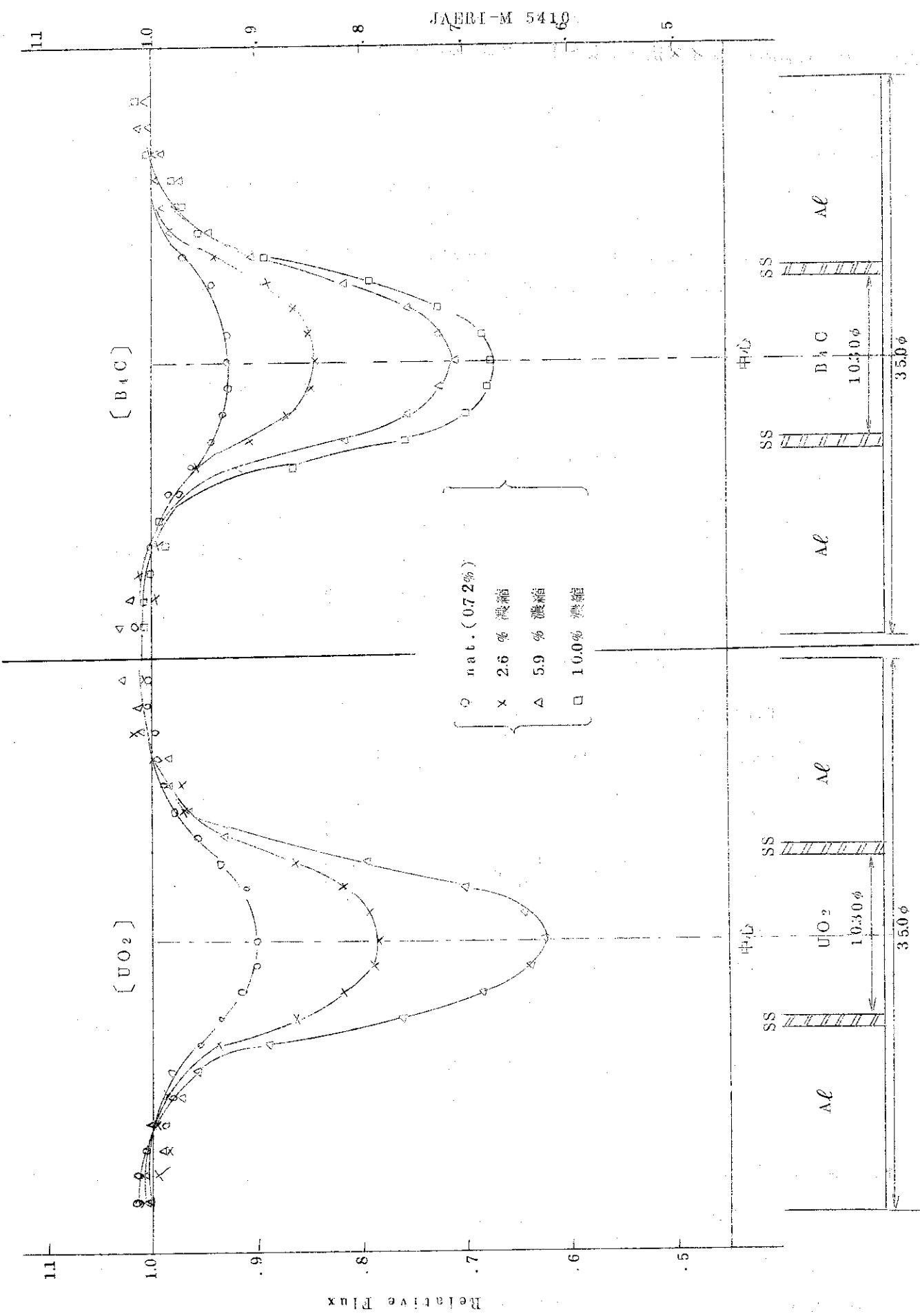


Fig. 2.4-1 $^{235}UO_2$ 試料および B_4C 模擬試料中の径方向中性子束分布

2.5 炉雜音解析法(ノイズ法)による JMTRC の出力測定

2.5.1 まえがき

炉内における中性子の核反応は確率的に起っており、また核分裂によって生ずる中性子の数は、2～3個で平均値($\bar{\nu}$)のまわりに分布している。これらによって、中性子束密度は、臨界状態でも微少なゆらぎをもっている。これを原子炉雜音と称し、これを観測・解析すれば炉内における確率現象や炉物理的な状態・定数を推定することが出来る。ここでは、炉雜音解析により、臨界実験装置(JMTRC)の出力の絶対測定を行った方法と結果について報告する。なお本文の一部は JAERI-memo 4276 の要約である。

2.5.2 炉雜音の理論

炉内において発生または消滅する中性子数のバラツキは Schottky の式を應用すると

$$\langle |S_0|^2 \rangle = 2 \sum_i q_i^2 \bar{m}_i \quad (1)$$

で表わされる。ここで

$$\begin{aligned} \langle |S_0|^2 \rangle &: 発生または消滅する中性子数のバラツキの大きさ \\ q_i &: 核反応 i (吸収, 発生, もれ等) によって生まれる中性子数 \\ \bar{m}_i &: 毎秒炉内で起る核反応 i の平均回数 \end{aligned}$$

原子炉では発生, 吸収および漏れが主たる中性子核反応である。漏れと吸収を消滅と考えすべての核反応を消滅と発生の2つにまとめれば, 次表を得る。

Table 2.5-1 中性子核反応別の平均回数と関与中性子数

核反応 (i)	\bar{m}_i	q_i
消滅	$\frac{N}{\theta} \cdot \frac{A}{A + F}$	-1
発生	$\frac{N}{\theta} \cdot \frac{F}{A + F} p_{\nu}$	$\nu - 1$

ただし

N: 炉内の全中性子数

θ : 平均の即発中性子寿命

A: 消滅の巨視的断面積

F: 発生(核分裂のみ)の巨視的断面積

p_{ν} : ν ケの即発中性子を発生する確率

また, 臨界条件は

$$\frac{\bar{\nu} F}{A + F} = 1 \quad (2)$$

Table 2.5-1 の値と(2)式の条件を(1)式に代入すると

$$\langle |S_0|^2 \rangle = \frac{2N}{\ell} \cdot \frac{\bar{v}^2 - \bar{\nu}}{\bar{\nu}} \quad (3)$$

を得る。

1点モデルの動特性方程式

$$\frac{dN}{dt} = \frac{\rho - \beta}{\ell} N + \sum \lambda_i C_i + S \quad (4)$$

$$\frac{dC_i}{dt} = \frac{\beta}{\ell} N - \sum \lambda_i C_i \quad (5)$$

を参照すると、Nの変動が微少な場合

$$\left(\frac{N}{\ell} \right) \Delta \rho + \Delta S = 0 \quad (6)$$

なる関係を得る。ここで $\Delta \rho$ 、 ΔS はそれぞれ反応度、中性子源の微少変動である。これより、 $\langle |S_0|^2 \rangle$ に等しい反応度のゆらぎ $\langle |\rho|^2 \rangle$ は

$$\langle |\rho|^2 \rangle = \left(\frac{\ell}{N} \right)^2 \langle |S_0|^2 \rangle$$

(3)式より

$$\langle |\rho|^2 \rangle = \frac{2\ell}{N} \cdot \frac{\bar{v}^2 - \bar{\nu}}{\bar{\nu}} \quad (7)$$

原子炉の出力をP [watt] とすると、炉内の全中性子数は

$$N = 3.1 \times 10^{10} \times \bar{\nu} \times \ell \cdot P \quad (8)$$

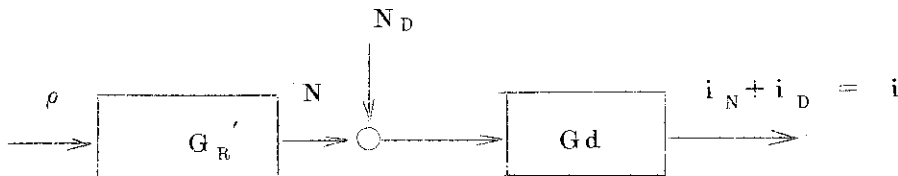
従って (7)式は

$$\begin{aligned} \langle |\rho|^2 \rangle &= \frac{2}{3.1 \times 10^{10} \times P} \cdot \frac{\bar{v}^2 - \bar{\nu}}{\bar{\nu}^2} \\ (\bar{v}^2) &\approx \sum_{\nu=1}^{\infty} \nu^2 p_{\nu} \end{aligned} \quad (9)$$

以上より、反応度のゆらぎ $\langle |\rho|^2 \rangle$ は原子炉出力に反比例する。従って $\langle |\rho|^2 \rangle$ のゆらぎによる炉内の中性子数のゆらぎ(炉雑音)の大きさを知れば原子炉出力を求めることができます。

2.5.3 炉雜音の測定

1) 炉雜音の検出

 G_R' : 原子炉の伝達関数 (N/ρ) G_d : 検出器の伝達関数 (\bar{i}^2/N) i_N : 検出器出力のうち炉雜音成分 i_D : 検出器出力のうち検出器雜音成分ここで \bar{i}_N^2 が炉雜音に関する情報を含んでいる。即ち

$$\begin{aligned}\bar{i}_N^2 &= |G_d|^2 \cdot \langle |N|^2 \rangle \\ &= |G_d|^2 \cdot |G_R'|^2 \cdot \langle |\rho|^2 \rangle\end{aligned}$$

 $|G_R|$ を全中性子数 N で規格化すると

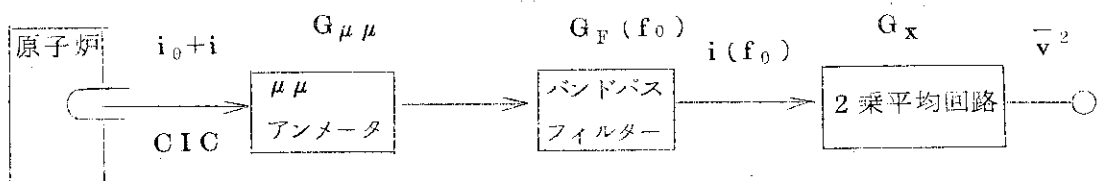
$$\bar{i}_N^2 = i_0^2 \cdot |G_R|^2 \cdot \langle |\rho|^2 \rangle \quad (|G_d| = i_0/N)$$

検出器雜音成分 \bar{i}^2_D は

$$\bar{i}^2_D = 2q_0 i_0$$

で q_0 は検出器内で中性子が ^{10}B と反応して生じる電荷である。

$$\begin{aligned}\bar{i}^2 &= \bar{i}_N^2 + \bar{i}^2_D \\ &= i_0^2 \cdot |G_R|^2 \cdot \langle |\rho|^2 \rangle + 2q_0 i_0 \\ &= i_0^2 \cdot |G_R|^2 \cdot \frac{2}{3.1 \times 10^{10} \times P} \cdot \frac{\bar{v}^2 - \bar{v}}{\bar{v}^2} + 2q_0 i_0 \quad (10)\end{aligned}$$

2) 炉出力 P (W) の測定

炉雜音を測定するには上図のような測定系を設け、雜音成分の2乗平均を求める。

$$\bar{v}^2 = \int_0^\infty |G_F|^2 \cdot |G_{\mu\mu}|^2 \cdot |G_x|^2 \cdot \bar{i}^2 df$$

$$\begin{aligned}
 &= \int_0^\infty |G_F|^2 \cdot |G_{\mu\mu}|^2 \cdot |G_X|^2 \cdot (i_0^2 + |G_R|^2) \cdot \frac{2}{3.1 \times 10^{10} \times P} \cdot \frac{\bar{v}^2 - \bar{\nu}}{\bar{\nu}^2} + 2 q_0 i_0 dF \\
 &= i_0^2 \cdot \frac{2}{3.1 \times 10^{10} \times P} \cdot \frac{\bar{v}^2 - \bar{\nu}}{\bar{\nu}^2} \int_0^\infty |G_F|^2 \cdot |G_{\mu\mu}|^2 \cdot |G_X|^2 \cdot |G_R|^2 dF \\
 &\quad + 2 q_0 i_0 \int_0^\infty |G_F|^2 \cdot |G_{\mu\mu}|^2 \cdot |G_X|^2 dF
 \end{aligned} \tag{11}$$

となる。ここで

$$I_1 = \int_0^\infty |G_F|^2 \cdot |G_{\mu\mu}|^2 \cdot |G_X|^2 \cdot |G_R|^2 dF \tag{12}$$

$$I_2 = \int_0^\infty |G_F|^2 \cdot |G_{\mu\mu}|^2 \cdot |G_X|^2 dF \tag{13}$$

とおけば

$$\bar{v}^2 = i_0^2 \cdot \frac{2}{3.1 \times 10^{10} \times P} \cdot \frac{\bar{v}^2 - \bar{\nu}}{\bar{\nu}^2} \cdot I_1 + 2 q_0 i_0 I_2 \tag{14}$$

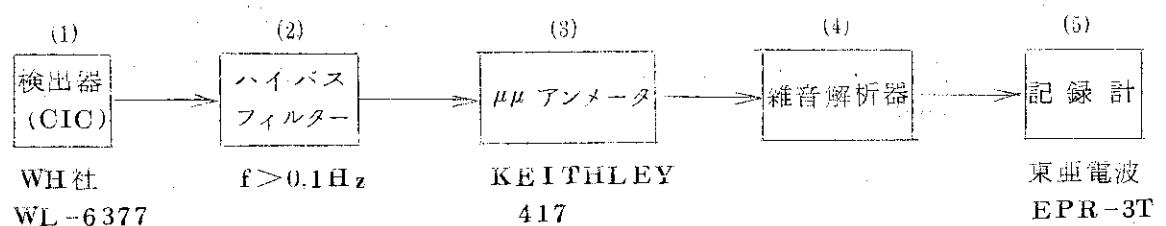
$$P = \frac{i_0^2 \cdot \frac{2}{3.1 \times 10^{10} \times P} \cdot \frac{\bar{v}^2 - \bar{\nu}}{\bar{\nu}^2} \cdot I_1}{\bar{\nu}^2 - 2 q_0 i_0 I_2} \tag{15}$$

$$= \frac{i_0^2 \cdot \frac{2}{3.1 \times 10^{10}} \cdot \frac{\bar{v}^2 - \bar{\nu}}{\bar{\nu}^2} \cdot G_R (f_0)^2}{i_N^2} \tag{16}$$

となり、 i_N^2 が求まれば、炉出力 P (W) は(16)式で与えられる。

2.5.4 測定方法

1) 測定系の概要



中性子検出器 (1)

γ 補償型電離箱を用いている。

ハイパスフィルタ (2)

検出器出力から直流成分を除き、雑音成分のみを取り出すために設ける。カットオフ周波数は 0.1 Hz である。

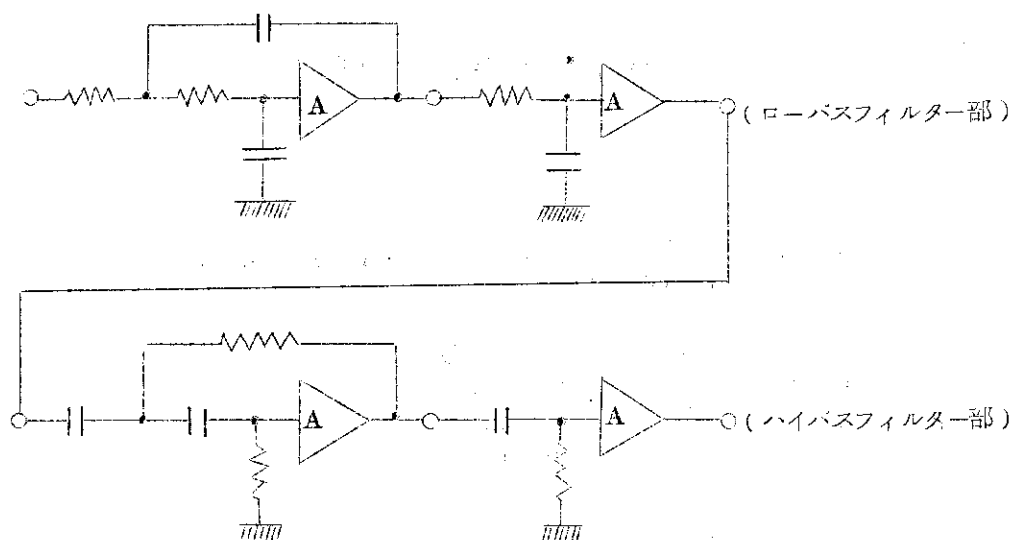
 $\mu\mu$ アンペータ (3)

検出器出力電流の雑音成分は rms 値で 10^{-10} A 程度であるから、増幅しなければならない。

雑音解析器 (4)

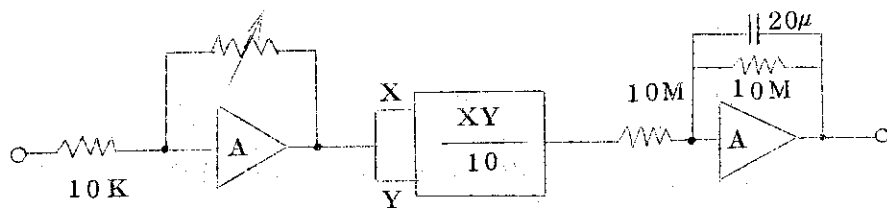
バンドパスフィルターと 2 乗則平均回路とが主要部分である。バンドパスフィルターは雑音成分のうち、ある周波数帯域の成分のみを取出すためのものである。2 乗則平均回路は、バンドパスフィルターを通過した雑音成分の 2 乗平均値を求めるものである。

i) バンドパスフィルターの構成



上図のような構成の active-filter を用いており、出力測定には、炉雑音のスペクトルを検討した結果、中心周波数 4 Hz のフィルタを用いている。その特性を Fig. 2.5-1 に示す。

ii) 2 乗則平均回路の構成



上図のように掛算器を用いた 2 乗回路と平滑回路によって構成されている。

記録計 (5)

2 乗平均回路は 200 sec の時定数を持っているために解析器の出力値として安定する

までの様子およびその後の変動を記録させておき、平均値を確認する。

2) 出力 P [W] の測定手順

- (1) 中性子検出器の動作テスト
- (2) 雑音解析器各部の動作テスト
- (3) i_0 (中性子検出器の直流分の電流) 測定
- (4) \bar{i}^2 (中性子検出器の雑音成分) 測定
- (5) 出力 P [W] の算出

2.5.5 測定結果

1) 直線性および再現性の確認

J M T R C の # 1 0 , 1 1 サイクル模擬炉心は、ほぼ同一の炉心と見なせるので、これらの炉心におけるノイズ法による出力測定の結果から直線性および再現性を確認する。結果を Table 2.5-2 および Fig. 2.5-2 に示す。

Table 2.5-2 ノイズ法炉出力計の直線性

出力測定値	Extra CIC 電流 値	炉 心	検出器位置	測定月・日
1 5.64 [Watt]	2.08×10^{-7} A	#10サイクル	PQ-78	S. 46. 5. 13
2 6.20×10^{-1}	2.32×10^{-8}	"	"	5. 19
3 5.42	2.00×10^{-7}	#10-2	"	6. 22
4 5.55	2.01×10^{-8}	#11	"	6. 30
5 2.20	7.95×10^{-8}	"	"	7. 2
6 2.25	8.56×10^{-8}	"	"	"
7 2.18×10^{-1}	6.90×10^{-9}	"	"	"

Fig. 2.5-2 からわかるように、0.5W~10W の範囲で、直線性、再現性とも $\pm 5\%$ の精度内で良い結果を示している。

2) foil 構分法による出力測定値との比較

Table 2.5-3 ノイズ法とフォイル法による炉出力の比較

実験年、月、日	炉 心	ノイズ法出力(A)	foil 法出力(B)	A/B
1 S. 46. 5. 13	#10-1サイクル	5.64 [W]	6.42 [W]	0.88
2 6. 22	#10-2	5.42	6.23	0.87
3 6. 30	#11	5.55	—	—
4 8. 26	#12	7.38	12.1	0.61
5 9. 21	#12-2	8.00	13.5	0.59
6 11. 8	#13	8.46	10.0	0.85
7 12. 1	#14	9.34	11.0	0.85

Table 2.5 - 3においてA/Bの値は、#1 2サイクルのデータを除いて、JAERI-memo 4276 の第4表の値と良い一致を示している。このことからノイズ法と foil 横分法とは、一定の factor を考慮して、ほぼ一致していると言える。この factor については現在検討を進めている。

2.5.6 検討

ノイズ法による炉出力測定法については、以上の結果を得ているが、JMT-R本体の熱出力値との対応については、10%~20%の差異が系統的に現われている*。この差の原因については

- (1) JMT-R本体とCF炉心の模擬性の問題
- (2) 一点モデルの動特性の近似性の問題
- (3) 使用している雑音解析器の精度の問題

が考えられる。

(1)および(2)については、理論的な検討を進めており、今後、明確になって行くものと思われる。

(3)については、

- i) $\mu\mu$ アンメータの利得校正
- ii) バンドバスフィルターの利得校正
- iii) i_0 (中性子検出器の直流成分)測定の方法
- iv) 臨界状態での副御棒操作 (外乱となる。)
- v) 雑音成分 (i^2) のサンプリング (グラフの読みとり方)

などに留意して測定を行えば、バラツキの少い測定が可能である。

* これについては§2.6に述べる。

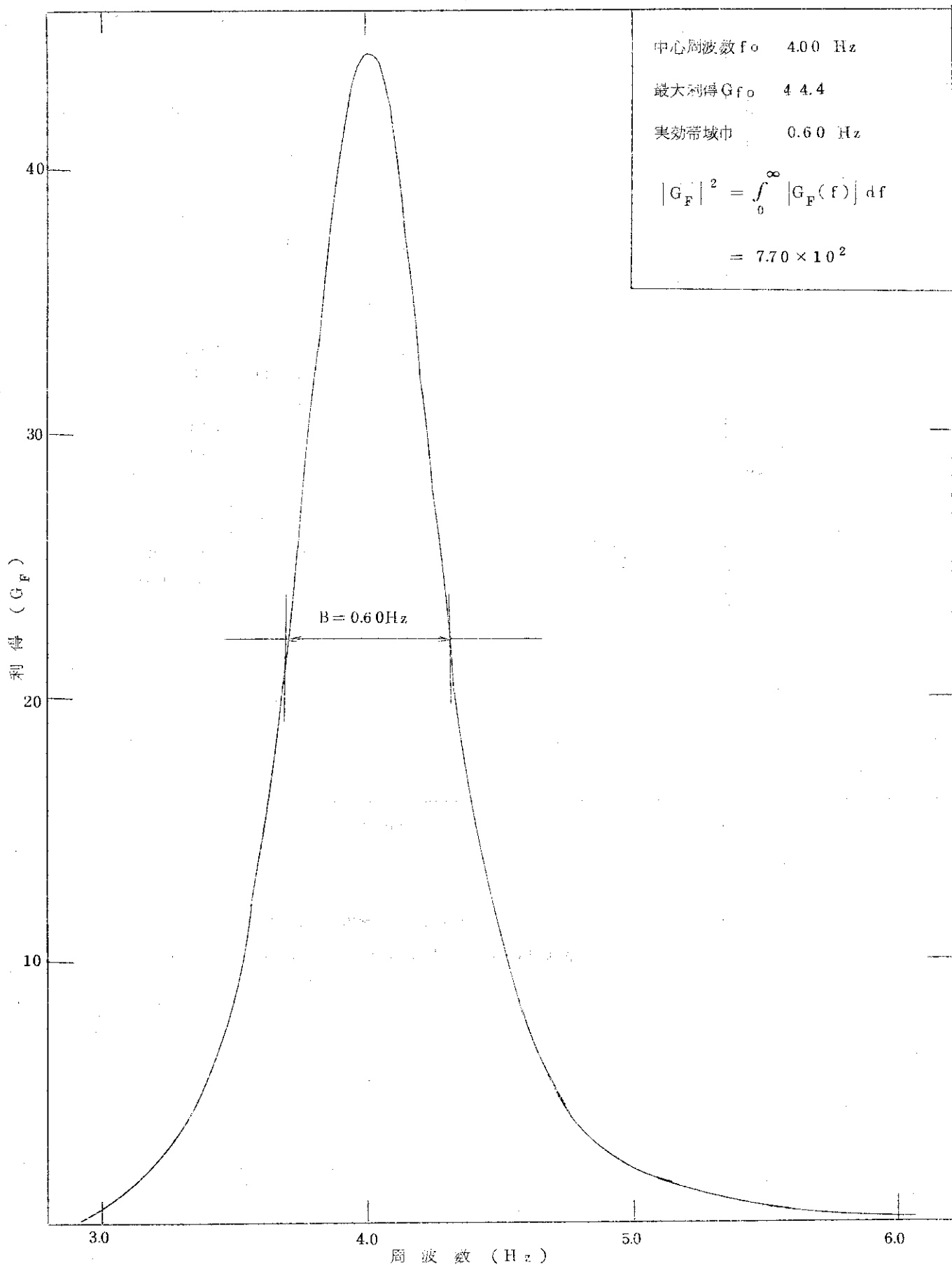


Fig. 2.5-1 バンドパスフィルタの特性

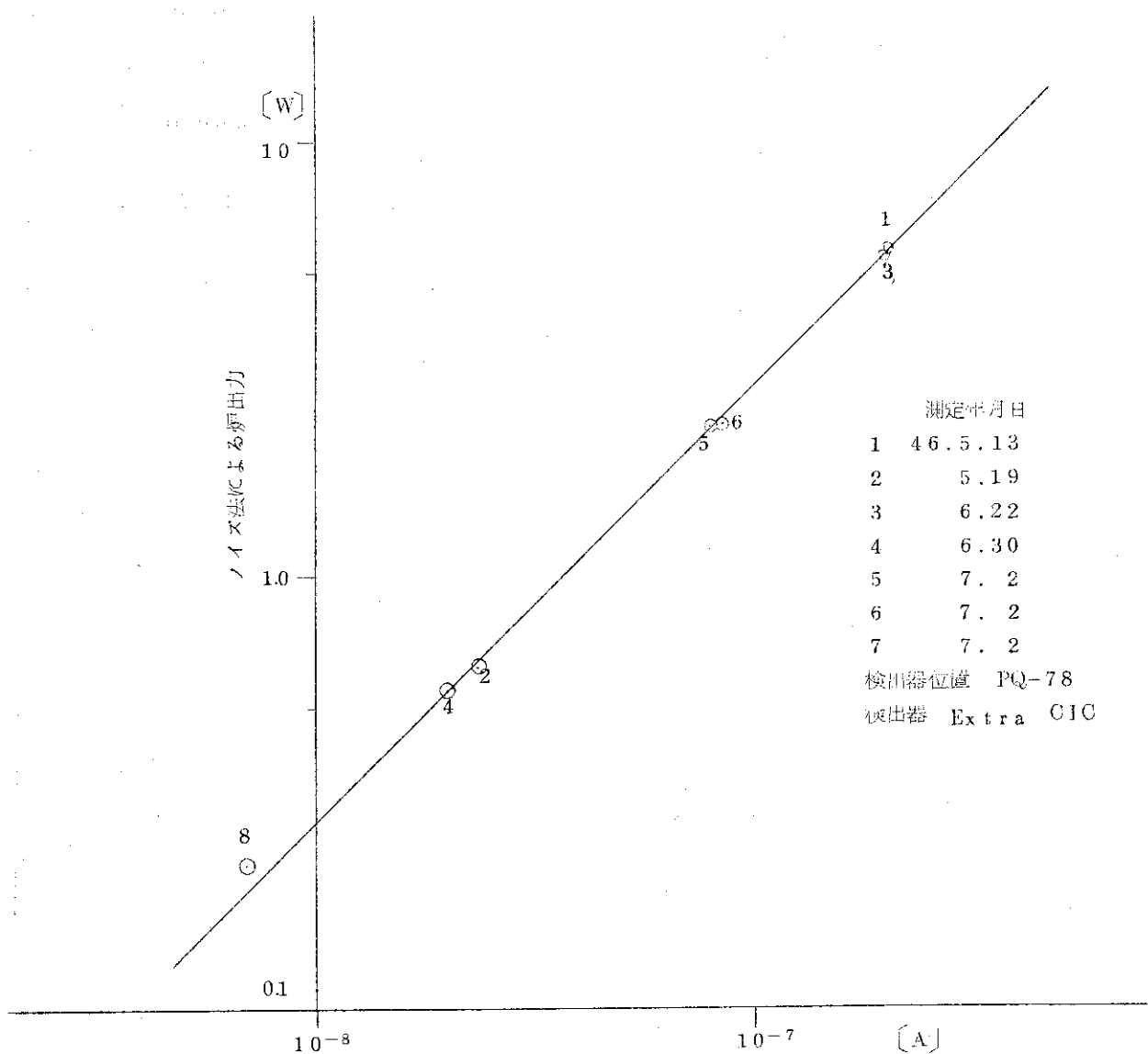


Fig. 2.5-2 ノイズ法炉出力測定の直線性と再現性
(#10ey, #11ey CF 模擬炉心)

2.6 J M T R 本体の熱出力値とノイズ法による出力測定値の関係

2.6.1 はじめに

J M T R の出力値は、中性子検出器による核計装出力計（核出力）と冷却水流量および炉心出入口温度差からのプロセス計装出力計（熱出力）とにより測定されている。J M T R では核計装出力値が一定になるような自動制御系が設けられており、炉心外に置かれた中性子検出器位置の熱中性子束が一定に保たれる。一般に核出力計と熱出力計との指示は必ずしも一致させてはいるが同一検出器位置についてもサイクル期間中およびサイクル毎に変化する。

この原因としては

- I) 中性子検出器の感度変化
- II) 炉心配置の差
- III) 冷却水温度変化
- IV) 炉心の燃焼
- V) 炉心のXe 濃度分布変化

が考えられる。このうちIII), IV), V) はサイクル期間中の変化であるが、これらは制御棒位置の差として現われるので、各パラメータについてその効果を評価しておけば、熱出力値をノイズ法測定時の状態での値に補正する事が可能である。本メモでは、この補正された熱出力値とノイズ法出力値との間に、なお系統的な差が存在することについて述べる。

2.6.2 热出力とノイズ法出力の比

ここでは、熱出力／ノイズ法出力の求め方について述べる。

熱出力計は低出力では作動せず、一方ノイズ法は低出力でしか保証されていないので両方のデータを同一条件で測定することができない。そこで高出力で熱出力を、低出力でノイズ法出力を測定し、核出力計の直線性を信頼して両者の関係を求める方法をとる。

1) 核出力とノイズ法出力の比 (R_1)

J M T R を核出力 200W で臨界に保ち、この状態であらかじめ炉心内に設けた中性子検出器 (Extra-CIC) によってノイズ法出力を求める。これによって核出力とノイズ法出力の比 R_1 が求められる。すなわち

$$R_1 = \frac{\text{核出力}}{\text{ノイズ法出力}}, (\text{炉心温度 } T, \text{ 制御棒位置 } x)$$

2) 制御棒位置の補正 $R(x)$

一方高出力において熱出力と核出力との比を求める必要があるがこれについては Table 2.6-3 ~ 8 に示すように炉心温度 33°C に換算された形で求められている。

これを制御棒位置との関係で示したのが Fig. 2.6-1-6 である。Fig. 2.6-1, 2, 3, および 6 にそれぞれノイズ法測定のおこなわれた制御棒位置を示してある。この制御棒位置に対応する $R(x)$ はグラフを外挿することによっても求められる。すなわち

$$R(x) = \frac{\text{熱出力}}{\text{核出力}}, (\text{炉心温度 } 33^\circ\text{C}, \text{ 制御棒位置 } x)$$

3) 炉心温度の補正

核出力一定で運転した場合の熱出力と炉心温度(炉心入口温度)の関係が求められており次のように表すことができる。

$$P(T) = P(T_0) \{ 1 - \alpha(T - T_0) \}$$

α = 湿度係数

T, T_0 = 炉心温度

この関係は核出力一定で運転したときのものであるから次のように書きなおすことが可能である。

$$[R(x)]_T = [R(x)]_{T_0} \{ 1 - \alpha(T - T_0) \}$$

4) 以上の各種補正によって熱出力とノイズ法出力との比は、

$$\left[\frac{\text{熱出力}}{\text{ノイズ法}} \right] = R_1 \cdot R_x \{ 1 - \alpha(T - T_0) \}$$

で求めることができる。

2.6.3 測定データ

Table 2.6-1にノイズ法出力測定条件を、Table 2.6-2にその結果を示す。

Table 2.6-3～8には炉心温度33°Cに補正した熱出力／核出力を示した。Fig. 2.6-1～6はこれら $R(x)$ と制御棒位置との関係を示したものである。

Table 2.6 - 1 ノイズ法出力測定条件

	核出力	ノイズ法出力	原子炉入口温度	制御棒位置	$R_1 = \frac{\text{核出力}}{\text{ノイズ法出力}}$
# 1 ey	100 [W]	100 [W]	18.0 [°C]	370 [mm]	1.000
2	200	285	21.0	44.6	0.702
9	200	307	26.6	38.1	0.651
12	200	256	24.1	45.1	0.781

Table 2.6 - 2 热出力 - ノイズ法出力比

	R_1	$R(x)$	熱出力 ノイズ法出力
# 1 ey	1.000	1.02	1.17
2	0.702	1.41	1.10
9	0.651	1.50	1.03
12	0.781	1.42	1.27

Table 2.6 - 3 #1 サイクル熱出力 - 核出力比 (原子炉入口温度 33°C 補正)

核出力計	熱出力計	原子炉入口温度	制御棒位置 SH-1, 3	補正熱出力 (33°C)	補正熱出力	
					核出力	
3.0.0 [HW]	3.2.3 [MW]	23.0 [°C]	44.0 [mm]	29.8 [MW]	0.994	
3.0.0	31.6	27.0	44.0	30.1	1.003	
3.0.0	31.4	27.0	46.4	29.9	0.997	
5.0	6.2	7.0	48.3	5.1	1.020	
1.0.0	12.3	10.0	49.4	10.3	1.033	
3.0.0	30.6	27.0	50.2	29.1	0.972	
2.0.0	24.2	16.0	51.3	21.2	1.060	
3.0.0	32.6	26.0	55.9	30.8	1.027	
3.0.0	29.0	27.0	56.4	27.6	0.921	
3.0.0	32.0	27.0	59.2	30.5	1.016	
3.0.0	27.2	34.0	60.5	27.4	0.914	
3.0.0	26.7	35.0	62.7	27.2	0.905	
3.0.0	24.6	44.0	65.5	27.1	0.902	
3.0.0	30.7	26.0	66.6	29.0	0.967	
3.0.0	24.7	44.0	70.5	27.2	0.906	
3.0.0	27.3	26.0	70.5	25.8	0.860	
3.0.0	30.0	25.0	70.9	28.1	0.938	

熱出力計のオフセット値 0 [MW]

温度係数 α 0.83%/ $^{\circ}$ C

$$\text{補正熱出力} [\text{MW}] = \frac{\text{熱出力計値} - (\text{オフセット値})}{1 - \alpha (T - 33.0)}$$

T : 原子炉入口温度 [°C]

Table 2.6 - 3' #1 サイクル熱出力 - 核出力比

核出力計	熱出力計	原子炉入口温度	制御棒位置	補正熱出力	補正熱出力	
					核出力	
5.0 [MW]	5.9 [HW]	14.0 [°C]	37.2 [mm]	5.10	1.019	
5.0	5.7	20.0	39.8	5.14	1.029	
1.0.0	12.0	13.0	39.9	10.3	1.029	
5.0	5.2	22.0	43.2	4.8	0.953	
2.0.0	22.5	20.0	46.0	20.3	1.015	
1.0.0	10.0	31.0	47.6	9.8	0.984	
2.0.0	22.0	19.0	49.5	19.7	0.985	
5.0	6.0	9.0	47.2	5.0	1.001	
1.0.0	11.0	15.0	54.0	9.57	0.957	
2.0.0	20.7	22.0	55.5	20.8	1.040	

Table 2.6-4 #2 サイクル熱出力 - 核出力比 (原子炉入口温度 33°C 補正)

核出力計	熱出力計	原子炉入口温度	制御棒位置	補正熱出力	補正熱出力 核出力
5.0 [MW]	8.0 [MW]	17.0 [°C]	446 [mm]	7.1	1.412
5.0	8.0	19.5	452	7.2	1.439
14.8	23.0	24.0	464	21.4	1.446
20.0	29.5	30.0	479	28.8	1.439
20.0	29.0	32.0	494	28.3	1.415
26.5	36.0	34.5	498	36.5	1.376
26.0	35.0	34.5	527	35.4	1.363
25.5	34.5	34.0	549	34.8	1.364
26.2	34.5	33.9	562	34.8	1.327
25.5	34.0	33.2	575	34.1	1.336
25.0	32.0	34.0	580	32.3	1.291
25.0	32.0	34.0	596	32.3	1.291
25.0	31.3	33.0	616	31.3	1.252
25.0	32.0	32.5	638	31.9	1.275
25.0	31.0	32.5	660	30.9	1.235
24.5	30.0	32.5	704	29.9	1.219
24.5	29.0	33.0	779	29.0	1.184
25.0	28.5	33.5	800	28.6	1.145

熱出力計のオフセット値 0 [MW]

温度係数 α 0.83 % / °C

$$\text{補正熱出力 [MW]} = \frac{\text{熱出力計値} - (\text{オフセット値})}{1 - \alpha (T - 33.0)}$$

T : 原子炉入口温度 [°C]

Table 2.6-5 #9サイクル熱出力-核出力比(原子炉入口温度33°C補正)

核出力計	熱出力計	原子炉入口温度	制御棒位置	補正熱出力	補正熱出力 核出力
15.0 [MW]	25.0 [MW]	37.0 [°C]	40.6 [mm]	26.9 [MW]	1.793
15.0	24.8	38.0	41.7	26.9	1.794
15.0	24.0	38.0	43.1	26.1	1.739
15.0	24.2	38.0	44.3	26.3	1.753
16.0	24.0	38.0	45.1	26.1	1.630
16.3	25.0	37.3	48.2	27.0	1.654
16.3	25.0	37.3	49.1	27.0	1.654
16.3	24.7	37.4	50.2	26.7	1.636
16.3	24.5	36.9	51.2	26.4	1.617
16.3	24.5	36.4	52.3	26.2	1.610
16.8	25.0	36.2	53.4	26.7	1.590
16.8	24.8	36.2	54.6	26.5	1.578
16.8	23.7	35.2	56.0	25.2	1.498
18.0	25.0	35.5	57.4	26.6	1.475
19.5	27.0	36.5	59.0	28.8	1.479
19.5	26.5	36.5	60.8	28.3	1.452
20.5	27.2	38.5	63.0	29.5	1.441
20.5	26.9	37.7	65.7	29.0	1.416
21.2	27.2	38.0	69.0	29.4	1.388
21.0	26.9	34.1	74.6	28.2	1.341
19.7	25.0	32.2	80.0	25.8	1.311

熱出力計のオフセット値 = -1.0 [MW]

温度係数 α = 0.83%/ $^{\circ}$ C

$$\text{補正熱出力} [\text{MW}] = \frac{\text{熱出力計値} - [\text{オフセット値}]}{1 - \alpha (T - 33.0)}$$

T : 原子炉入口温度 ($^{\circ}$ C)

Table 2.6-5' #9サイクル熱出力-核出力比(原子炉入口温度33°C補正)

核出力計	熱出力計	原子炉入口温度	制御棒位置	補正熱出力	補正熱出力 核出力
7.5 [MW]	11.0 [MW]	27.5 [$^{\circ}$ C]	38.6 [mm]	11.5 [MW]	1.530
10.0	14.7	29.0	38.6	15.2	1.520
12.5	19.3	30.5	39.0	19.9	1.591
15.0	22.5	31.0	39.4	23.1	1.541

Table 2.6-6 #10 サイクル熱出力-核出力比(原子炉入口温度 33°C 補正)

核出力計	熱出力計	原子炉入口温度	副御棒位置 SH-1, 3	補正熱出力	補正熱出力 核出力
10.0 [MW]	16.0 [MW]	32.5 [°C]	386 [mm]	16.9 [MW]	1.693
14.9	23.7	37.5	399	25.7	1.722
16.3	25.5	40.0	411	28.1	1.726
16.3	25.5	40.2	423	28.2	1.729
16.3	25.5	40.2	436	28.2	1.729
16.3	25.0	40.2	443	27.7	1.696
16.3	25.0	40.0	459	27.6	1.693
16.3	25.0	40.0	468	27.6	1.693
16.6	25.0	40.0	476	27.6	1.663
16.6	24.8	40.0	484	27.4	1.650
16.6	24.8	40.0	494	27.4	1.650
17.2	25.0	39.8	503	27.6	1.602
17.2	24.6	39.7	513	27.1	1.576
17.2	25.0	39.5	523	27.5	1.598
17.2	24.6	39.2	534	27.0	1.569
17.2	24.2	39.0	546	26.5	1.542
17.1	24.0	39.5	558	26.4	1.545
17.4	24.0	39.9	574	26.5	1.524
19.6	27.0	41.0	563	30.0	1.530
19.6	27.0	41.0	576	30.0	1.530
19.8	26.8	40.5	590	29.6	1.497
20.0	26.8	40.5	609	29.6	1.482
20.0	26.5	41.8	630	29.7	1.483
21.0	27.0	41.2	655	30.0	1.431
21.0	27.0	40.0	685	29.7	1.416
21.0	26.7	39.8	730	29.4	1.398
22.0	27.0	40.3	800	29.8	1.355

熱出力計のオフセット値 -1.0 [MW]

温度係数 α 0.83%/ $^{\circ}$ C

$$\text{補正熱出力} [\text{MW}] = \frac{\text{熱出力計値} - [\text{オフセット値}]}{1 - \alpha (T - 33.0)}$$

T : 原子炉入口温度 [$^{\circ}$ C]

Table 2.6 - 7 #11 サイクル熱出力-核出力比(原子炉入口温度33°C補正)

核出力計	熱出力計	原子炉入口温度	制御棒位置	補正熱出力	補正熱出力 核出力
5.0 [MW]	7.1 [MW]	28.5 [°C]	385 [mm]	7.8 [MW]	1.562
10.0	15.0	32.0	392	16.0	1.600
10.0	15.0	33.0	398	16.0	1.600
10.0	15.5	33.3	410	16.5	1.654
15.0	23.2	36.0	418	24.8	1.655
16.2	24.9	36.5	424	26.7	1.647
16.2	25.0	36.5	438	26.8	1.653
16.2	24.5	36.5	445	26.3	1.621
16.2	24.5	36.5	461	26.3	1.621
16.2	24.5	35.9	478	26.1	1.613
16.2	24.2	36.0	486	25.8	1.595
17.0	25.0	36.4	496	26.8	1.574
17.0	25.0	35.6	515	26.6	1.563
17.0	25.0	35.0	529	26.4	1.555
17.0	25.0	34.5	541	26.3	1.549
17.7	25.0	34.8	551	26.4	1.491
17.7	25.0	36.0	568	26.7	1.506
19.1	26.8	36.2	584	28.6	1.495
19.2	26.5	35.2	603	28.0	1.459
19.2	26.2	36.9	620	28.1	1.464
19.6	26.4	37.0	639	28.3	1.446
19.7	26.0	37.2	670	28.0	1.420
20.0	26.5	34.2	712	27.8	1.389
20.8	26.5	32.5	800	27.4	1.317

熱出力のオフセット値

-1.0 [MW]

温度係数 α 0.83%/ $^{\circ}$ C

$$\text{補正熱出力} [\text{MW}] = \frac{\text{熱出力計値} - [\text{オフセット値}]}{1 - \alpha (T - 33.0)}$$

T : 原子炉入口温度 [$^{\circ}$ C]

Table 2.6-8 #12 サイクル熱出力 - 核出力比 (原子炉入口温度 33°C 補正)

核出力計	熱出力計	原子炉入口温度	制御棒位置 SH-1, 3	補正熱出力	補正熱出力 核出力
10.0 [MW]	16.5 [MW]	21.0 [°C]	457 [mm]	14.1 [MW]	1.410
14.9	23.5	23.8	466	20.9	1.403
15.0	22.7	24.9	483	20.3	1.356
15.9	23.7	25.5	490	21.4	1.344
18.0	26.2	25.5	493	23.7	1.318
21.5	30.4	27.0	497	28.0	1.303
21.5	30.4	28.0	504	28.2	1.313
27.3	37.5	32.0	519	36.2	1.326
27.3	37.1	32.2	536	35.9	1.314
28.8	37.6	32.2	583	36.4	1.262
28.8	37.4	32.1	598	36.1	1.255
29.3	37.2	32.2	635	36.0	1.227
29.3	36.9	32.0	660	35.6	1.215
30.0	37.6	32.0	660	36.3	1.210
30.0	37.3	32.0	691	36.0	1.200
30.0	37.2	32.0	691	35.9	1.197
30.5	37.4	32.0	737	36.2	1.187
30.5	37.3	32.0	737	36.0	1.180
30.5	37.1	32.5	737	36.0	1.179

3

熱出力計のオフセット値 1.0 [MW]

温度係数 α 0.83%/ $^{\circ}$ C

$$\text{補正熱出力 [MW]} = \frac{\text{熱出力計値} - [\text{オフセット値}]}{1 - \alpha (T - 33.0)}$$

T : 原子炉入口温度 [$^{\circ}$ C]

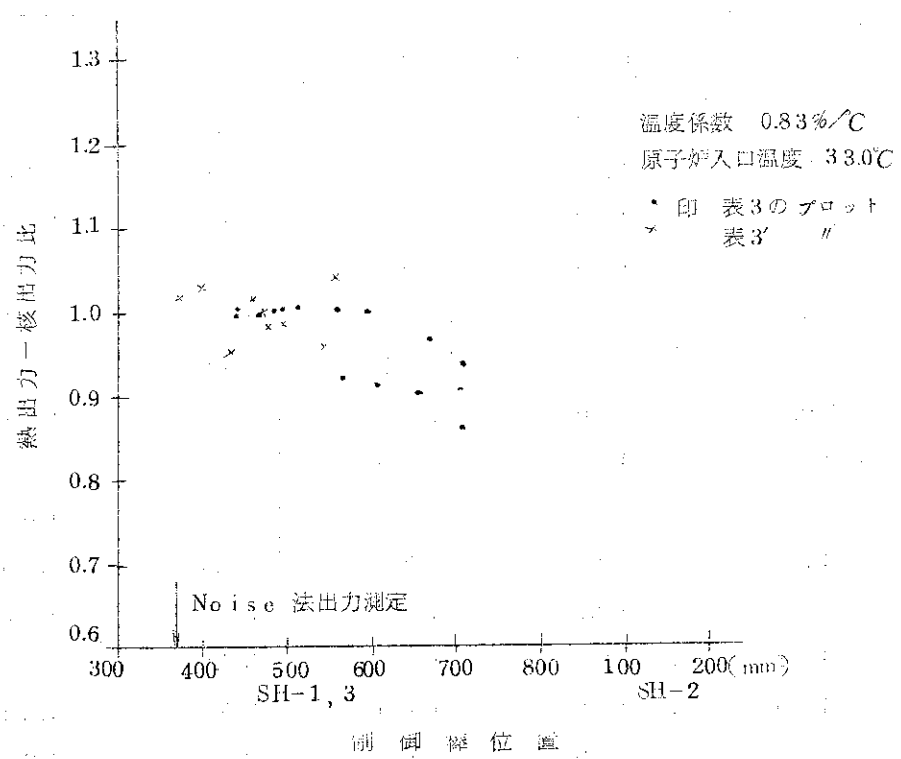


Fig. 2.6-1 #1 サイクル熱出力一核出力比

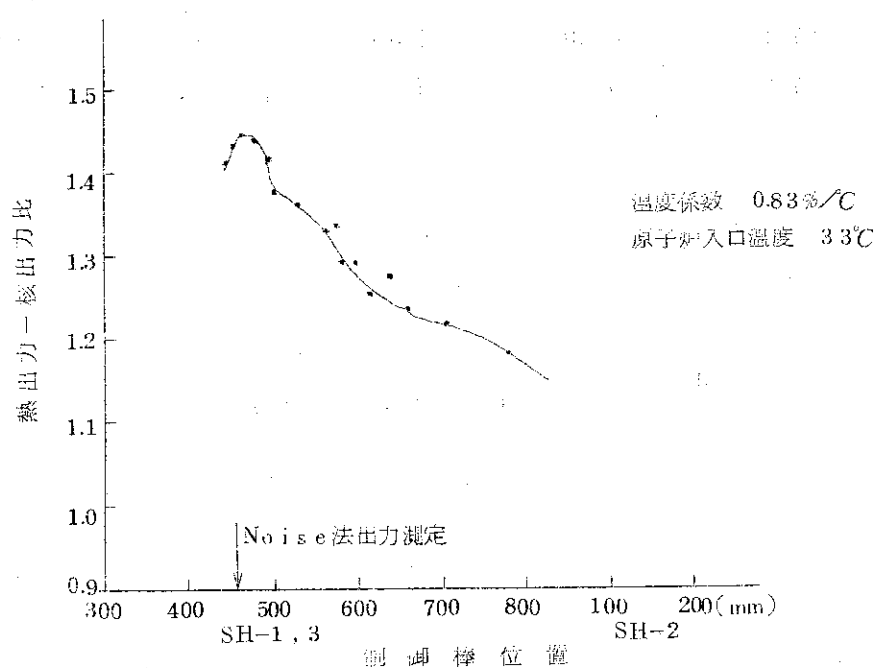


Fig. 2.6-2 #2 サイクル熱出力一核出力比

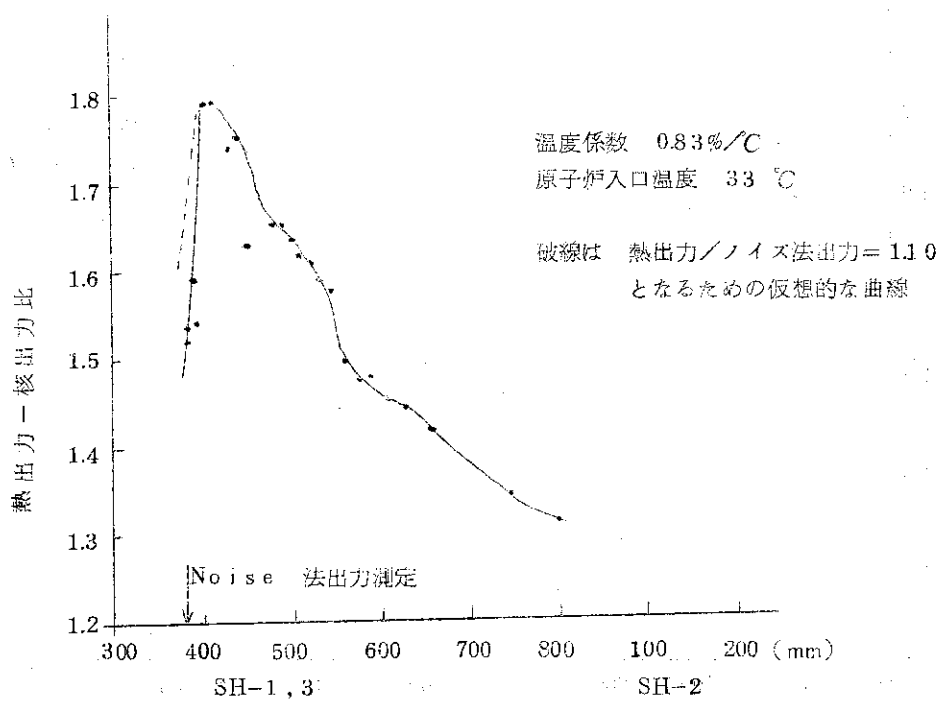


Fig. 2.6 - 3 # 9 サイクル熱出力-核出力比

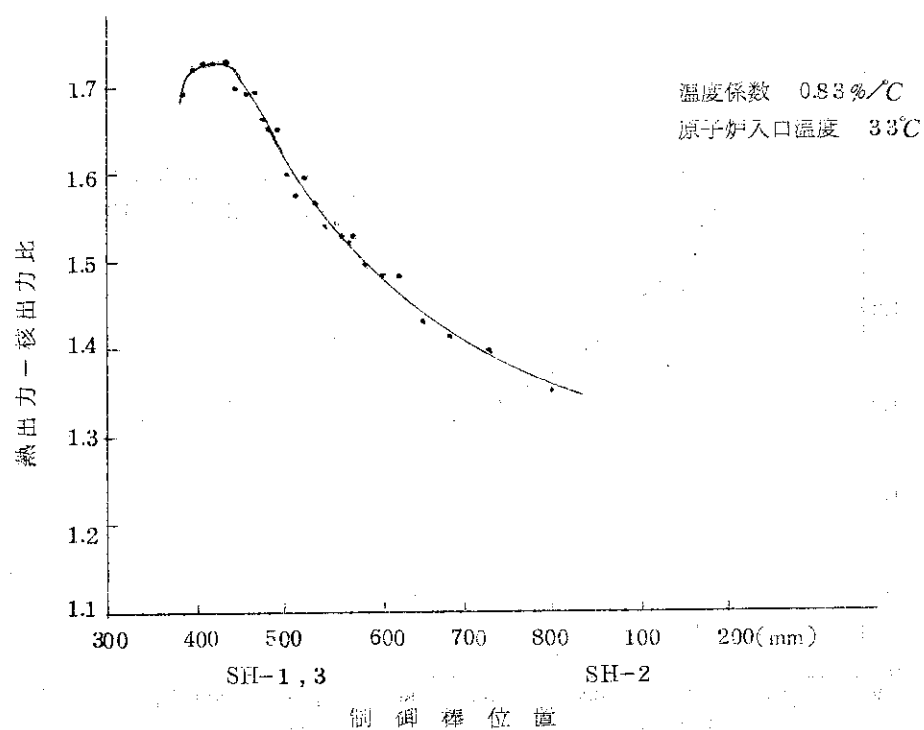


Fig. 2.6 - 4 # 10 サイクル熱出力-核出力比

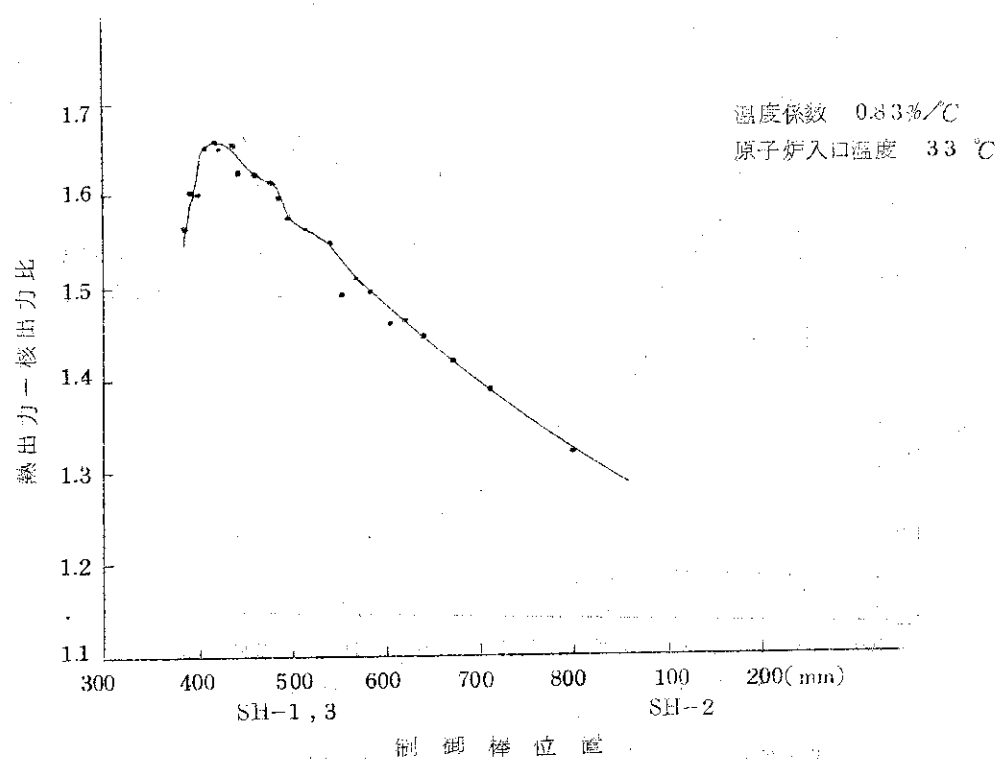


Fig. 2.6-5 # 11 サイクル熱出力 - 核出力比

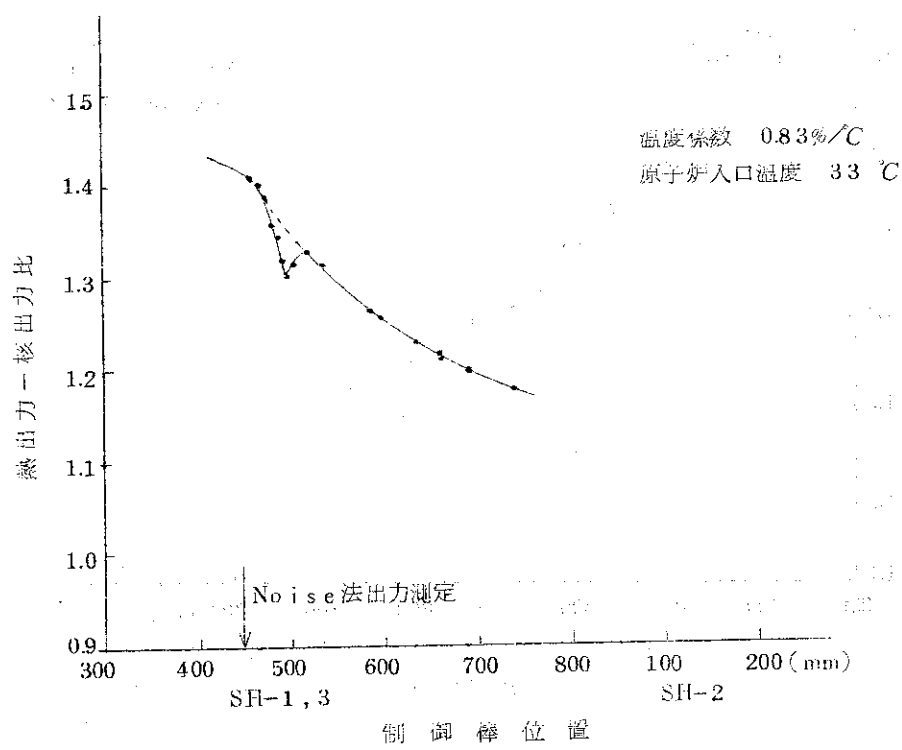


Fig. 2.6-6 # 12 サイクル熱出力 - 核出力比

2.6.4 検討

熱出力ノイズ法出力の対応測定は Table 2.6-1 に示すように 4 回行っている。これらのデータを § 2.6.2 に述べた方法によって整理した結果が Table 2.6-2 に示す値である。熱出力値を真とすれば、ノイズ法による出力測定法は、出力を 3 ~ 30 % 程度小さく評価する傾向にある。しかし、Table 2.6-2 の結果は各サイクルによってバラツキをもっており、一定値に収束していない。このバラツキの原因と考えられるのは

- I) 温度係数 α の評価
- II) 热出力 - 核出力の比 $R(x)$ によるバラツキ
- III) ノイズ法出力測定の問題点

がある。以下これらの要因について検討を行う。

1) 温度係数 α の評価 ($\alpha = 0.83\%/\text{C}$)

特性試験報告書(分冊 4, P 13)によれば、核出力一定で運転した場合、炉心入口温度が 10°C 变化すると熱出力は -8.3% 变化する。但し、熱出力が 40~50MW では、10°C について -5.8% 变化するという測定結果が得られている。更に特性試験(その 2)報告書「炉心温度変化に対する核計装の指示特性についての計算」(P 97, 付録)によれば炉心の ϕ_{th} 一定として炉心水温が 20°C から 50°C に変化した場合の検出器位置での $\phi_{th}(50\text{C}) / \phi_{th}(20\text{C})$ として計算値 (FOG, EQP-3, 2群の手計算) 1.25 を得ている。

この結果は、 $0.83\%/\text{C}$ と良く一致しているので、この値を用いてデータ処理している。しかし、各サイクルの炉心配置は異っており、各サイクル毎に α の値が多少変化していることも考えられる。しかし、この変動は、今問題にしているバラツキよりも、はるかに小さいと推定される。

2) $R(x)$ (制御棒位置の補正) によるバラツキ

各サイクルにおける $R(x)$ の値を Fig. 2.6-1 ~ 6 に示す。この図を用いて、ノイズ法出力測定時の制御棒位置における $R(x)$ 値を求めるのであるが、図に示すように $R(x)$ には複雑な挙動をしており、外挿が難しい。このために外挿の精度が直接に、結果に影響を与える。#9 サイクル (Fig. 2.6-3) の $R(x)$ の挙動は、S丘-1,3 が 410mm の位置にあるときにピーク値を示している。このピークは #2 サイクル (Fig. 2.6-2) でも現われている。ピークの存在確認のために #10, #11 サイクルのデータを Fig. 2.6-4 ~ 5 に示した。これらには同様なピークが存在するが、その形は各サイクルで一様ではない。一方ピークの左側の測定値は出力上昇ステップの値であり、熱的に過渡状態にあると思われる。Table 2.6-2において #9 サイクルの熱出力 / ノイズ法出力が 1.03 と #1 サイクル、#2 サイクルの値と異なる原因はこの $R(x)$ にあると思われる。

Fig. 2.6-3 のグラフに #9 サイクルの熱出力 / ノイズ法が #2 サイクルと同じ 1.10 であったと仮定した時のカーブを破線で示した。#9 サイクルではノイズ法測定点が他のケースと異りピークの左側にあり、この部分の測定点が熱的な過渡状態にあることを考慮すると説明のつく程度の誤差である。

#12 サイクルは第Ⅱ期炉心であり、炉心が #1 ~ 11 サイクルとは大巾に変更されており、Fig. 2.6-6 に示すように $R(x)$ の挙動は多少異っている。

3) ノイズ法出力測定の問題点

第1期炉心と第2期炉心の違いは、1点モデルの原子炉の伝達関数(G_R)の項で次のように考慮している。

$$|G_R|^2 = \frac{1}{\beta^2} \cdot \frac{1}{1 + \left(\frac{2\pi f_0}{\alpha_0}\right)^2}$$

	β	α_0	$ G_R ^2$	
第1期炉心	0.0073	8.0	1.71×10^4	$f_0 = 4 \text{ Hz}$
第2期	0.0076	1.05	1.64×10^4	

Table 2.6-2において#12サイクルの熱出力-ノイズ法出力比が大きくなっている原因として、上表の動特性パラメータの妥当性を検討する必要がある。また#1～#11サイクルの第1期炉心についても上表の値を一律に用いているので、各サイクル間のバラツキの原因となる可能性も考えられる。これらのパラメータによるバラツキの巾は、5%程度である。

2.6.5 結論

熱出力-ノイズ法出力(G factor補正後)比は、本来は1.0であるべきものである。現在までの測定での比Rは、G factor未補正で

$$R = 1.15 \pm 0.12$$

である。

第2期炉心(第12サイクル)の熱出力-ノイズ法出力比が、大き目の値になっているが、第1期炉心の結果のバラツキから考えると有意な差であるとは、断定は出来ない。G factorの評価作業のほかに、Rがばらついた値を示す原因を今後測定を重ねて究明して行く必要があると考える。

(寺田)

2.7 FOIL積分法(ノイズ法との比較を含む)

JMTRCの出力評価は、炉雑音法によって行なわれている。この測定結果はそのままJMTR定格出力における算出の基準となるので、きわめて重要である。したがって測定結果の妥当性を独立な他の方法でチェックすることとし、各サイクル先行試験で実施されている放射化法による相対出力分布測定結果を利用し、いわゆるFOIL積分法による出力をみちびいている。

FOIL積分法における問題点は次の二点であろう。

1) 測定点が一燃料要素あたり一点（中央）であるので、局部的な出力分布の変化はカバーできない。^{*}

2) 現手法では F O I L の放射化断面積と、燃料である ²³⁵U の核分裂断面積との値を 2200 m/s の熱中性子に対する値で処理しているので、比較的スペクトルの硬い燃料領域での核分裂の評価が正確に行なわれない。

しかしながら各サイクルチェックという命題に対しては、炉心体系が大巾にかわることはないので、その出力分布の変動もあまり大きくはない（むしろ、そのように試料配置が考慮されるのであるが）。したがって上に述べた事柄に起因する誤差は、系統的なものとして処理できる。すなわち炉雜音法による測定結果と F O I L 構分法による測定結果が一定の比を保てば、出力測定に問題ないということがいえるわけである。

これまでの測定によれば（Table 2.7-1 参照），炉雜音法による出力 P_N と、F O I L 構分法による出力 P_F との関連は常に $P_N/P_F < 1$ ($= 0.9 \pm 20\%$ 程度) である。炉雜音法、F O I L 構分法ともにその測定誤差（主として再現性）が 5 ~ 10% 程度であって両者の比は、これら誤差を考慮した場合に、まず妥当と思われる範囲でバラついている。

発熱量 Q_{CF} は放射化法によって測定しているため、放射化量の絶対測定に誤りがある場合、F O I L 構分法による出力によって出力あたりの発熱量を評価した場合は、絶対測定の誤りが相殺されて、かなり正確な評価を与えるが、これも一つのバックアップとみてよいであろう。

F O I L 構分法による出力 P は下式によって算出されている。

$$P = E_f \cdot (1 + \epsilon) \cdot \frac{n_{Au} \left(1 - \frac{1}{R_{Cd}} \right)}{N_{Au} \left(1 - e^{-\lambda t_i} \right)} \cdot \frac{\sigma_f}{\sigma_{Au}} \cdot C \cdot \sum P_i$$

ここで

P : F O I L 構分法による出力

E_f : 核分裂あたりの出力換算係数 ($= 3.2 \times 10^{-11} \text{ W} \cdot \text{s}/\text{Fission}$)

ϵ : 热外中性子による核分裂の割合

n_{Au} : 標準点の金箔絶対崩壊率 (dps)

R_{Cd} : 標準点の金箔のカドミウム比

N_{Au} : 金箔の原子数

λ_{Au} : ¹⁹⁸Au の崩壊定数 ($= 0.01072 \text{ hr}^{-1}$)

t_i : 出力測定のための J M T R O 運転時間 (hr)

σ_f : ²³⁵U の核分裂断面積 ($= 577.1 \times 10^{-24} \text{ cm}^2$)

* 現在では、要素内の詳細出力分布の測定データが蓄積されているので、要素内一点の測定値と要素平均値との関連はかなり明確となっている。しかしながら当初からの炉雜音法との比較が、要素内中央の一点での軸方向分布を考慮した構分値をもってその要素の出力代表値とする方法によっているので、手法を一貫するため現在においてもこの方法を用いている。そして参考値として詳細分布を考慮した値を同時にみちびいている。

σ_{Au} : ^{197}Au 放射化断面積 ($= 9.88 \times 10^{-24} \text{ cm}^2$)

C: 相対出力と核分裂数との換算係数

P_i : i番目の燃料要素の相対出力

である。*

フォイル法出力について第2表(巻末)にデータがないサイクルは相対出力分布測定が行なわれなかったため F O I L 積分法による出力算出が実施できなかったものである。また #11 サイクルのデータがないのは、試料装荷状況が #10 サイクルとほとんど変りなかったため出力分布測定を省略したためである。

* 上式について、それぞれ

$$\frac{n_{Au} \left(1 - \frac{1}{R_{Cd}} \right)}{N_{Au} \left(1 - e^{-\lambda_{Au} t_i} \right)} \doteq \int_0^{Cd} \sigma_{Au}(E) \phi_0(E) dE$$

$$\frac{\sigma_f}{\sigma_{Au}} \doteq \frac{\int_0^{Cd} \sigma_f(E) \phi_0(E) dE}{\int_0^{Cd} \sigma_{Au}(E) \phi_0(E) dE}$$

$$C \cdot \sum P_i \doteq \int_r N(r) f(r) dr$$

$$\phi_0(E) \cdot f(r) \doteq \phi(E \cdot r)$$

の関係をあてはめれば、出力をあらわす関係式

$$P = E_f (1+z) \int_r \int_0^{Cd} N(r) \sigma_f(E) \phi(E \cdot r) dr$$

$$= E_f \int_r^\infty N(r) \cdot \sigma_f(E) \cdot \phi(E \cdot r) dr$$

がみちびかれる。 $\phi_0(E)$ は標準点での中性子束、 $f(r)$ は中性子束の空間分布の相対値、 $N(r)$ は ^{235}U の単位体積あたりの原子数、 E 、 r 、はそれぞれエネルギーと空間を示すインデックスである。

Table 2.7 - I. ノイズ法, フォイル法出力一覧

S.46. 10. 4

Date	サイクル	ノイズ法出力 P_N			Foil法出力 P_F	P_N/P_F ・出力比 η		
		旧 P_{N1}	補正 P_{N2}	新解析 P_{N3}		旧ノイズ法	補正ノイズ法	新ノイズ法
S.46	14	—	—	9.34	10.2	—	—	0.92
	13	—	—	8.46	9.29	—	—	0.91
	12	—	—	8.00	8.4	—	—	0.95
	826 (12-前)	7.38	—	7.38	8.71	0.847	—	0.847
	6.30 11	8.59*	—	5.55	—	—	—	—
	6.22 10-2	8.38*	5.98	5.42	6.23	1.35*	0.960	0.870
	5.13 (10-1)	8.72*	5.87	5.64	6.42	1.36*	0.914	0.879
	3.4 9	9.4*	6.56	—	8.28	1.14*	0.792	—
	1.19 8	10.5*	6.45	—	7.57	1.39*	0.852	—
	1.223 II-後	7.53	7.34	—	10.3	0.731	0.713	—
S.45	1.215 II-前	8.37	8.21	—	10.8	0.775	0.760	—
	1.118 7	9.57*	7.14	—	7.54	1.270*	0.947	—
	1.021 6	9.49*	6.53	—	7.55	1.26*	0.865	—
	8.21 5	11.1**	—	—	9.33	1.19**	—	—
	9.12 4	5.22**	—	—	—	—	—	—
	1.213 (3')	5.36	—	—	5.65	0.949	—	—
	1.223 (3')	2.82	—	—	3.51	0.803	—	—
	S.44 4.24 3	3.71	—	—	4.09	0.907	—	—

注) #iley の Foil 法出力 (—) は、正式な値ではなく、参考程度である。

ノイズ法出力

旧 P_{N1} Q_{CF} 算出に用いた値で、*印は、S.45. 9. 9以降、解析器の特性が変化したにもかかわらず (v^2 回路の故障)，もとの特性を使用して計算した数値。**は、 v^2 特性をアナコン解析によった。

補正 P_{N2} 解析器の特性として， $\int |G_F|^2 df$ に S.46. 6.0, v^2 特性に S.45. 9 の測定値を入れて計算した値である。

新解析 P_{N3} 新ノイズ解析器による測定値

Foil 法出力 中性子積分法によって求めた。# 5 サイクル～# 12-前までは、CF 実験メモー 224 によった。

出力比 η ノイズ法と Foil 法の炉出力比

3. 発熱量推定技術に関する検討

試料発熱量推定技術を評価するため #3 ~ #14 サイクルのデータを一覧表にまとめた。これは第1表~第4表として巻末(§5)にまとめてある。

この§3ではこの一覧表のデータをもとにいくつかの分析を行なうこととする。

3.1 評価値の検討

各キャップセルの Q_{cal}/Q_{CF} の経緯を #3 ~ #14 サイクルにわたって示したのが Fig. 3-1* である。

Fig. 3-1 から先ず 67F-13G (4-5 サイクル), 67F-19U (7 サイクル), 67F-31G (9 サイクル) が異常に高い Q_{cal}/Q_{CF} を示すことがわかる。

このうち 67F-19U は線出力が約 30 W/cm と非常に低く、このように低い発熱量については計算の妥当性に疑問がある。炉運転上も発熱量が小さくて全く問題とはならない。

67F-31G は第1表のデータから見て明らかに Q_{CF} が異常であるがこの原因は次のように明らかとなった。当初 67F-31G の照射孔としては M-4 が予定されたが Q_{CF} が低すぎることから K-4 に変更された。この変更に伴う CF 再実験は行なわれなかったのでデータとしては M-4 での値を核計算によって補正して使用し何等トラブルは起らなかった。その後転記中に“M-4 位置”的し書が脱落したため一見測定ミスのように観測されたものである***。

67F-13G については Q_{cal} 評価に用いた核定数に係る単純ミスがあった。このミスは間もなく発見されたが第1表(巻末)には未修正**のままのものを示した。この修正を行なったデータを Fig. 3-10 に破線で示した。

67F-24G
#10 サイクルの Q_{CF} が異常である。調査の結果これは G-11 位置でのデータであり*** 修正後の値は運転計画書中の比率によって得た。これにより $Q_{cal}/Q_{CF} = 0.92$ となった修正前後の様子を Fig. 3-12 に示した。

68F-5P
#7 サイクルのデータが異常である。これも F-12 位置のデータのため修正後は $Q_{cal}/Q_{CF} = 0.88$ となる。修正前後の様子を Fig. 3-15 に示した。

上記の評価ミスを修正したものを Fig. 3-2 に示した。以後の検討はこの修正されたグラフによることにする。

* §3 ではグラフの相互比較がひんぱんとあるためこの章全体の通し番号として巻末にまとめた。

** 最終的なチェックにおいてこの値は既に修正済のものであり従って 67F-13G に関するこの部分の記述はあやまりであることがわかった。

*** このように照射孔の混乱が起るのは生データからの再評価を行なったためであり、運転計画時には混乱は起っていない。

3.2 照射孔による Q_{cal}/Q_{CF} の傾向について

照射孔によって Q_{cal}/Q_{CF} の値に特定の傾向があるかどうかを見るためにまとめたのが Fig. 3-5 である。

この件については別の報告において CF と JMTR 本体との構造上の相違によって反射体領域における中性子勾配は CF の方が本体よりゆるやかなことがわかっている。このことは Q_{cal}/Q_{CF} の上では反射体 3 層目の方が反射体 2 層目より小さい値を示す（実際の中性子束密度が高いため Q_{CF} が高く求まる）傾向として現れる筈である。Fig. 3-5 では第 1, 2 行と第 1, 3 行に関してはこの傾向が現れている。第 4 行と第 3 行についても大体同様である。N 列と O 列については極端な差が見られるがこれは 0-9 位置試料の特殊性 (P_u 入り) によるものを含んでいる。これらの 3 側面に反し西側面の E 列と D 列では逆の傾向のキャップセル 2 本（延べ 4 本）が見られる。しかし全体としては前記の傾向を否定する程のものではない。従って全体的には CF 模擬性の効果は Q_{cal}/Q_{CF} としてこの図に現れていると言つてよい。そのほかには定常的に一定の傾向（高 or 低）を示す照射孔として特定されるものではなく、各キャップセル（NM を含めて）の特性による効果の方が優勢である。

3.3 キャップセルによる傾向

第 1 表（巻末）の内容をキャップセル別にまとめたものが第 4 表（巻末）である。

第 4 表および Fig. 3-2 において見られる一般的な傾向としては、何サイクルかで直って照射されるキャップセルはそのキャップセルによってほぼ一定の傾向 (Q_{cal}/Q_{CF} について) を示すことがあげられる。

この原因として先ず考えられることは

- (1) N, M の精度不良のためそのキャップセルが常にどちらかにかたよった Q_{CF} を与える。
 - (2) 計算のモデル化が適当でないためそのキャップセルの Q_{cal} がかたよった値を与える。
- のいずれかであるが現在の段階ではそのいずれであるかは結論出来ない。

その他に考えられる種々の効果 (B_4C 模擬の効果, P_{CF} 測定精度の効果 etc.) については別に検討してあるが、これらの諸効果を除いても上記(1)または(2)の効果は明瞭に一定の傾向として見られ計算方法および中性子束密度測定方法そのものの精度（偏差）はかなり良いことを暗示している。

3.4 CF 炉出力 (P_{CF}) 測定法について

当初 Q_{CF} と Q_{cal} または実際の発熱量との相違の最も大きい原因として CF と本体との炉出力測定法（ノイズ法と熱収支法）の間の関係に疑問が持たれた。

このため両者の間の換算係数を求める実験も CF および本体を用いて実施された。

今回のこの比較検討では、(1)ノイズ法よりもフォイル積分法（中性子束積分法）の方が熱収支法による出力との比較に適しているのではないか、(2)ノイズ法はこの用途に妥当であったかという点の検討を行なった。一方フォイル積分法の問題点は測定すべき放射化箔の数が多いこ

とと先行試験の1部として現実性のあるフォイル数で十分な測定精度が得られるかどうかと言う点にあった。

Fig. 3-2 がノイズ法による Q_{CF} を用いた Q_{cal}/Q_{CF} , Fig. 3-3 がフォイル法による Q_{CF} を用いた Q_{cal}/Q_{CF} である。この両者を比較すればノイズ法による炉出力が安定していないと言うことが出来る。しかし #3 ~ #6 サイクルは旧型のノイズ解析器 #7 ~ #9 サイクルは補正した旧解析器, #10 サイクル以降は新しい解析器によるものである。

各サイクルにおける炉出力測定法間の比較は Table 2.7-1 で見ることができる。またこれをもとに各測定法のフォイル法に対する比をサイクル順にプロットしたものが Fig. 3-4 である。Fig. 3-4において #3 サイクルのノイズ法出力は Table 2.7-1 に従って 3.71 W としてある。一方巻末の第 2 表ではノイズ法出力は 7.4 W と報告されているがこれを採用した場合を破線で示してある。

Fig. 3-4 から見る限り炉出力を 3.71 W とするのが(1)ノイズ法出力/フォイル法出力が~0.9 となり他の例と一致する, (2)旧解析器は #3 ~ #5 サイクル迄正常で #6 サイクル以降狂ったと考えると説明しやすい、の 2 点から妥当のようである。

しかし第 2 表において炉出力を 3.71 W と修正すると次のように矛盾を生じてくる。

Case 1 (現状) : ノイズ法出力 = 7.4 W, フォイル法出力 = 4.09 W の場合 —— Fig. 3-4 点線に示すように他のデータと大巾に食いちがい、特に $(\text{ノイズ法出力}/\text{フォイル法出力}) = 0.7 \sim 0.9$ の値と全く一致しない。

Case 2 : ノイズ法出力 = 3.71 W で従来の Q_{CF} は低すぎるとした場合 —— Fig. 3-4 の説明はよくつきり~0.9 となるが一方 Fig. 3-9 で 67F-5G キャブセルの発熱が #3 サイクルだけ約 2 倍となって説明がつかないし Fig. 3-2 の Q_{cal}/Q_{CF} のグラフでも #3 サイクルだけ低すぎる値 (それぞれ 0.49, 0.51, 0.55, 0.49) となってしまう。

Case 3 : ノイズ法出力 = 3.71 W で, Q_{CF} は正しい場合 —— Q_{CF} (フォイル法) が約 1/2 に小さくなつて Q_{cal}/Q_{CF} (フォイル) = 0.96 ~ 1.14 となり他のサイクルとの一貫性 (Fig. 3-3) が失なわれる。

Case 4 : 放射化箱の計測ミス (factor 2) があり、ノイズ法出力 = 7.4 W, フォイル法出力 = 8.18 W ($4.09 W \times 2$) であった場合 —— この場合 Q_{CF} (ノイズ法) は変わらないが Q_{CF} (フォイル法) が約 2 倍となり Case 3. と同じ矛盾が生ずる。

以上のことから炉出力 3.71 W と 7.4 W については factor 2 の単純ミスでは説明がつかない。また Q_{cal} についても Fig. 3-9 から見て大きさがあまりはないので現時点での判定は困難である。

Fig. 3-2 ~ 4 から見る所では大略次のようなことが結論できる。

- (1) 旧解析器は不安定であった。この事はこの解析器の部品が焼損して以来電源部に由来すると思われる不安定を示したことと符合している。
- (2) 補正した旧解析器のデータは Fig. 3-2 からも Fig. 3-4 からも妥当であると言える。

* 同様にいずれの Case においても P_{CF} の変化量が factor ~ 2 であるため、現状の Q_{CF} が誤りとするのは説明がつかなくなる。したがって今後 Q_{CF} が約 2 倍に増える Case は考えないことにする。

この補正は解析器の基本的特性にまで立戻った補正を行なっている。補正是相当の日時をさかのぼったものであるにもかかわらず、良い結果を与えており、当初の目的通り新ノイズ法のデータと同等に扱って差しつかえないことがわかる。ただし、補正ノイズ法が旧ノイズ法より安定していると言う事は出来ない。また#6サイクルのデータが低すぎるとして不採用にしたのは適当ではなかった。

一方 Fig.3-4において補正した値が一応安定して妥当な値を示すことはこの時期には旧解析器の動作も安定していたことを示す。このことは Fig.3-2においても#6サイクル以降安定しているように観察される。

(3) 新解析器の動作は安定しており、そのデータは補正した旧解析器のものとよく一致する。またその傾向はフォイル法によるものとも一致する。#13サイクルのデータがばらついているのは評価手法の確立していないGd入り試料であるためである。Fig.3-2で#14サイクルの Q_{cal}/Q_{CF} が~1.0附近に移動しているのは別の点に関する発熱量推定法の改良があったためである。

新ノイズ法は絶対値でもフォイル法と10%程度で一致しており (Fig.3-4) 相当に真に近い値を与えているものと期待される。

(4) フォイル法による P_{CF} 測定法は安定している。Fig.3-3はフォイル法を基準とした Q_{cal}/Q_{CF} であるが、この図で Q_{cal}/Q_{CF} はほぼ安定し特に#3～#7サイクルの B_4C 模擬の効果 (B_4C は Q_{CF} を高く見積る) もかなりはっきり観察される。

以上述べてきたことから新解析器は安定であり、安定に動作する解析器は妥当なデータを与えるので今後の P_{CF} 測定には毎サイクルの先行試験としては作業量の多すぎるフォイル法よりは新解析器を用いたノイズ法によるのが妥当であると結論される。

3.5 B_4C 模擬について

B_4C で模擬したキャップセルは#3～#7サイクルに多く、その後は殆んど B_4C 模擬は行なっていない。その理由はさきにも述べたように B_4C 模擬では Q_{CF} を高く見つもり特に高濃縮度では模擬不能であることがわかったからである。しかし Fig.3-2では Q_{CF} を高く見つもるこの傾向は#3～#7サイクルの B_4C 模擬9キャップセルのうち7キャップセルについて明確には現れては居らず別の効果があることを示している。

#8サイクル以降の B_4C 模擬キャップセルは 67F-3G, 67F-4G, 67F-8G の 3 本のみで、この場合 Q_{cal}/Q_{CF} は他のものとほぼ一致した。その理由は試料がすべて Nat. UO_2 でピン径も 10φ または 15φ であってこれらについては本物との比較データによる補正が可能であったためである。

3.6 ウラン濃縮度と Q_{cal}/Q_{CF} について

ウラン濃縮度 (ER) および Pu 富化度と Q_{cal}/Q_{CF} の関係を示したのが Fig.3-6 である。

この図から見ると Nat. U については大略 1.0 を中心に分布し、濃縮度が増すにつれて Q_{cal}/Q_{CF} が減少しているのが判る。この場合 ER 10% の試料はすべてループ試料で通常のキャップセルではないので一応除外して考えている。

Pu 入試料についても Nat U より低い Q_{cal}/Q_{CF} となり、富化度が高いものは更に低い Q_{cal}/Q_{CF} を示す傾向が予想される。

濃縮度に対する Q_{cal}/Q_{CF} の分布は Table 3.6-1 のようである。

Table 3.6-1 濃縮度と Q_{cal}/Q_{CF} との関連

ER	Q_{cal}/Q_{CF}			
	max	min	平均	標準偏差 (σ)
Nat	1.43	0.56	0.936	0.213
-1.5%	1.16	0.50	0.802	0.157
-2.5%	0.75	0.60	0.664	0.050
-3%	—	—	0.64	—
-20%	—	—	0.55	—

3.7 Gd 入り試料について

Gd 入り燃料の特性調査のため、#5 サイクルに 1 本、#1-3 サイクルに 3 本計 4 本のキャップセルが照射された。通常、燃料試料の最大発熱はサイクル初期に現れるのに対し Gd 入り試料では Gd の燃焼について最大発熱が現れる。しかし Gd の燃焼特性が不明であったため Q_{cal} についてはサイクル初期の値を計算し、 Q_{CF} については Gd 燃焼ゼロの場合（前期）と Gd が完全に燃焼してしまったとした場合（後期）の 2 通りの評価を行なった。

67F-28G(5-6) については Gd の各アイソトープに関する核定数のとり方にミスがあったことが判明したが発熱量が小さいためそれ以上の検討は行なっていない。

70F-16G については試料が二重構造で内と外で Gd の含有量等に差があるため計算のモデル化に大きな無理があった。このような問題の少い 71F-1G, 71F-2G については大体他のキャップセルと同程度の Q_{cal}/Q_{CF} を示している。

3.8 Pu 入り試料について

Pu 入り試料については試料内中性子束分布についてのデータが未だ不十分である。データ収集のためのいわゆる“横孔ピン実験”が実施されたが、試料の特殊性から富化度・濃縮度・ピン径等について余り多くの組合せを作ることは出来なかった。

一方 Pu ではその核分裂断面積の形から中性子スペクトルのずれの効果は U の場合より大きく、これについて考慮する必要があるが各照射孔について、もしくはキャップセル径方向についての情報は不十分である。

これらのことから Pu 入り試料については U 試料に比べ精度不足が予想される。Fig. 3-2において Pu 入り試料は 68F-3G(8), 68F-4G(8), 67F-36G(10-11), 67F-25G(10-11) の 4 キャップセルであるが前 3 者は明らかに他のキャップセルより低い Q_{cal}/Q_{CF} を示している。

3.9 長期照射されるキャップセルの発熱量推移

2サイクル以上に亘って照射されるキャップセルについて各発熱量推定値(Q_{CF} , Q_{cal} , Q_{GEN})を比較することは各推定法の信頼度についての有効な指標を与えるものと期待される。

Fig.3-7~Fig.3-17にこれらの比較^{*}を行なった。

〔67F-1G〕

Fig.3-7に示すように Q_{CF} と Q_{GEN} とは大きなへたりを示す。 Q_{cal} は両者のほぼ中間的な値である。3サイクルに亘る推定値の比較から#5サイクルの Q_{CF} がミスをしている可能性が強い。各推定値の精度としてはごく大まかに±20%程度と考えられるが参考のため±10%に当る偏差を#7サイクルの Q_{CF} 値に付した。

〔67F-2G〕

Fig.3-8に示すように Q_{CF} が最も高い値を示す。#5サイクルについては3者は測定精度内で一致していると言えよう。 Q_{cal} , Q_{CF} とも増加の傾向に対して Q_{GEN} のみが減少の傾向を示している。発熱量が高くないため試料の燃焼による発熱量低下では評価されていないがこれを考慮すると発熱量は3サイクルに亘ってほぼ一定かと思われる。従って#6サイクルの Q_{CF} は評価ミスであり、#7サイクルの Q_{GEN} については例えば熱電対の劣化があったのではないかと推定される。

〔67F-5G〕

Fig.3-9に示すように Q_{CF} , Q_{cal} , Q_{GEN} はかなりよく一致している。図から見ると#4サイクルの Q_{cal} , #6サイクルの Q_{GEN} について評価ミスが予想されるがその量は小さい。

〔67F-13G〕

Fig.3-10には修正前および修正後^{**}の Q_{cal} を併記した。#5サイクルについては Q_{CF} と修正 Q_{cal} はほぼ一致しているが#4サイクルについては約15%のずれが認められる。(±20%では一致している)

〔67F-14G〕

Fig.3-11にサイクル間の変遷を示した。3者はほぼ一致しており、試料のBurn-upを考慮に入れると更に一致度は良くなる。しかしここでの熱中性子束は低いため燃焼の効果はそれ程大きくはない。

〔67F-24G〕

Fig.3-12には修正前と修正後^{***}の Q_{CF} を併記した。この図から見ると#11サイクルの Q_{cal} が評価ミスしている可能性が大きい。全般的には Q_{GEN} と Q_{CF} および Q_{cal} との相違が大きすぎる。

* Q_{GEN} は熱電対位置のサイクル最大値である。従って最大点の起動時を示す Q_{CF} , Q_{cal} と直接の比較はできない。大まかには $Q_{GEN} \times 1.1$ と比べるのが良い。

** 核定数のミスを正した再計算による。(しかし先にも述べたようにこの修正は誤りである)

*** キャップセルを変更前および後の照射孔に配置した2通りの核計算を行ない、それぞれの熱中性子束の比で補正した。

$$\text{すなわち } \left\{ \begin{array}{l} 67F-24G \cdots Q_{CF}(\text{補正}) = 747 \times \frac{295}{504} + 31 = 468 \text{W/cm} \\ 67F-31G \cdots Q_{CF}(\text{補正}) = 341 \times \frac{819(K-4)}{458(M-4)} + 7 = 618 \text{W/cm} \end{array} \right.$$

このようなキャプセルについては Burn-up 測定による検定が望まれる。 ^{137}Cs による Burn-up 測定値から概算すると(詳細検討は目下進行中)大体 280W/cm^2 となり Q_{GEN} がより真的値に近いものと思われる。

[67 F-31 G]

Fig. 3-13 には修正前と修正後の Q_{CF}^{***} を併記した。この図から判断すると 3 者の変遷は妥当であるが、 Q_{CF} の絶対値は高すぎると判断される。 ^{137}Cs による Burn-up 測定(概略値)では $\sim 310\text{W/cm}^2$ となっている。

[67 F-33 G]

Fig. 3-14 には Burn-up の効果を考慮した Q_{CF} をも示した。その理由は Q が $\sim 600\text{W/cm}^2$ とキャップセルの限界に近いので Q_{cal} についてはすでにこの効果を考慮しているからである。 Q_{CF} と Q_{cal} については #8 サイクルでやや Q_{CF} が高すぎる点はあるが大体一致している。しかし Q_{GEN} との一致は良くない。3 サイクルに亘る変遷は 3 者についてよく一致している。なお照射後試験の結果では中心熔融がみとめられ、実際の線発熱は Q_{CF} および Q_{cal} に近い 600W/cm^2 程度と評価されている。

[68 F-5 P]

Fig. 3-15 には修正前および修正後* の Q_{CF} を併記した。また Q_{GEN} については上部ピンおよび下部ピンの 2 つの値を示したが、 Q_{CF} 、 Q_{cal} は高い方の Q_{GEN} (下部ピン) と比較るべき性格のものである。

6 サイクルに亘る Q_{CF} 、 Q_{cal} 、 Q_{GEN} 3 者の変遷の様子は非常によく一致している。3 者の絶対値については Q_{CF} が最も高く、 Q_{GEN} が最も低く、 Q_{cal} がその中間と言ふ一般的な傾向を示している。

[68 F-6 P]

Fig. 3-16 に示したように Q_{CF} 、 Q_{cal} 、 Q_{GEN} 3 者の一致度は非常に悪い。このキャップセルは 68 F-5 P と類似のキャップセルで 68 F-5 P でも一致度は悪い。この 2 つのキャップセルが他に比べて特に評価のむずかしい点は見当らないが何か共通の原因が予想される。

[69 L(F)-5 P]

これは OWL-1 試料であるため、実際にループ出力として全発熱量が得られる。この全発熱量に対して CF 実験によって得られる発熱分布曲線を用いることによって実測値と考えて良い Q を得ることができる。Fig. 3-17 にはこの Q 値も併記した。

Q_{cal} はこの Q 値にかなり近く、 Q_{CF} はこれよりかなり高い。

この試料ではかなりの Burn-up が予想されるが、この Burn-up 効果を考慮に入れると Q_{CF} 、 Q_{cal} 、ループ出力による Q の 3 者のサイクル間の変化はよく一致している。

[その他のキャップセル]

以上 Fig. 3-7~17 によって Q_{CF} 、 Q_{cal} (場合により Q_{GEN} も) 間の関係を直観的に見る事が出来た。このため 1 サイクルのみ照射されたキャップセルについても類似のグラフを作成した。これが Fig. 3-18 である。この中には #14 サイクルから開始された 2 サイクル以上のキャ

$$* Q_{\text{CF}}(\text{補正}) = 718 \times \frac{255(\text{H-13})}{455(\text{F-12})} + 13 = 415\text{W/cm}^2$$

ブセルも含めてある。

このグラフで Gd 入り試料と Pu 入り試料を除いては Q_{CF} , Q_{cal} の一致度はかなり良いことがわかる。

3.10 ループ試料の発熱量比較

ループ試料についてはループ熱出力が測定可能である。ガンマ発熱 (Q_{γ}) の評価、試料内の出力分布の評価等の問題があるにしても Q_{cal} , Q_{CF} の信頼度の評定に有効である。ループ試料についての比較表を Table 3.10-1 に示す。

Table 3.10-1 ループ試料の発熱量

試 料	サイクル	C F 実験値	計 算 値	ループ出力
OWL-1 特性試験	4	194 kW + γ	161 kW + γ	147 kW (=122 kW × $\frac{30 \text{MW}}{24.8 \text{MW}}$)
69 L-5 P	12	total 1077 W/cm	— 703 W/cm	737 kW 672 W/cm
同 上	13	total 104 kW + γ 1088(N), 1142(S)	— 743 W/cm	70 kW 660 W/cm
71 LF-9 J	14	total #10ピン 514 kW 5.72	553 544	410 kW —

注 分母は特定ピンの最大線出力 (W/cm)

この Table から計算のモデル化がむずかしいループ試料についても計算値の方が測定値に近い傾向にある。

試料内の出力分布は C F 実験で、全発熱量は核計算でと言うように長短相補なり方策も一つの方法である。

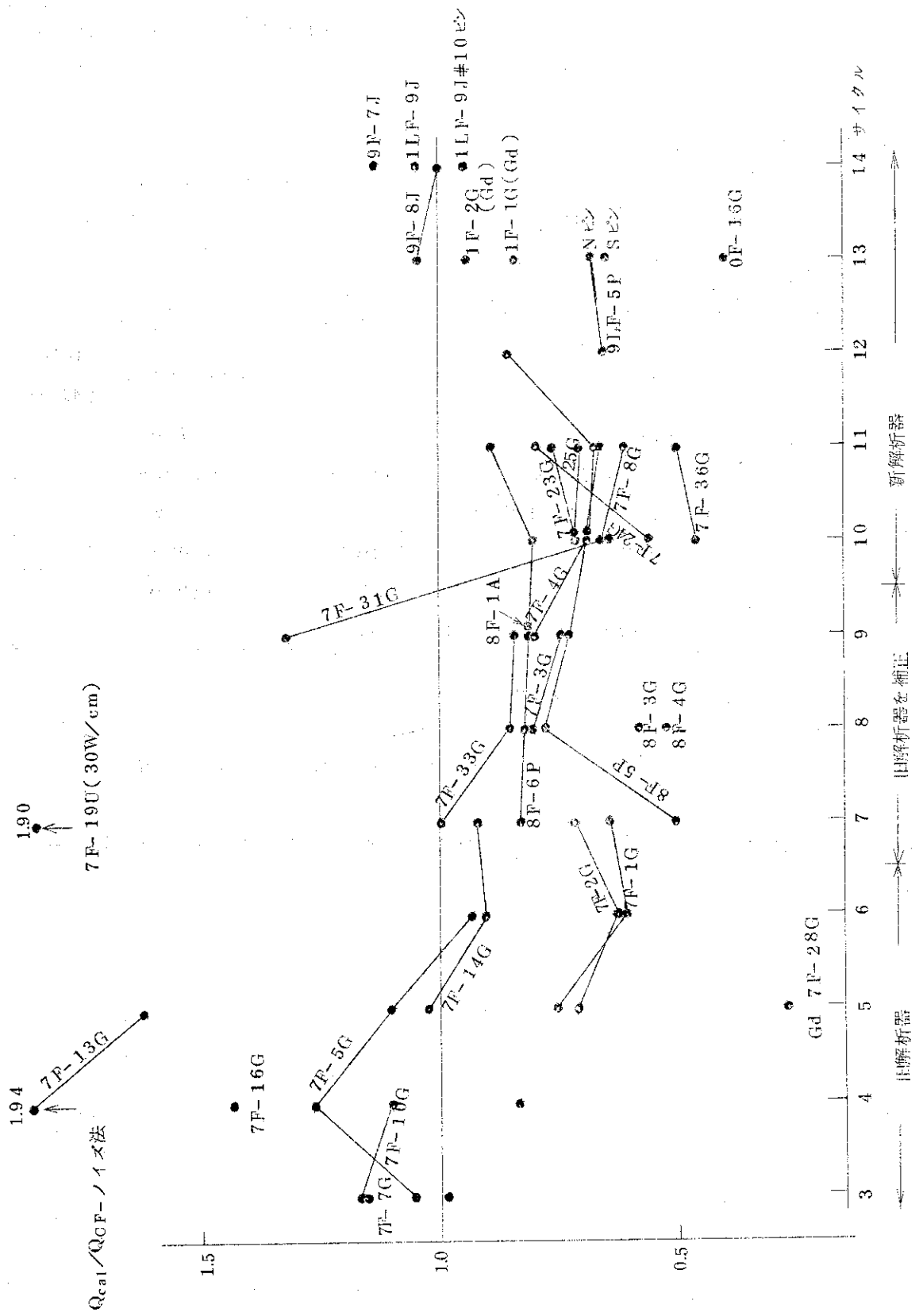
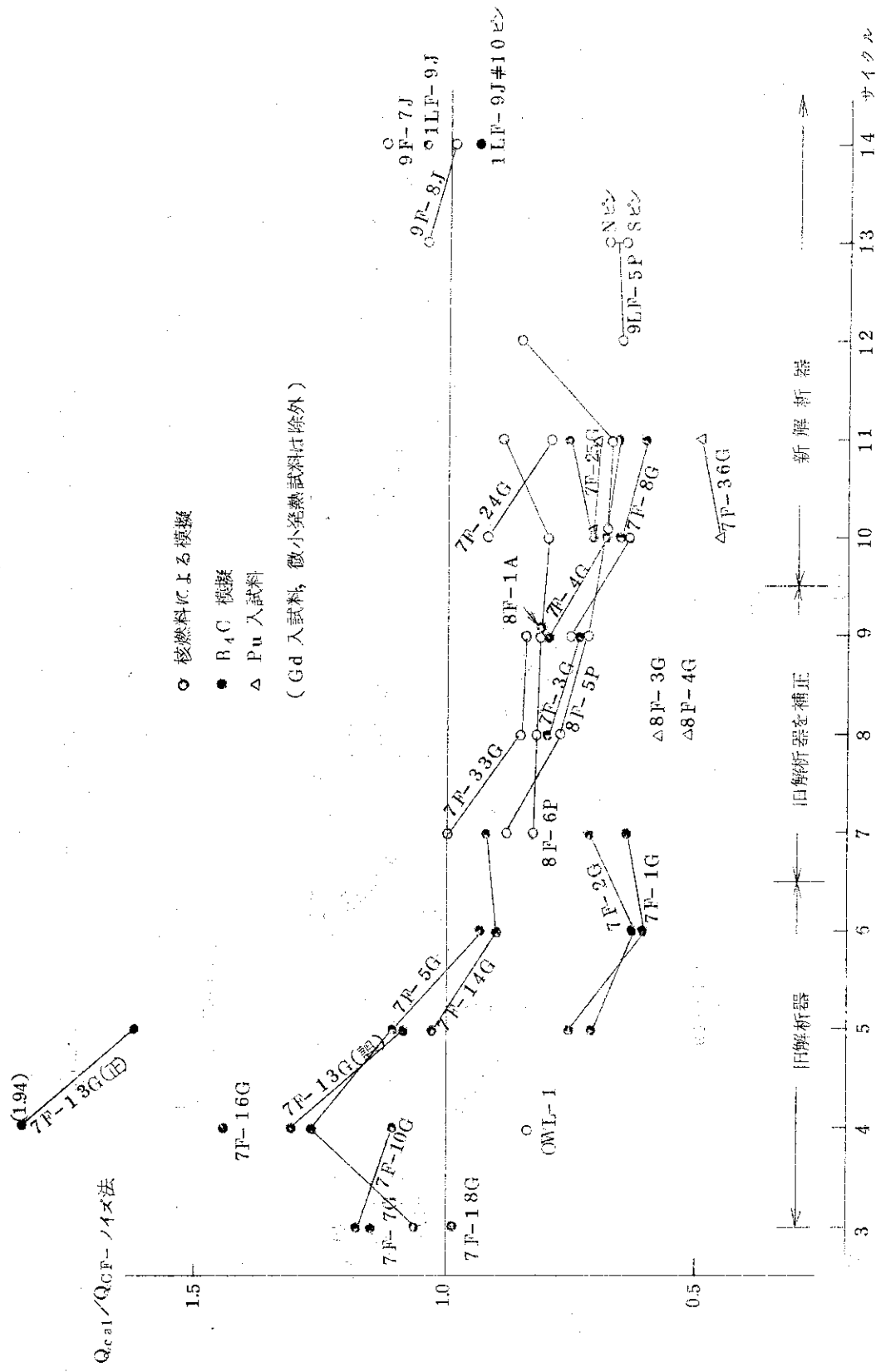
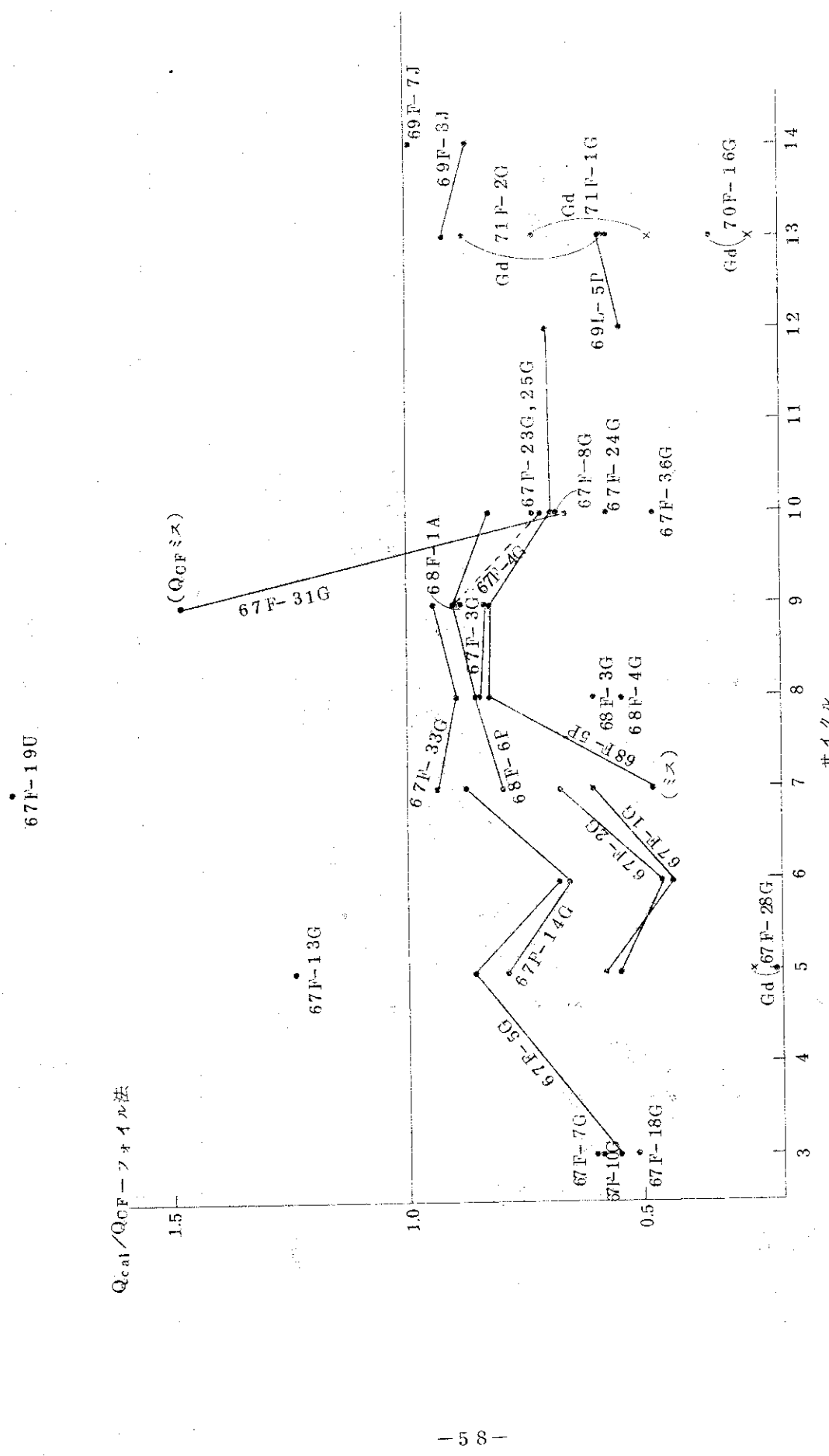
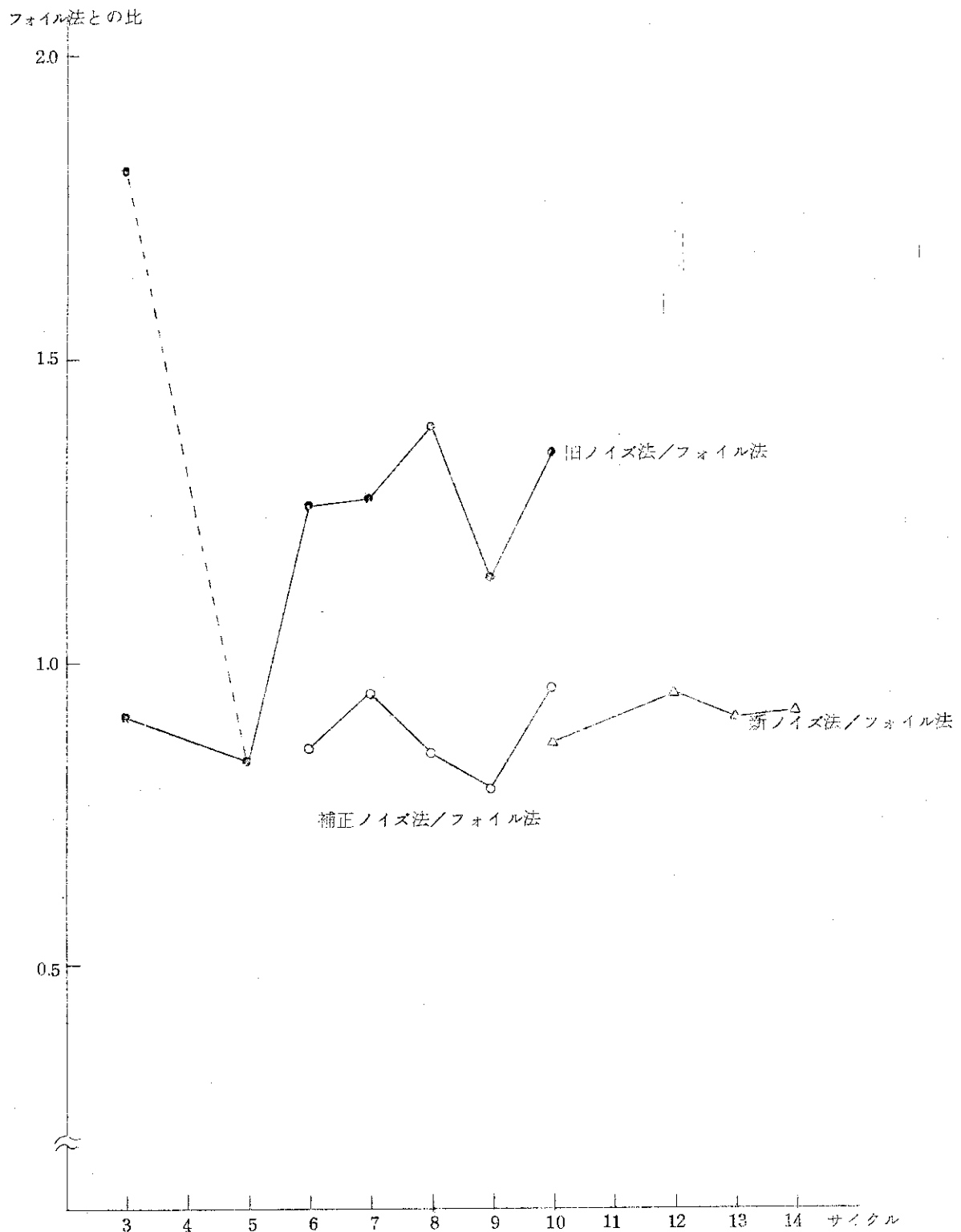


Fig. 3-1 各キャラクターの Q_{ca} / Q_{CFQ} の変遷(修正前)

Fig. 3-2 各キャプチャ ν $Q_{\text{cal}} / Q_{\text{CF}}$ の変遷（修正後）

Fig. 3-3 フission 波在基準とした各ギヤズル $Q_{\text{cal}}/Q_{\text{CF}}$ (修正前)

Fig. 3-4 炉出力 (P_{CF})測定法の評価(フォイル法との比)

	B	C	D	E	F	G	H	I	J	K	L	M	N	O	P	Q	
1																	
2									(0.75(3)) 0.60(6) 0.64(7) 0.52(8)								
3					{0.80(8)} 0.74(9) 0.66(11)	{0.80(8)} 0.67(10) 0.66(11)	{0.71(10)} 0.70(11)			{0.74(8)} 0.64(10)		1.04(14) OWL-2					
4																	
5									(1.30(4)) 1.08(5)			{0.66(10)} 0.61(11)					
6			OWL-1 0.83(4) 0.65(12) 0.67(13)		SA-1			SR-1									
7																	
8						SH-1		SH-2		SH-3							
9				{1.04(13)} 1.00(14)								0.98(3) 1.43(4) 0.50(11) 0.58(8)	{0.46(10)} 0.50(11)	Pu			
10				{0.99(7)} 0.85(8) 0.84(9)				SR-2			SA-2						
11			Pu 1.16(3) 1.10(4) 0.71(10) 0.76(11)														
12				1.13(14)		{0.92(10)} 0.79(11)	{1.05(3)} 1.26(4) 1.10(5) 0.93(6)		1.15(3)			{0.83(7)} 0.82(8) 0.81(9) 0.80(10) 0.87(11)					
13							{0.78(8)} 0.73(9) 0.68(10) 0.67(11)			{0.71(7)} 0.62(6) 0.71(7)							
14																	

(注) Gd 入り試料, 微発熱試料は除外した。

Pu 印はPu入試料

{で結んだものは連続照射のキャップセルである。

Fig 3-5 照射孔別の Qcal/Qcf

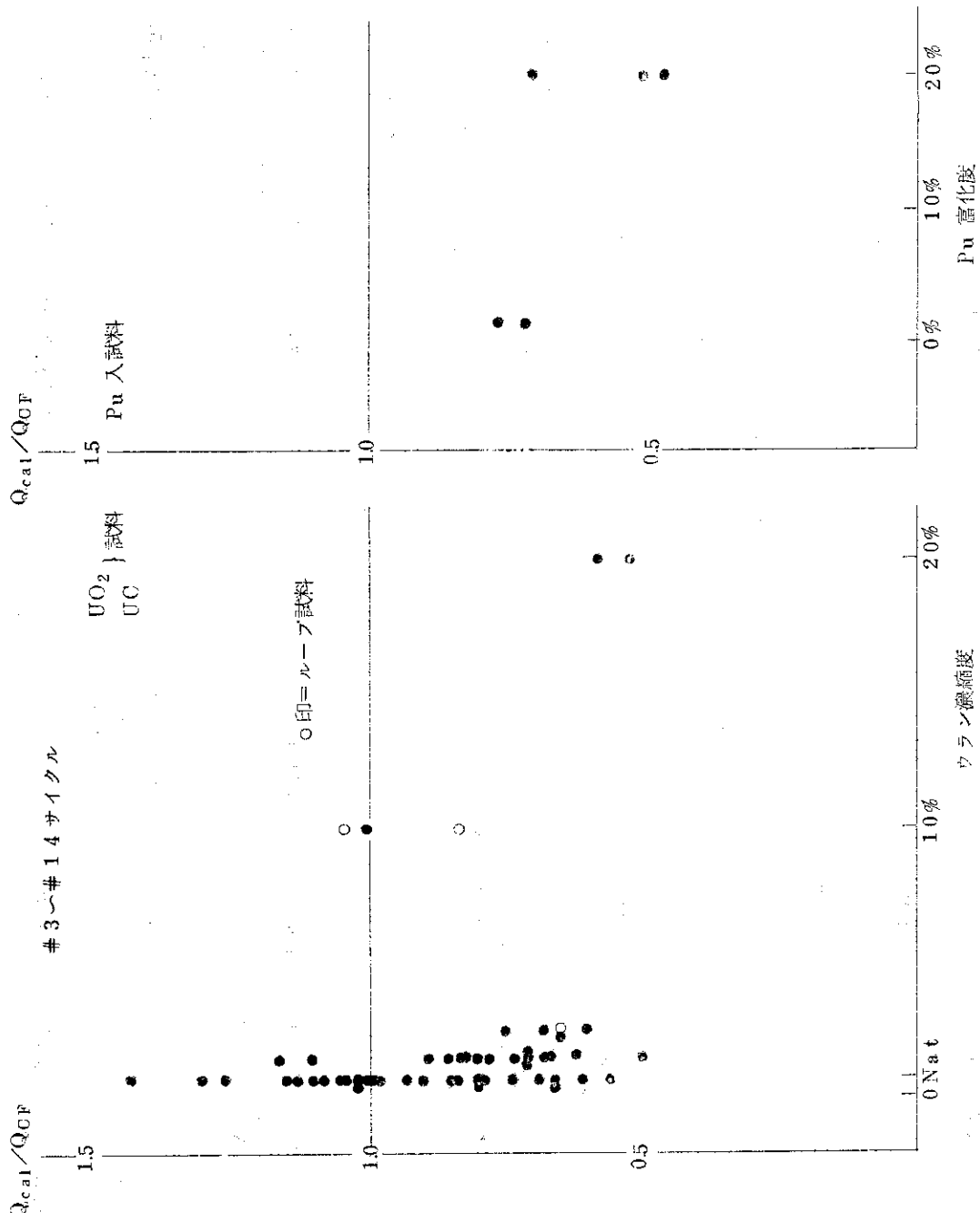
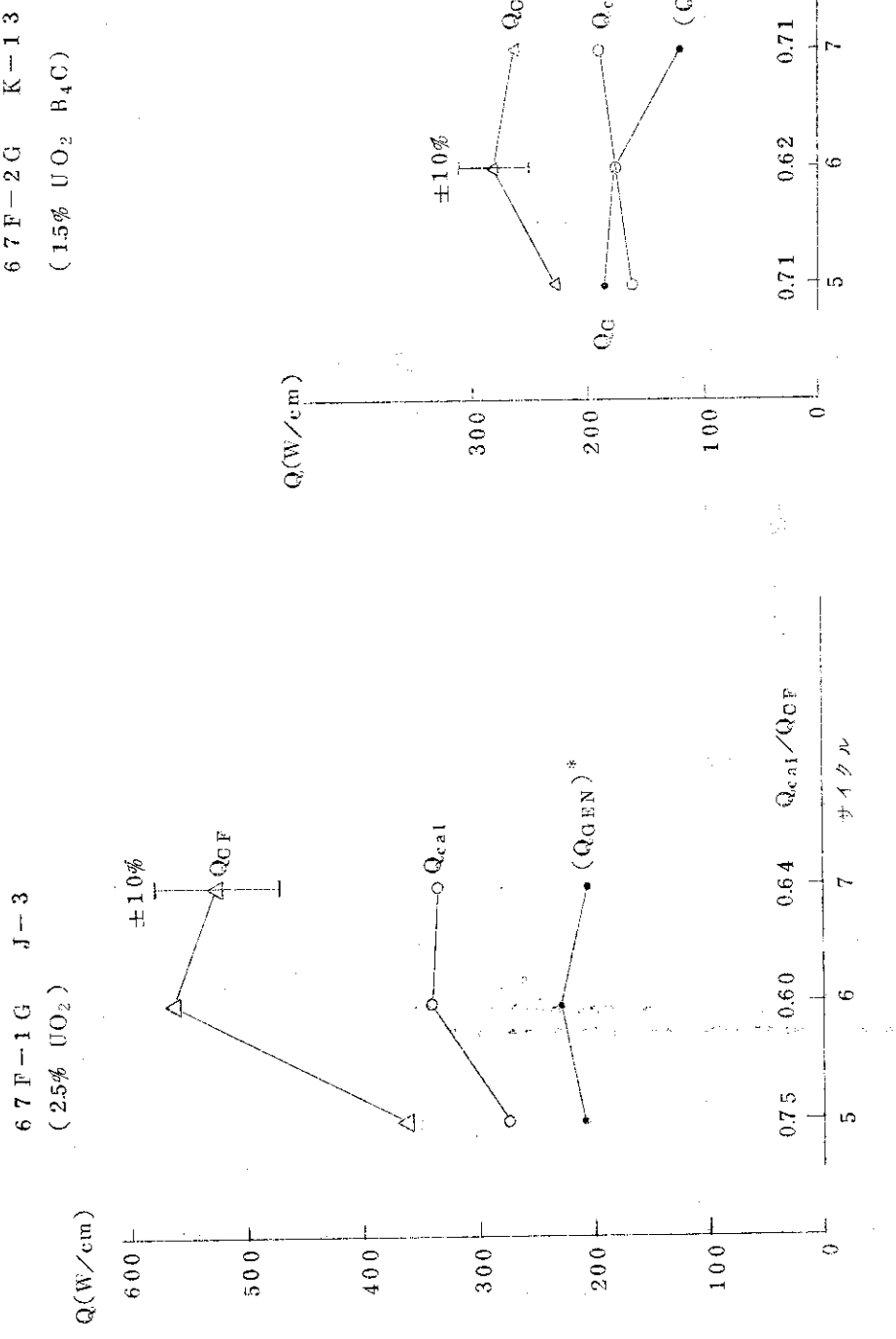


Fig. 3-6 濃縮度・富化度と $Q_{cat}/(Q_{CF} \cdot t)$ 関連

Fig. 3-7 $6.7 \text{ F} - 1 \text{ G}$ の経過

*本文 p 53 の脚注をみよ

Fig. 3-8 $6.7 \text{ F} - 2 \text{ G}$ の経過

*本文 p 53 の脚注をみよ

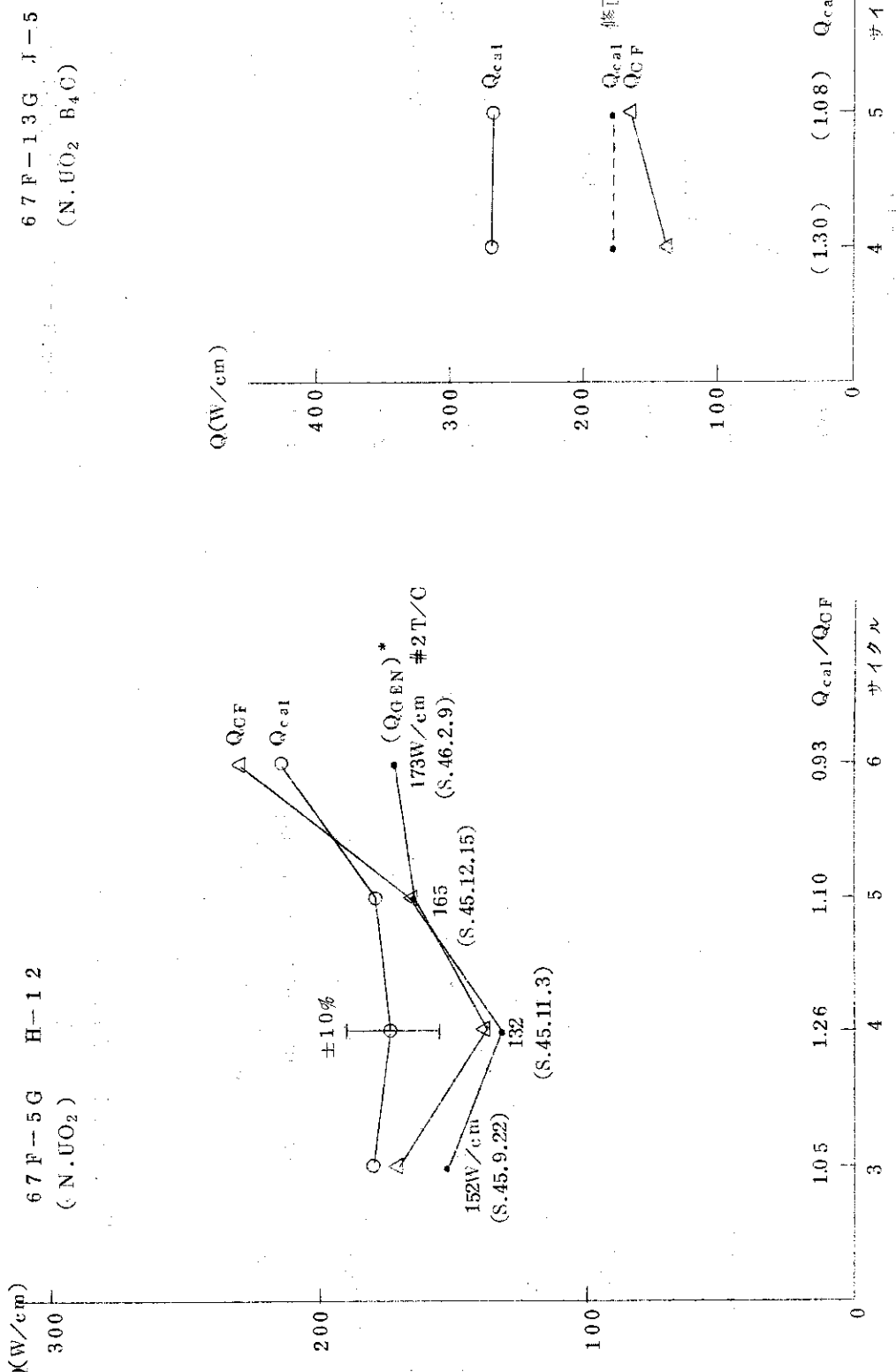
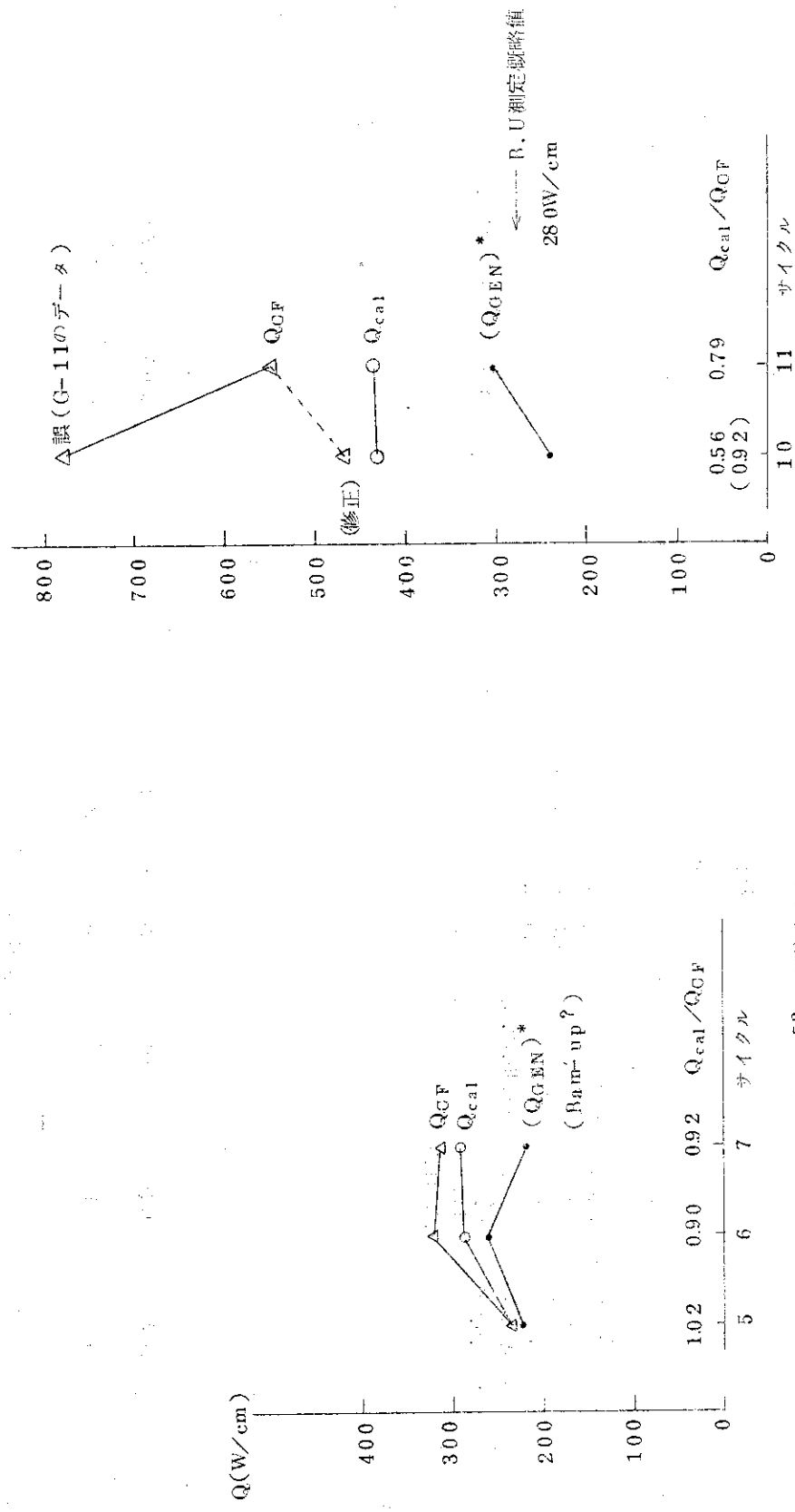


Fig. 3-9 67F-5G の経過

Fig. 3-10 67F-13G の経過

*本文 p 53 の脚注をみよ

67 F-14 G J-12
(N, UO₂, B₄C)



*本文 p 53 の脚注をみよ

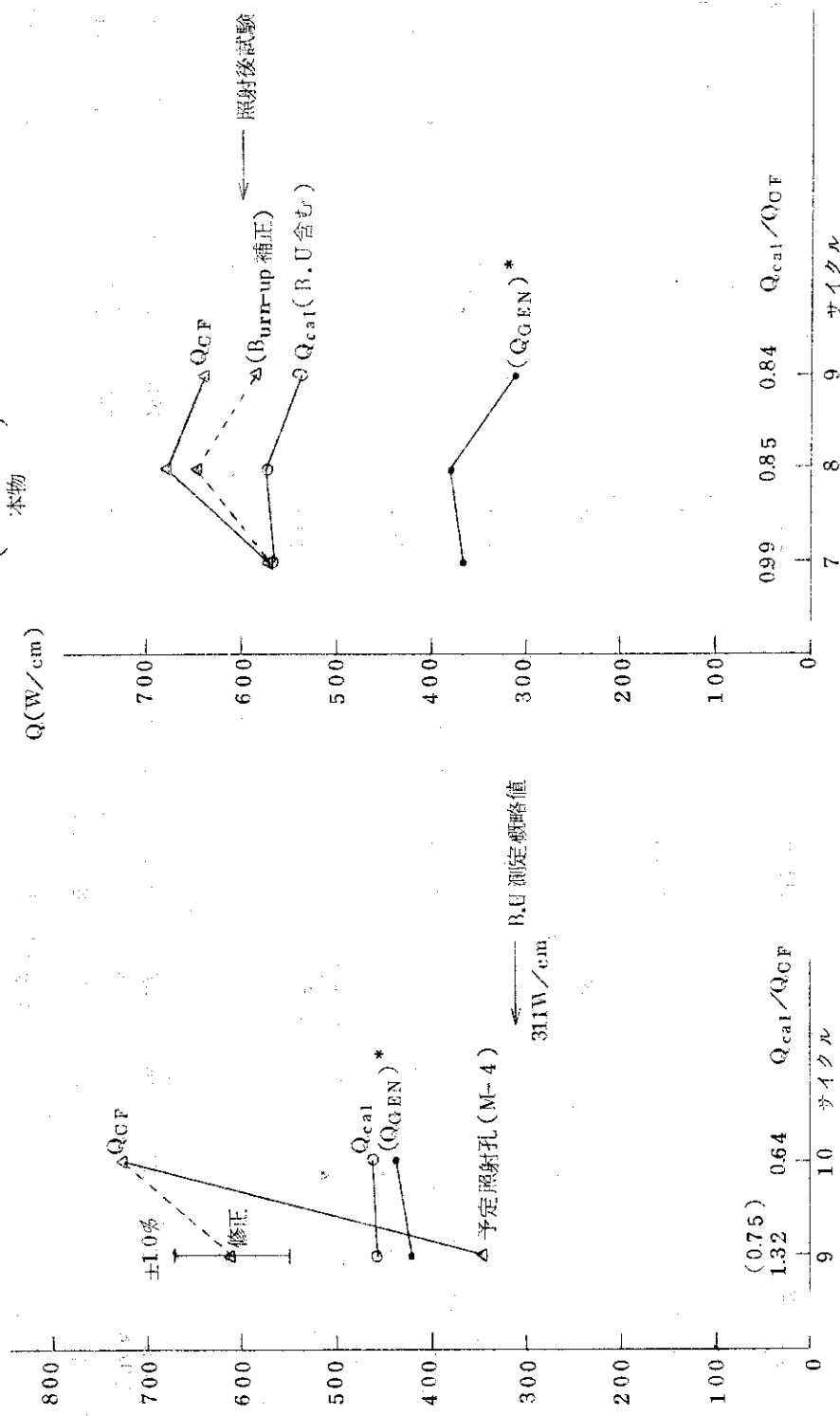
Fig. 3-12 67 F-14 G J-12 の経過

*本文 p 53 の脚注をみよ

Fig. 3-12 67 F-14 G J-12 の経過

6.7 F-3.1 G K-4
(2.5% UO₂)

6.7 F-3.3 G E-1.0
(N · UO₂)
本物



*本文 p 53 脚注をみよ

Fig. 3-13 6.7 F-3.1 G の経過

Fig. 3-14 6.7 F-3.3 G の経過

*本文 p 53 の脚注をみよ

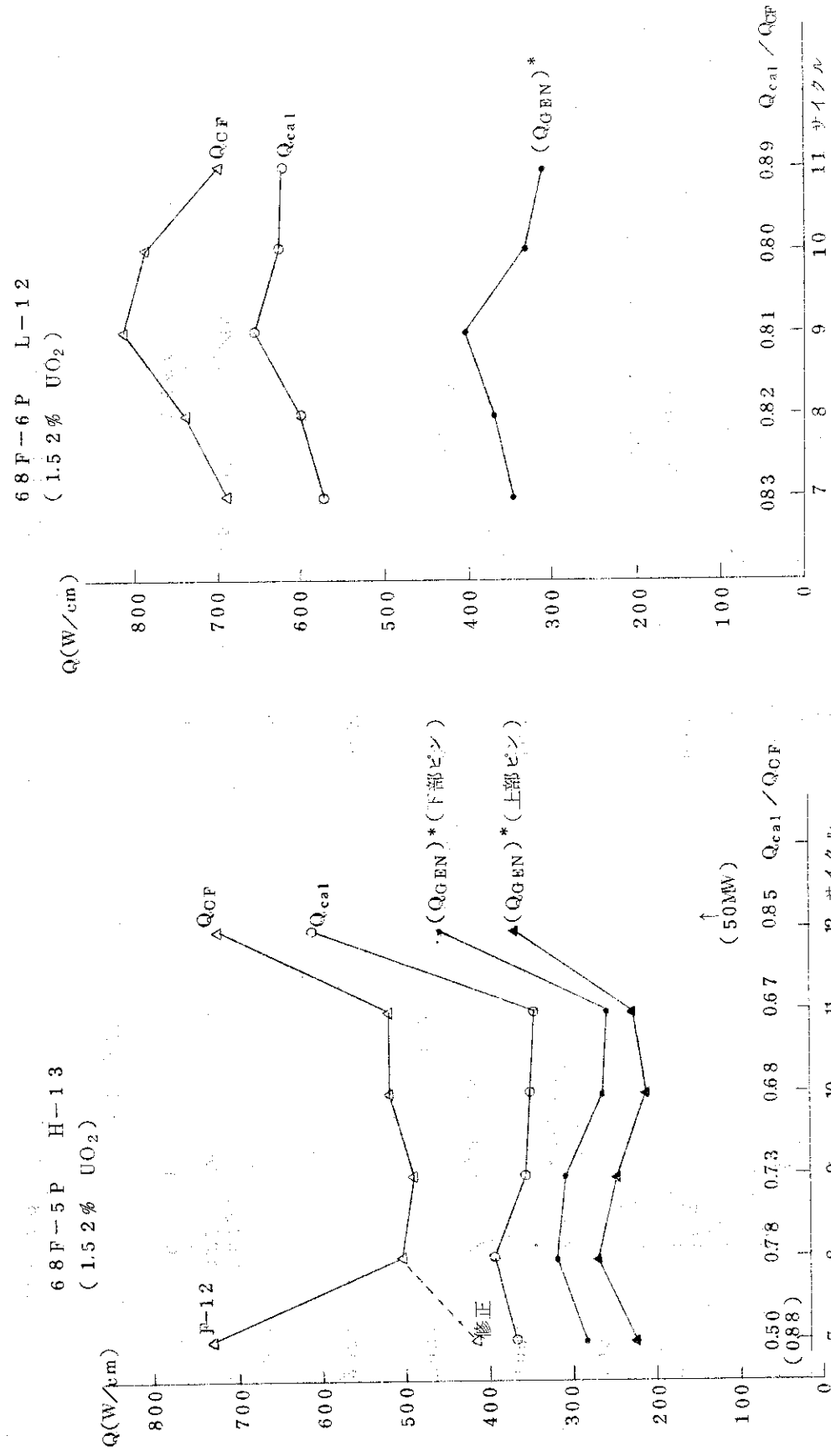


Fig. 3-15 6.8 F-5 P の経過

*本文 p 53 の脚注を参照

Fig. 3-16 6.8 F-6 P の経過

*本文 p 53 の脚注を参照

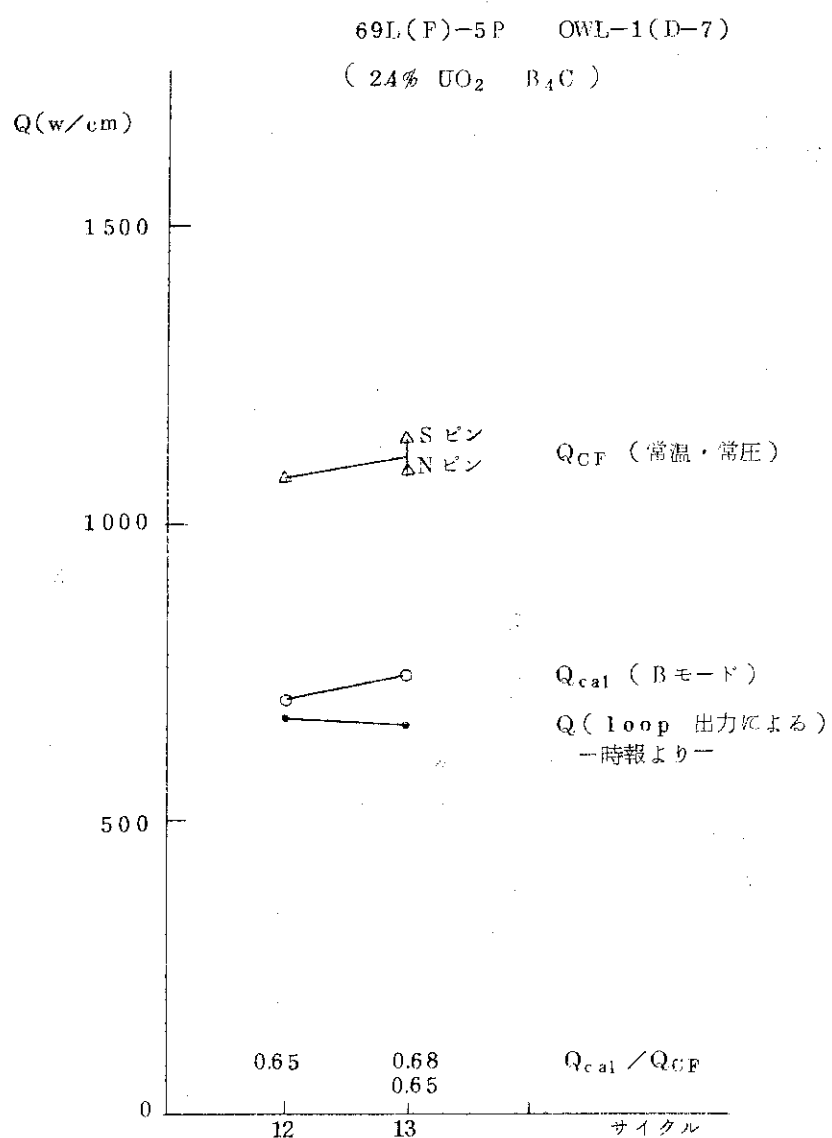


Fig. 3-17 69LF-5P の経過

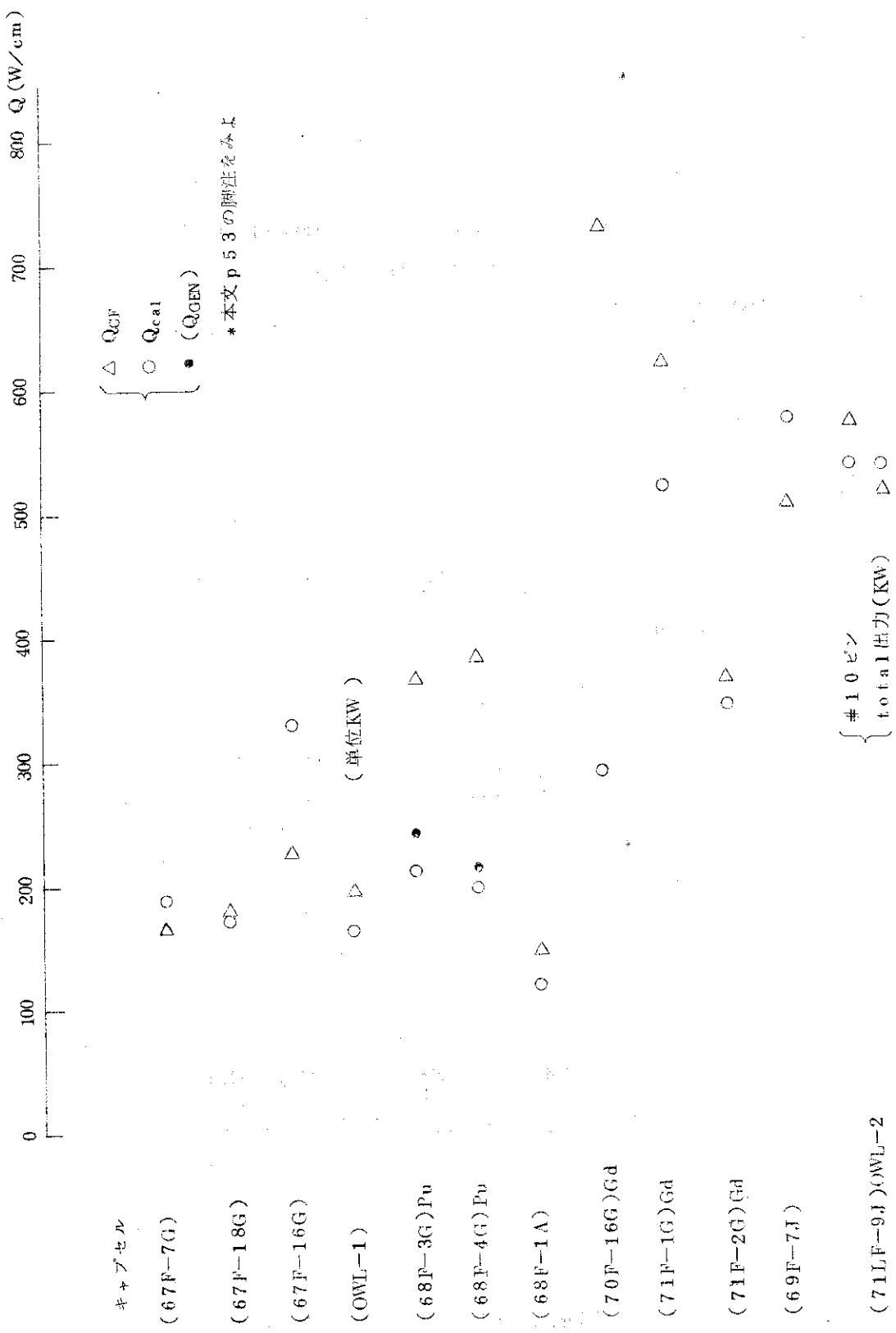


Fig. 3-18 1 サイクル照射キャプセルの発熱量推定値

4. まとめ

第3サイクル～第14サイクルで照射された35本（延べ74本）のキャプセルについて Q_{CF} , Q_{cal} の総括を行ない、現状の分析と今後の改良策を検討した。作業の主力は2つの発熱量推定値の一一致度の追求に置いた。誤差をもたらす因子が多すぎて判断に苦しむケースもあったが結果としては有益な指針を得る事が出来た。

先ず Q_{cal}/Q_{CF} の形で両者の一致度を表すと次のような値を示している。

$$Q_{cal}/Q_{CF} = \begin{cases} 0.838 \pm 0.208 (\sigma) \cdots (\text{Gd入試料, 微少発熱試料を除く全平均}) \\ 0.855 \pm 0.203 (\sigma) \cdots (\text{Pu入試料, Gd入試料, 微少発熱試料を除く全平均}) \end{cases}$$

現状では発熱量推定の精度として Q_{CF} , Q_{cal} ともそれぞれ $\pm 20\%$ を目標としているので上記の数値は満足すべきものである。しかし現実には推定の精度不足が痛感されて居り、このことは推定精度の目標を $\pm 10\%$ 程度にまで上げるべきことを示している。

今後の方針としては先ず Q_{cal}/Q_{CF} を一定の値に収めんさせることが第1であり、これによって次の作業のまとをしほることができる。

Q_{CF} と Q_{cal} の関係については大略 $Q_{CF} > Q_{cal}$ の傾向が認められた。実際の発熱量との関係については予測値はこれとほぼ等しいケースとこれより高いケースがあるが、実際の発熱が評価できたケースについてそれが予測値より高かった例はなかった。

Q_{GEN} は一般的には Q_{CF} , Q_{cal} より低い傾向にあるが最近再計算されたケースでは Q_{CF} , Q_{cal} にかなり近い値を示したものもある。現時点で結論を出すのは適当でないと考えられる。 $Q_{CF} > Q_{cal} > Q_{GEN}$ の傾向を示す好例が Fig. 3-15 に示した 68F-5P の例である。 Q_{CF} , Q_{cal} , Q_{GEN} は各サイクルに亘ってほぼ安定した変遷を示し、3 者の間に何等かの系統的ななずれの原因が存在する可能性を示している。

67F-13G のケースについては核定数のあやまりを修正して妥当な値になったとされていたが総括作業の最終段階でもう一度確認した結果やはり説明のつかない差がある事がわかった。この原因究明は時間の関係もあり現時点では完了していない。

本分析でわかったように特に誤差の大きい試料は、微少発熱試料、Gd入試料それに Pu 入試料である。微少発熱試料は安全上問題がなく、また照射の目的が発熱量にはない試料でもあるので特に現時点で発熱量推定に力を注ぐ必要性は少い。Gd入り試料については Gd の燃焼特性が不明なため時々刻々の発熱推移は評価できたいのが現状である。しかし燃焼ゼロの時点または完全燃焼の時点いずれかについては OF 実験値と一致すべき性格のものである。初期の Gd入り試料については NM として同位体比の異なる Gd を入れたものが提出されるなど初步的なミスもあったが現状では大体他の試料と同程度に一致するようになって来た。Pu入り試料については試料内中性子束分布の評価に問題が残っている。種々のパラメーターについて横孔ピン実験を行いたいところであるが試料の特殊性から極度の気密性が要求され横孔ピンの工作がむずかしい。したがって試料内中性子束分布は核計算により評価し 2～3 の代表的をケース

について実験によって核計算の妥当性を確認すると言う方策が最も実際的である。このほか、 Pu 入り試料については熱外中性子スペクトルの影響が大きい。各照射孔位置およびキャップセル内部のスペクトルについては目下鋭意評価につとめているがその評価精度の向上は直接発熱量推定精度の向上につながっている。そのほか特殊な試料としては被覆粒子燃料が ± 1.6 サイクルに照射されることになるが、これら特殊試料については一般的に第1回には多少推定精度が劣り、経験を積むに従って精度が向上する傾向にある。したがってこれらについては本来ならばこれを予測し、これに対する技術を整備して照射申込みを待つと言った余裕のある態度をとるべきであろう。

本分析は Q_{CF} と Q_{cal} の一致度を、主として Q_{CF} の側から検討したものであるが、発熱量推定の目的はあくまで実際の発熱量をいかに精度よく予測するかにある事は明らかである。実際の発熱量を知る為のデータとして現在のところ最も信頼のおけるのは burn-up 測定によるものであろう。この方法の欠点はデータを得られるのが時期的にかなり遅くなること、予想値との比較には照射履歴、制御棒位置の効果、試料の burn-up など各種の補正が必要なことである。しかしこの欠点にもかかわらずこの方法で期待される精度は他の方法に比べて極めて高いと信じられるので burn-up 測定に対する期待は大きい。

これに対しループ試料では照射中にループ出力として全発熱量が得られる。ガンマ加熱分の評価、ピン毎の出力分担、ピン縦方向のピーピング係数、中性子温度（あるいはスペクトル）の影響、ループ出力測定法など評価誤差の入りやすい点はあるが、このループ出力は推定値評価の極めてよい指針となる。

照射中の温度測定データを利用した Q_{GEN} については今回の分析では補助的に扱った。しかし各サイクル間での発熱量の推移については熱電対の劣化等がない限り極めてよい指標となる。これを基準にして Q_{CF} または Q_{cal} の評価ミスを判定することができるし、 Q_{CF} 、 Q_{cal} の評価値の分散の程度を知ることも出来る。

一方、 Q_{GEN} はループ試料を除き照射中に得られる唯一の発熱量の指標である。したがってこれについても現在の技術レベルによる再評価およびその結果とこの総括表との対比は極めて有益であると思われる。巻末第2表・第3表にそれぞれ Q_{GEN} と比較出来る性格の Q_{CF} および Q_{cal} を示したのはこのためである。

燃料試料の B_4C 粉末による模擬については十分粒度の小さいものを使用すれば微濃縮・細径の試料については十分な精度で模擬出来ることがわかった。しかし高濃縮・太径の試料および Pu 入試料については誤差が大きく代替品としては不適当である。これに加えて模擬の様子についても実験では Q_{CF} を大きく見積る方向、核計算ではその逆の方向と言う相反する結果が得られておりこの点の解明も急がねばならない。

JMTRC自体の模擬性（JMTR との構造的な相違）については現状では反射体第4層目を除き補正是行なっていない。しかし反射体の水比の違いは当初の予想より影響が大きいことがわかった。したがって推定値の精度が向上するにつれてこの補正が必要となつて来る。例えば近い将来には各サイクルについてそれぞれ JMTR の定数および JMTRC の定数による核計算を行ない各照射孔の比によって Q_{CF} を補正する方法もとられることになろう。

Q_{CF} 推定作業の中で最も不確実な要素を含むのは CF 実験値から JMTR 本体 50 MW 時へ

の換算係数である。CF の出力を～5 W とすると 50 MW はその 10^7 倍であるのでこの間に誤差が入りやすい。

JMTR 本体でのノイズ法実験からは第Ⅱ期炉心について補正係数 1.27 と言う値を得ているが、一方熱中性子束の比較測定では CF と本体 16 MW では 1.0 (補正の必要なし) と言う値を得ている。また別にノイズ法における G-factor は仮想的な一点モデルではじめて 1.0 であり現実の体系ではこれからずれて来る筈でありこれらの間の説明は未だついていない。

したがってこの補正係数については今後なるべく多くの方法で追及する必要がある。

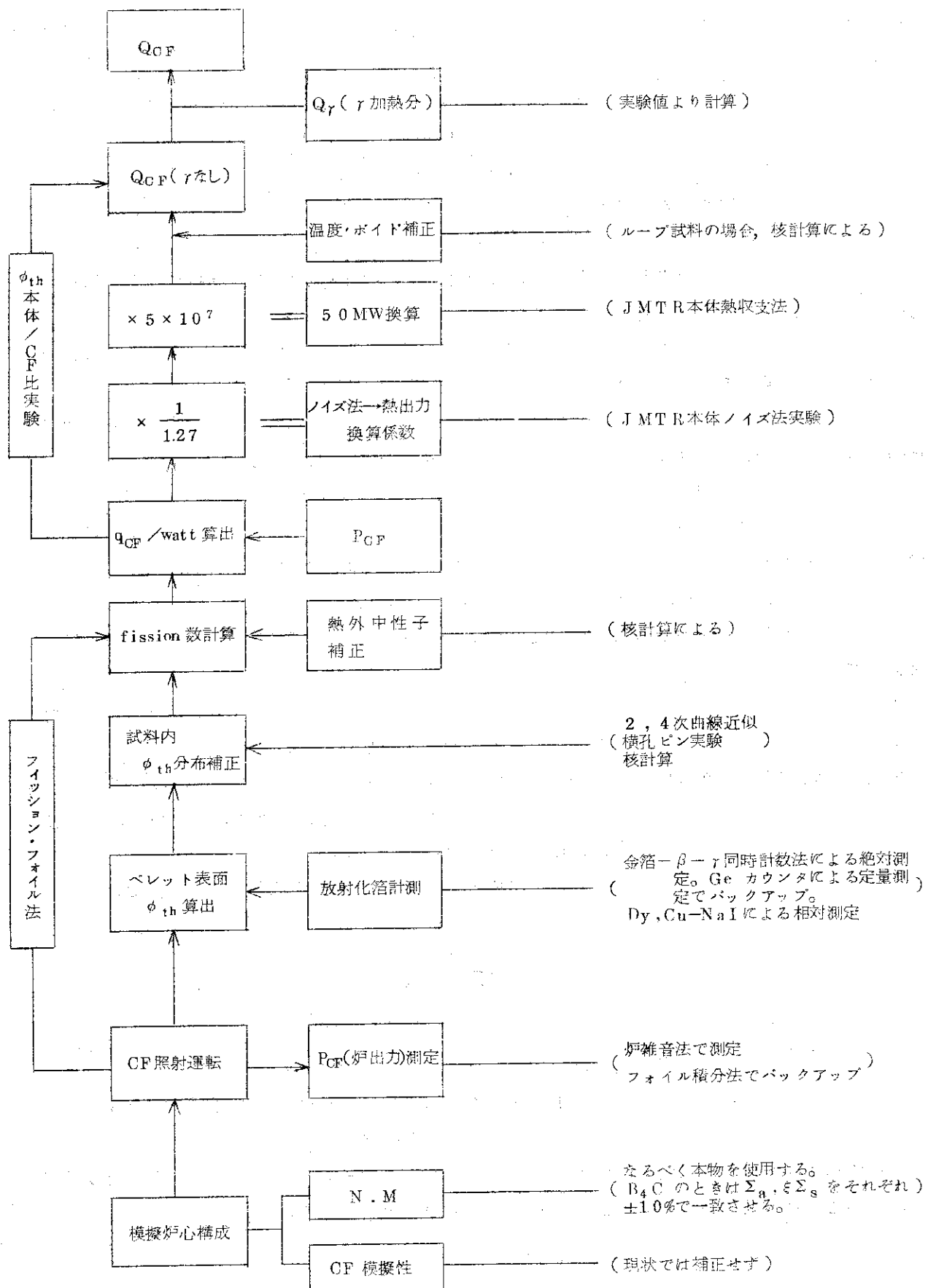
次に重要なのは CF 炉出力 P_{CF} の測定精度である。例えば Fig. 3-4 に見られるように炉出力の測定ミスがあれば正しい Q_{CF} は望み難い。1 ケの放射化箱の計測ミスであれば他のデータから十分な精度で修正が可能の場合もあるが、炉出力の場合フォイル法のデータによる修正では十分な精度は期待できずあくまで大きなミスの防止と言う範囲にとどまっている。

また本分析では特にふれなかったが放射化箱の測定精度が要求されるのは当然である。放射化箱の測定には、(1) Dy, Cu などの相対測定と、(2) Au による絶対測定の 2 つの面がある。(1)については従来は GM 管による β 線測定で行なっていたが、これは試料の形状や測定の幾何学的条件の影響を受けやすいので全面的にシンチレーション計数方式に改めた。(2)の絶対測定については β - γ 同時計数法を用いているが測定器のセッティングをミスして全く誤ったデータを得た経験に基づきその後はゲルマニウム検出器による γ 線定量測定でバックアップする方式とした。データ処理に使用する数値として β - γ 同時計数法による結果をとる事については従来通りである。

この分析結果にもとづいて Q_{CF} 推定精度向上の方策として次のような方法をとることにした。基本方針としては、① Q_{CF} 算出のプロセスを各部分に分解し各部分についてミスをしていかないかを出来る限り独立な 2 つ以上の方法によって確認するとともにその部分の精度を徹底的に追及する。一方、② いくつかのプロセスを経る事は誤差の増大をまねくため、より直接的な方法の開発につとめる、と言う事になる。 Q_{CF} 算出のプロセスを Fig. 4-1 に示した。この図の中でフィッショングフォイル法と ϕ_{th} 一本体 / CF 比実験が②のより直接的な方法の例である。

む　　す　　び

今回の分析にあたっては発熱量推定技術の初期のものと中期のものが混在しては有意な結論が出ないと判断し、 Q_{CF} については #14 サイクル当時の技術レベルで再評価を行なった。従って相当の期間をさかのぼって当時の生データの妥当性の検討も必要となり、予想以上の時間を費してしまった。これに引続いて #15 サイクル以降のデータについても分析を行なう予定であるがこの作業は今回にくらべかなり楽になるものと思っている。

Fig. 4-1 Q_{GF} 推定のプロセス

謝 辞

本稿をまとめるにあたり、終始試料発熱量推定技術の重要性を指摘され激励を頂いた八剣達雄部長、野村末雄次長に深く感謝します。

またQ_{GEN}のデータについて照射第1課長大内信平、同代理八巻治恵の両氏および照射第1課の各担当者の手をわざらわした。ここに感謝の意を表します。

5. [付録] Q_{CF} , Q_{cal} 総括一覧表

内 訳

- 第1表 試料発熱量(推定値)一覧
 第2表 Q_{CF} 関係参考値
 第3表 Q_{cal} 関係参考値
 第4表 キャップセル別の Q_{cal}/Q_{CF}

5.1 表の読み方

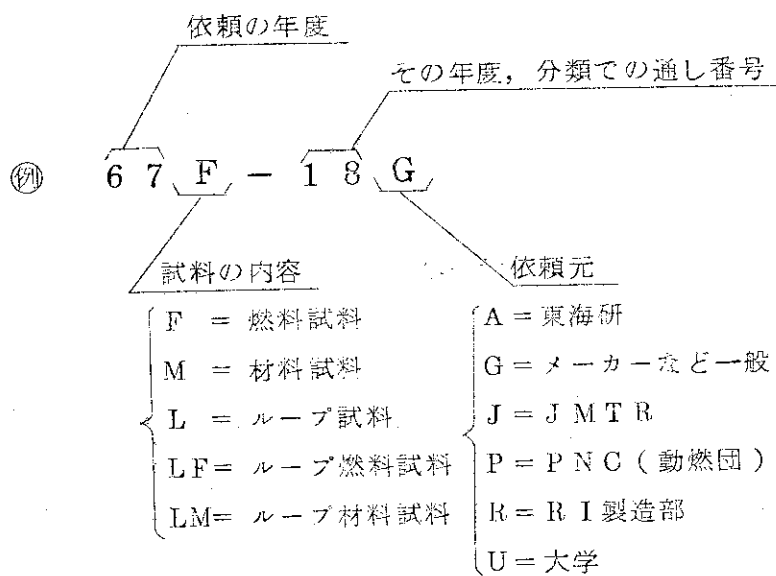
発熱量推定の概況は第1表で見ることができる。第2表および第3表は、第1表で用いられる各数値の算出またはチェックに必要なデータを記載したもので夫々第2表が Q_{CF} 関係、第3表が Q_{cal} 関係である。第4表はキャップセル別に各サイクルの Q_{cal}/Q_{CF} をまとめたものである。

本表に現われる主要な事項(術語)については § 2 を参照されたい。

5.2 第1表の各欄の内容

第1欄：運転サイクル

第2欄：キャップセル番号。これは下図のようなルールに従って命名されている。



第3欄：照射サイクル数。従ってたとえば4とあれば当該サイクルを含めてその前後4サイクル同一キャップセルが照射されている。ただし同じ4サイクルでも第Ⅰ期炉心(3~11サイクル)と第Ⅱ期炉心(12サイクル以降)とでは照射目数は大きく変つて来る。

第4欄：Nuclear Mock-up (NM)として本物と殆んど変わらないものを用いたか B_4C によって模擬したかの別を示す。

第5欄：照射孔の位置(番地)

第6欄：照射孔の種別で反射体1層目(1), 反射体2層目(2), 反射体3層目(3), 燃料領域(F)

の別を示す。

第7欄：第2表のデータから現時点での最も正しいと思われる方法を用いて（必要な場合は再計算して）算出した Q_{CF} (CF 実験によって求めた推定発熱量) である。この欄ではノイズ法で求めた CF 出力を基準として計算している。表中()つきで示した数値は新解析器と対応のつかない時代の旧ノイズ法で求めた CF 出力を基準としており(3～5サイクル), 新解析器と対応のつけられる旧解析器でのデータ(補正ノイズ法-6～10サイクル)および新解析器でのデータ(新ノイズ法-10～14サイクル)と区別している。

第8欄：第7欄のための参考データとして示したもので、この場合放射化積分法で求めた CF 出力を基準にして計算している。

第9欄：核核算の手法で求めた推定発熱量 Q_{cal} であるが Q_{CF} と直接比較出来るようにするために炉出力をステップ状に最大出力へ上昇したと仮定した場合の起動時の発熱量に換算してある。実際にはごとく運転と俗称している出力上昇手順によって発熱の起動時ピーキングを防止する様にしているのでこの欄に示された状態は起らない。

第10～12欄：計算および CF 実験による2つの推定発熱量の一致度を見るために Q_{cal} / Q_{CF} の比を示したものである。各欄はそれぞれ新ノイズ法(補正ノイズ法を含む), 放射化積分法, 旧ノイズ法を基準としたそれぞれの Q_{CF} に対応する値である。

第13～15欄：ごとく運転をした場合の、熱電対(T/C)挿入位置での発熱量を示す。

第15欄の Q_{GEN} というのは炉運転時の熱電対温度実測値から計算コード GENGTc を用いて計算(照射1課担当)した発熱量である。

第16欄：試料内容の概略を示す。()つきで示したものは NM として B_4C を用いたもの、()を含むは実際に核燃料物質を使用したことを示す。

5.3 第2表の各欄の内容

第1～2欄：第1表の場合と同じ。

第3欄：各サイクル実施時に運転計画書に記載された Q_{CF} (但しガンマ発熱分および熱外中性子寄与分を含まず)。単位はループ試料 total を除き watt/cm²。

第4欄：同上ガンマ発熱分および熱外中性子寄与分を含めた Q_{CF} 。

第5欄：各サイクル当時計算に用いた単位核分裂当たりの発熱量。当時は安全側をとって 200 MeV/fission を採用していたが現在では透過力が大で試料内では発熱に寄与しない分を除外した 176 MeV/fission に統一している。但し系の大きいループ試料については 196 MeV/fission を採用している。

第6欄：熱外中性子の寄与を含める場合の換算係数。例えば 1.054 とあれば熱中性子寄与分を 1.00 として熱外中性子の寄与が 0.054 であることを示す。

第7欄：J M T R 本体の出力は熱出力で、JMTRC の出力はノイズ法で測定される。この欄は両者の換算係数を示す。この値は第Ⅰ期炉心(3～11サイクル)では 1.12, 第Ⅱ期炉心(12サイクル以降)では 1.27 と求められている。すなわち JMTRC の出力を本体と同じ熱出力の物差しで表示するとすればノイズ法で測定した出力に

1.1.2 または 1.2.7 を乗ずる必要がある。従って Q_{OF} については次式のようになる。

$$Q_{OF} = (\text{CF 内での発熱量}) \times \frac{\text{本体出力(熱出力)}}{\text{CF 出力(ノイズ法)} \times (1.1.2 \text{ または } 1.2.7)}$$

なお、同欄の(未)、(済)はサイクル当時の Q_{OF} (3 又は 4 欄) 算出時にこの係数の補正が済んでいるか否かを示す。

第 8 ~ 9 欄: CF の出力 (watt) でノイズ法 (8 欄) および放射化積分法 (9 欄) で求めたもの。なお、ノイズ法で旧、補正、新とあるのは夫々旧解析器によるもの、旧解析器で求めたものを新解析器での値に補正したもの、新解析器によるものを示す。

第 10 欄: 現在試料中での中性子束の分布は 2 次曲線に近似している。第 3 ~ 6 サイクルではこれを折線で近似していたので当時の生データを用いて再計算を行なった。従ってこの欄に再計算とあるキャップセルの補正込み Q_{OF} (第 14 欄) は第 2 表のデータのみでは導けない。

第 11 欄: 各種の補正を施し現時点* で最も正しいと思われる発熱推定値 (起動時、ガンマ発熱分を含まない値)。

第 12 欄: こぶとり運転を行なった場合の Q_{OF} (アホシ) のサイクル中最大値、通常の場合最大値はサイクル初期にあらわれる。

第 13 欄: ガンマ線による発熱量

第 14 ~ 15 欄: 第 11 ~ 12 の値に対しガンマ発熱分 (13 欄) を加えたもので最終的な Q_{OF} の値である。

第 16 欄: こぶとり運転を行なった場合の熱電対位置 (必ずしも最大発熱位置ではない) のサイクル中最大発熱量。

5.4 第 3 表の各欄の内容

第 1 ~ 2 欄: 第 1 表、第 2 表に同じ。

第 3 ~ 4 欄: 計算による推定発熱量、但しセル (unit cell) 全体について平均した値として得られている。第 3 欄はサイクル当時の発表値、第 4 欄は単位核分裂当り 1.76 MeV 発熱として換算した値。

第 5 欄: 軸方向発熱分布を考慮してセル平均 Q_{cal} から軸方向最大の点での Q_{cal} を得るための係数。

第 6 欄: 起動時の Q_{cal} からサイクル中最大値を得るための係数。係数 = 1.00 と言うことは起動時にサイクル中の最大値になることを示す。

第 7 欄: こぶとり運転と俗称されている運転方式を採用した場合に発熱量が減少する割合。試料発熱量は原子炉起動の極く初期に大きなピークを示す。このピーク発熱を軽減するため炉出力を一挙に全出力 5.0 MW にあげることをせず例えば 4.0, 4.5 MW 等のステップを置いて Xe の燃焼を待つよう運転方式を探る。これを JMTR ではこぶとり運転と呼んでいる。

第 8 ~ 13 欄: 第 2 表に準ずる (説明省略)。

* № 14 サイクル当時の意である。

第1表 試料発熱量(推定値)一覧 (1)

サイ クル	キーブセル番号	照射 サク数	N.M.	照射 孔 位置	補正Q _{cp} (二次曲線近似)	Q _{cal} (起動時) (W/m ²)	Q _{cal} (起) /補正Q _{cp} (起)		サイクル最大値(コントリトリ時) Q _{cp} (起)	試料内容の概略
							ノイズ法 (起動時) (W/m ²)	ノイズ法 (起動時) (W/m ²)		
3	67F-5G	4	B ₄ C	H-12 2層目	(170)	328	17.9	—	1.05	(Nat UO ₃)
*	7G	1	*	J-12 2	(164)	315	18.8	—	1.15	(Nat UO ₃)
*	10G	2	*	D-11 2	(244)	481	28.2	—	1.16	(1.5% UO ₃)
*	18G	1	*	N-9 2	(177)	342	17.3	—	0.98	(Nat UO ₃)
4	67F-5G	4	B ₄ C	H-12 2	(138)	—	17.4	—	1.26	(Nat UO ₃)
*	10G	2	*	D-11 2	(215)	—	23.6	—	1.10	(1.5% UO ₃)
*	13G	2	*	J-5 1	(139)	—	27.0	—	1.94	(Nat UO ₃)
*	16G	1	*	N-9 2	(228)	—	32.6	—	1.43	(Nat UO ₃)
*	20U	3	*	E-10 1	—	99	—	—	—	(19U±1)
*	21G	1	*	F-11 1	—	—	—	—	—	(Nat UO ₃)
*	OWL-1性能試験	1	本物	D-7 2	(825+7)	—	—	—	—	99.35% UO ₃
5	67F-1G	3	B ₄ C	J-3 3	(366)	486	27.5	—	0.83	—
*	2G	3	*	K-13 3	(229)	301	16.2	—	0.57	(25% UO ₃)
*	5G	4	*	H-12 2	(164)	213	18.0	—	0.75	216 (25% UO ₃)
*	13G	2	*	J-5 1	(168)	217	27.0	—	1.0	1.85 (1.5% UO ₃)
*	14G	3	*	J-12 2	(233)	302	23.7	—	1.24	(Nat UO ₃)
*	20U	3	*	E-10 1	—	—	—	—	1.61	(Nat UO ₃)
*	28G	2	本物 Gd ₂ Al ₁₀ O ₁₇	N-9 2	(153前)(12.8%)	196	4.2	—	0.78	2.24 (Nat UO ₃)
*	35G	2	本物 Gd ₂ Al ₁₀ O ₁₇	N-10 2	—	54	—	—	—	(19U±1)
6	67F-1G	3	B ₄ C	J-3 3	564	792	3.41 (0.41)	0.43	0.60	2.30 (25% UO ₃)
*	2G	3	*	K-13 3	283	393	1.76 (0.43)	0.45	0.62	1.75 (1.5% UO ₃)
*	5G	4	*	H-12 2	231	319	2.14 (0.64)	0.67	0.93	1.78 (Nat UO ₃)
*	14G	3	*	J-12 2	321	442	2.89 (0.62)	0.65	0.90	2.62 (Nat UO ₃)
*	20U	3	*	E-10 1	—	108	—	—	1.02	(19U±1)
*	28G	2	本物 Gd ₂ Al ₁₀ O ₁₇	N-9 2	—	44	—	—	42	308 Gd ₂ O ₃ Nat UO ₃
*	35G	2	本物 Gd ₂ Al ₁₀ O ₁₇	N-10 2	—	54	—	—	3.4	2.65 Gd ₂ O ₃ Nat UO ₃

↑ ()を付すはNMR実物使用

第1表 試料発熱量(推定値)一覧 (2)

クル 番号	サンプル番号	照射 サイクル数	N.M.	照射 孔位	補正Q _{cpl} (二次曲線近似)	Q _{cal} (超動特) (%偏差)	ノイズ法 (Wt%)	ノイズ法 差率	Q _{cal} (純ノイズQ _{cpl} 除)		Q _{cal} (純ノイズ) (%偏差)	Q _{cal} (純ノイズ) (%偏差)	試料内容の概略
									ノイズ法 (超動特) (%偏差)	ノイズ法 (超動特) (%偏差)			
7	6.7F-1G	3	B ₄ C	J-3 3層目	558 (526)	0.64	0.60	0.66	283	205	(3% UO ₂)		
#	2G	3	#	K-13 3	266	1.88	0.71	0.67	0.95	1.38	1.20	(1.5% UO ₂)	
#	1.4G	3	#	J-12 2	312	281	0.92	0.87	1.23	226	219	(Nat UO ₂)	
#	1.9U	3	#	N-10 2	31	59	1.90	1.84	2.55	—	—	1.9U (注1)	
#	3G	3	本物	E-10 1	571	604	0.99	0.93	1.33	538	—	Nat UO ₂	
#	6.8F-5P	6	#	H-13 3 (F-12 731)	415	775	(0.50)	0.47	0.67	263	250	15.2% UO ₂	
#	6P	5	#	L-12 2	688	728	0.83	0.79	1.11	399	347	15.2% UO ₂	
8	6.7F-3G	2	B ₄ C	F-4 2	280	268	2.24	0.80	0.84	1.30	1.71	1.60 (Nat UO ₂)	
#	3.3G	3	本物	E-10 1	677	647	5.75	0.85	0.89	1.38	4.44	350 Nat UO ₂	
#	6.8F-3G	1	#	O-9 3	365	348	2.10	0.58	0.60	0.94	1.69	220 2.0% UO ₂	
#	4G	1	#	J-3 3	382	365	1.97	0.52	0.54	0.85	1.59	190 2.0% UO ₂	
#	5P	6	#	H-13 3	507	484	3.96	0.78	0.82	1.27	2.72	260 1.52% UO ₂	
#	6P	5	#	L-12 2	738	706	6.02	0.82	0.85	1.33	4.02	370 1.52% UO ₂	
9	6.7F-3G	2	B ₄ C	F-4 2	251	224	1.85	0.74	0.83	1.06	1.41	1.46 (Nat UO ₂)	
#	4G	3	#	G-4 2	280	250	2.25	0.80	0.90	1.15	1.71	1.48 (Nat UO ₂)	
#	31G	3	本物	K-4 2 (M-4)	348 618	310 0.74	4.58 (1.32)	(1.48)	(1.89)	3.63	4.22	2.5% UC	
#	3.3G	3	#	E-10 1	636	567	53.3	0.84	0.94	1.20	4.10	3.37 Nat UC (UC ₂)	
#	6.8F-1A	1	B ₄ C	J-12 2	145	131	1.17	0.81	0.89	1.16	—	—	
#	5P	6	本物	H-13 3	491	437	3.59	0.71	0.82	1.05	2.45	250 1.52% UO ₂	
#	6P	5	#	L-12 2	814	726	6.56	0.81	0.90	1.16	4.40	405 1.52% UO ₂	
10-2	6.7F-4G	3	B ₄ C	G-4 2	356	347	2.46	0.69	0.71	1.07	1.86	1.50 (Nat UO ₂)	
#	8G	2	#	L-5 1	465	454	3.09	0.66	0.68	1.02	—	(Nat UO ₂)	
#	2.3G	2	#	D-11 2	596	581	4.24	0.71	0.73	1.10	3.21	3.20 (2.5% UO ₂ -UO ₂)	
#	2.4G	2	本物	G-12 2 (G-11 778)	468	759	4.32 (0.56)	0.92 (0.57)	(0.87)	3.30	2.40	Nat UC	
#	2.5G	2	8F3G	M-4 2	581	566	4.12	0.71	0.73	1.10	3.35	2.65 (2.0% UO ₂ -UO ₂)	
#	3.1G	3	本物	K-4 2	727	709	4.66	0.64	0.66	0.99	4.59	4.35 2.5% UC	
#	3.6G	2	8F3G	O-9 3	673	656	3.11	0.46	0.47	0.71	2.51	2.65 (2.0% UO ₂ -UO ₂)	
#	6.8F-5P	6	本物	H-13 3	520	507	3.52	0.68	0.69	1.05	2.41	2.15 1.52% UO ₂	
#	6P	5	#	L-12 2	787	768	6.28	0.80	0.82	1.24	4.20	3.35 1.52% UO ₂	

()なしは実物

第1表 試料発熱量（推定値）一覧 (3)

119 U, UO₂, UO₂-BeO, UC-SiC, Th, UAl₃(U-4119, U235-02969, Th-18239)

卷之三

第2表 Q_{CF} 関係参考値(1)

1 サイ クル 番 号	2 キヤブセル番号 $Q_{CF} (当時)$ $Q_{CF} (epi \gamma)$	3 当時 Mev/fission	4 熱ノイズ 補正係数	5 e pi	6 P _{CF} (W)	7 モン内分布 近似法	8 補正済Q _{CF} (7なし)	9 起動時 サイクル最大	10 Q _Y	11 補正済Q _{CF}	12 起動時 サイクル最大	13 Q _{CF}	14 (γ_C 位置)	15 16 17	
3 67F- 5G	1.86	200	1.054	1.12(未)	IR74 (IR3,717)	409	2次曲線再計算	154		1.6	1.70				
# # 7G	1.88	200	1.056	#			#	147		1.7	1.64				
# # 10G	2.74	200	1.028	#			#	231		1.3	2.44				
# # 18G	1.63	200	1.044	#			#	161		1.6	1.77				
4 67F- 5G	1.87	200	1.054	1.12(未)	旧522	—	2次曲線再計算	122		1.6	1.38				
# # 10G	3.35	200	1.030	#			#	202		1.3	2.15				
# # 13G	1.72	200	1.068	#			#	118		2.1	1.39				
# # 16G	3.21	200	1.023	#			#	201		2.7	2.28				
# # 20U	—	—	—	—						6	825+7				
# # 21G	—	—	—	—						1.5	194 KW				
# OWL-1性能試験	760	200	1.108	1.12(未)											
179KW															
5 67F- 1.1G	516	200	1.046	1.12(未)	旧111	933	2次曲線再計算	360		6	3.66				
# # 2G	255	200	1.043	#			#	216		1.3	2.29				
# # 5G	212	200	1.052	#			#	148		1.6	1.64				
# # 13G	1.84	200	1.074	#			#	147		2.1	1.68				
# # 14G	282	200	1.069	#			#	208		2.5	2.33				
# # 20U	—	—	—	—											
# # 28G	181	200	2.044	1.12(未)			#	128		2.5	153				
# # 35G	170	200	1.587	#			#	103		3.7	128				
6 67F- 1G	548	574	200	1.037	1.12(未)	旧949	75.6	2次曲線再計算	558	6	5.64	5.27			
# # 2G	247	270	200	1.042	#	(補正653) 不採用	#	270		1.3	2.83	259			
# # 5G	205	230	200	1.045	#		#	215		1.6	2.31	3.21			
# # 14G	266	307	200	1.059	#		#	296		2.5	3.21				
# # 20U	89	99	200	1.044	#		#			6	—				
# # 28G	209	444	200	2.006	#		#			2.5	—				
# # 35G	1.62	299	200	1.618	#		#			3.7	—				

(2次曲線, 176 MeV.)

第2表 QCP 國際参考値 (2)

サブ K	サブセクション番号	QCP (当時)		当時 MeV/fission	e/pi	熱/ノイズ 補正係数	ノイズ法	P CP (W)	ビン内分布	補正済QCP(±±)	起動時 サイクル最大	Q CP	補正済QCP (%位置)
		Qf, spkz	公 式										
7	6.7F- 1G	476	500	200	1.037	1.12(未)	旧9.57	7.54	2次曲線	520	6	526	402
#	2G	231	253	200	1.039	#	補正7.14	#	#	253	13	246	183
#	1.4G	261	301	200	1.057	#	#	#	#	291	25	316	246
#	1.9U	F10 19	30	200	1.044	#	#	#	#	21	10	31	21
#	3.3G	498	543	200	1.041	#	#	#	#	546	25	671	544
#	6.8F- 5P (F-12, 658)	(695)	200	1.034	#	#	#	#	#	(718)	13	(731)	284
#	6P	596	655	200	1.038	#	#	#	#	402	36	415	484
8	6.7F- 3G	201	222	200	1.040	1.12(未)	旧10.6	7.57	2次曲線	267	13	280	214
#	3.3G	489	535	200	1.043	#	補正6.45	#	#	652	25	677	521
#	6.8F- 3G	273	246	200	1.038	#	#	#	#	362	3	365	235
#	4G	285	299	200	1.038	#	#	#	#	379	3	382	309
#	5P	373	399	200	1.035	#	#	#	#	494	13	507	348
#	6P	527	545	200	1.041	#	#	#	#	702	36	738	493
9	6.7F- 3G	202	224	200	1.045	1.12(未)	旧9.4	8.28	2次曲線	238	13	251	192
#	4G	218	250	200	1.035	#	補正6.56	#	#	267	13	280	214
#	3.1G (M-4, 290)	(310)	200	1.044	#	#	#	#	#	(341)	7	(348)	492
#	3.3G	520	548	200	1.044	#	#	#	#	611	25	648	490
#	6.8F- 1A	86	114	200	1.237	#	#	#	#	120	25	145	-
#	5P	409	438	200	1.038	#	#	#	#	478	13	491	338
#	6P	664	727	200	1.040	#	#	#	#	778	36	814	560
10-2	6.7F- 4G	262	295	200	1.076	1.12(未)	旧8.38	6.23	2次曲線	343	13	356	244
#	8G	345	387	200	1.049	#	補正5.98	#	#	440	25	465	-
#	2.3G	464	495	200	1.014	#	新 5.42 (米用)	#	#	571	25	596	408
#	2.4G (G-11, 564)	(646)	200	1.091	#	#	#	#	#	(747)	31	(778)	317
#	2.5G	454	419	200	1.051	#	#	#	#	437	579	2	496
#	3.1G	568	600	200	1.044	#	#	#	#	720	7	727	523
#	3.6G	534	554	200	1.033	#	#	#	#	671	2	673	415
#	6.8F- 5P	401	430	200	1.039	#	#	#	#	507	13	520	319
#	6P	594	652	200	1.040	#	#	#	#	751	36	787	473

(2次曲線, 176 MeV.)

第2表 Q_{CF} 関係参考値 (3)

1	2	3	4	5	6	7	8	9	10	11	12	13	14	15	16	17			
サイ クル #	キヤセル番号 (Q _r , epi及L) 公 式	Q _{CF}	MeV/fusion	e p i	熱ノイズ 補正係数	P _{CF} (W)	ビン内分布	補正済 Q _{CF} (なし)	起動時 [マクル最大]	Q _r	起動時 [マクル最大]	補正済 Q _{CF}	Q _{CF}	Q _{CF} (%位置)					
1.1	6.7 F-- 4 G	27.6	3.09	2.00	1.076	1.12(未)	新 5.55	由 8.59	2 次曲線	3.60	1.3	3.73	2.58						
"	" 8 G	37.7	4.20	2.00	1.049	"	"	"	4.80	2.5	5.05								
"	" 2.3 G	50.7	5.39	2.00	1.014	"	"	"	6.25	2.5	6.50								
"	" 2.4 G	3.91	4.58	2.00	1.091	"	"	"	5.19	3.1	5.50								
"	" 2.5 G	4.54	4.79	2.00	1.051	"	"	"	5.80	2	5.82								
"	" 3.6 G	5.39	5.70	2.00	1.053	"	"	"	6.91	2	6.93								
"	6.8 F-- 5 P	4.01	4.36	2.00	1.041	"	"	"	5.07	1.3	5.20								
"	" 6 P	5.24	5.82	2.00	1.042	"	"	"	6.64	3.6	7.00								
第II期炉心 (5.0 MW)																			
12.2	6.8 F-- 5 P	85.8	9.12	1.76	1.037	1.27(未)	新 8.00	8.4	2 次曲線	7.00	2.2	7.22							
"	6.9 F-- 8 J	47.8	—	1.76	1.060	"	"	"	"	"	"								
"	6.9 LF--5 P (S)	115.1	1.353	1.76	1.124	"	"	"	"	101.8	5.9	1.077							
1.3	6.9 F-- 8 J	45.8	5.27	1.76	1.060	1.27(未)	新 8.46	9.29	2 次曲線	3.82	4.2	4.24							
"	7.0 F--1.6 G	62.3	9.12	1.76	1.374	"	"	"	"	67.4									
"	7.1 F-- 1 G	60.1	7.82	1.76	1.268	"	"	"	"	88.7									
"	" 2 G	3.47	4.26	1.76	1.191	"	"	"	"	62.0									
"	6.9 LF--5 P	N 116.3	13.66	1.76	1.124	"	"	"	"	32.5									
"	(total)	11.7 KW	14.35	1.76	1.124	"	"	"	"	50.1									
14	6.9 F-- 7 J	53.5	6.24	1.76	1.052	1.27(未)	新 9.34	10.2	2 次曲線	4.43	6.1	5.04							
"	" 8 J	45.3	5.28	1.76	1.073	"	"	"	"	38.3	4.2	4.25							
"	7.1 LF--9 J #100V 5.60		19.6	1.28	"	"	"	"	"	56.4	8	57.2							
"	" (total)	4.95 KW	19.6	1.28	"	"	"	"	"	49.8	16KW	51.4KW							

△—(2次曲線, 176 MeV.)

第3表 Q_{cal} 関係参考値 (1)

サイ クル	キャブセル番号	Q _{cal} (セル平均)		Q _{cal} (セル平均)		Q _{cal} (セル平均)		Q _{cal} (セル平均)		Q _{cal} (セル平均)		Q _{cal} (セル平均)	
		当 時 (W/ ² m)	17MeV/ ^f 熱量 (W/m)	当 時 (W/ ² m)	17MeV/ ^f 熱量 (W/m)	シングル(G ₁)	シングル(G ₂)						
3	67F-5G	122	110	155	10	1.1/1.18	163	16	1.79				
#	7G	295	265	112	1.0		171	17	1.88				
#	10G	111	101	155	1.0		269	13	2.82				
#	18G						1.67	16	1.73				
4	67F-5G	114	102	155	1.0	1.1/1.18	158	16	1.74				
#	10G	245	220	112	1.10		223	13	2.36				
#	13G	181	163	153	1.0		249	21	2.70				
#	16G	215	193	155	1.0		289	27	3.26				
#	20U	70	63	147	1.0		93	6	9.9				
#	21G	7.8	7	—	1.0			15					
#	OML-1性能試験	15.1	—	1.185	1.0		161	—	161.47				
5	67F-1G	200	180	151	1.01	1.1/1.18	269	6	275				
#	2G	107	96	155	1.0		149	13	1.62				
#	5G	118	106	155	1.0		164	16	1.80				
#	13G	181	163	153	1.0		249	21	2.70				
#	14G	153	137	155	1.0		212	26	2.37				
#	20U	—	—	—	1.0		—	—	—				
#	28G	1.2	1.1	155	1.0		17	25	4.2				
#	35G	12	11	155	1.0		17	37	54				
6	67F-1G	249	224	151	1.01	1.1/1.18	335	6	341				
#	2G	117	105	155	1.0		163	13	1.76				
#	5G	143	128	155	1.0		198	16	2.14				
#	14G	189	170	155	1.0		264	25	2.89				
#	20U	73	66	155	1.0		102	6	108				
#	28G	13	12	155	1.0		19	25	44				
#	35G	12	11	155	1.0		17	37	54				

第3表 Q_{cal} 関係参考値 (2)

サイ クル ナ ム バ ー ク ル #	# + プラズマ番号	Q _{cal} (±s平均)		輪方向比		サイクル中比		コアトリ		Q _{cal} (T+)		Q _{cal}	
		当時 換算 (W/cm ²) 221	47 (W/cm ²) 226	当時 換算 (W/cm ²) 178MeV/ <i>t</i>	# + プラズマ(C ₀)	係数	(起動時) (サイクル最大)	Q _T	(W/cm ²) 330	(起動時) (サイクル最大)	Q _{cal}	(W/cm ²) 336	(起動時) (サイクル最大)
7	6.7F- 1G	1.26	1.13	1.55	1.0	1.1/1.18	1.75	1.3	1.88	2.92	2.5	3.36	2.83
#	2G	1.92	1.75	1.55	1.0		2.67						1.38
#	1.9U	3.6	3.2	1.53	1.0		4.9						2.26
#	3.3G	3.66	3.47	1.55	1.0		5.38						-
#	6.8F- 5P	2.55	2.29	1.55	1.0		3.65						5.38
#	6P	3.86	3.47	1.65	1.0		5.38						2.63
													3.99
8	6.7F- 3G	1.53	1.37	1.54	1.0	1.1/1.18	2.11	1.3	2.24				1.71
#	3.3G	3.95	3.55	1.55	1.0		5.50						4.44
#	6.8F 3G	1.50	1.35	1.53	1.0		2.07						1.69
#	4G	1.41	1.27	1.53	1.0		1.94						1.59
#	5P	2.75	2.47	1.55	1.0		3.83						2.72
#	6P	4.09	3.65	1.55	1.0		5.66						4.02
9	6.7F- 3G	1.25	1.12	1.54	1.0	1.1/1.18	1.72	1.3	1.85				1.41
#	4G	1.53	1.37	1.55	1.0		2.12						1.71
#	3.1G	3.28	2.95	1.53	1.0		4.51						3.63
#	3.3G	3.65	3.28	1.55	1.0		5.08						4.10
#	6.8F- 1A	6	5.9	1.55	1.0		9.2						-
#	5P	2.48	2.23	1.55	1.0		3.46						2.45
#	6P	4.45	4.00	1.55	1.0		6.20						4.40
10-2	6.7F- 4G	1.67	1.50	1.55	1.0	1.1/1.18	2.33	1.3	2.46				1.86
#	8G	2.04	1.83	1.55	1.0		2.84						3.09
#	2.3G	2.91	2.61	1.53	1.0		3.99						3.21
#	2.4G	2.90	2.62	1.53	1.0		4.01						3.30
#	2.5G	2.99	2.68	1.53	1.0		4.10						3.35
#	3.1G	3.34	3.00	1.53	1.0		4.59						4.59
#	3.6G	2.24	2.02	1.53	1.0		3.09						2.51
#	6.8F 5P	2.44	2.19	1.55	1.0		3.39						2.41
#	6P	4.25	3.82	1.55	1.0		5.92						4.20

第3表 Q_{cal} 関係参考値(3)

1 クル 番号	2 ギア 番号	3 Q _{cal} (ギヤ平均) 当時 (W/cm)	4 軸方向ご と キヤク(C ₁) (W/cm)	5 ナット中心 キヤク(C ₂) (W/cm)	6 コアトリ 保 数	7 Q _{cal} (ナシ) (起動時) (サイクル最大)	8 Q _{cal} (ナシ) (起動時) (サイクル最大)	9 Q _{cal} (W/cm)	10 Q _{cal} (W/cm)	11 Q _{cal} (W/cm)	12 Q _{cal} (W/cm)	13 Q _{cal} (W/cm)	14 Q _{cal} (W/cm)
1.1 # 6.7F- 4G	# 8G	1764eV/ t (W/cm)	1.55	1.0	1.1/1.18	234	13	24.7	—	—	—	—	181
# 2.3G	2.4G	204	1.83	1.55	1.0	284	25	3.09	—	—	—	—	—
# 2.5G	2.9G	3.12	307	1.53	1.0	470	25	4.95	—	—	—	—	384
# 3.6G	3.9G	2.93	264	1.53	1.0	404	31	4.35	—	—	—	—	314
# 6.8F- 5P	2.40	2.40	2.66	1.53	1.0	407	2	4.09	—	—	—	—	333
# 6.9F- 7J	—	—	227	1.53	1.0	347	2	3.49	—	—	—	—	284
# 6.9L- 5P	4.22	3.79	1.55	1.0	335	13	3.48	—	—	—	—	240	—
12-2 # 6.8F- 5P	—	380	1.55	1.0	1.1/1.18	589	22	61.1	—	—	—	—	—
# 6.9F- 8J # 6.9L- 5P(SN)	(中止)	—	—	1.0	—	—	—	—	—	—	—	—	—
# total	—	424	1.52	1.0	644	59	703	—	—	—	—	—	—
1.3 # 6.9F- 8J	—	264	1.52	1.0	1.1/1.18	401	42	44.3	—	—	—	—	—
# 7.0F- 1.6G	—	154	1.52	1.0	234	56	290	—	—	—	—	—	—
# 7.1F- 1G	—	328	1.52	1.0	499	20	519	—	—	—	—	—	—
# 2G	—	216	1.52	1.0	328	13	341	—	—	—	—	—	—
# 6.9L- 5P	—	441	1.55	1.0	684	59	743	—	—	—	—	—	—
# total	—	—	—	1.0	—	—	—	—	—	—	—	—	—
1.4 # 6.9F- 7J	—	336	1.52	1.0	1.1/1.18	511	61	572	—	—	—	—	—
# 8J	—	252	1.52	1.0	384	42	426	—	—	—	—	—	—
# 7.1LF-9J±0.2%	—	427	1.34	1.0	528	8	536	—	—	—	—	—	—
# 7.1LF-9(total)	—	—	—	1.0	524KW	16KW	537KW	—	—	—	—	—	—

第4表 キャブセル別の Q_{cal} / Q_{op} 一致度 (1)

キャブセル番号	撮影度	試料寸法	照射孔	繊方向位置	Q_{cal}/Q_{op}	N.M.	キャブセル番号	撮影度	試料寸法	照射孔	繊方向位置	Q_{cal}/Q_{op}	N.M.	
67F-1G	2946° (A)	1503φ ×1041	J-3	3	0	[H] 075(6) [B] 060(6)	B,C	67F-18G (Canada)	N·U	1020φ ×12039	N-9	2	-27	[B] 0.98(3) B,C
67F-2G	149 (A)	1504φ ×1047	K-13	3	-67	[H] 071(6) [B] 062(6)	B,C	67F-19U	N·U	微量	N-10	2	-	1.90(7) B,C
67F-3G	N·U (A)	1502φ ×1500	F-4	2	0	[H] 070(8) [B] 071(7)	B,C	67F-20U Th	N·U	微量	E-10	1	-	- (4) B,C
67F-4G	N·U (A)	1512φ ×2994	G-4	2	-9	[H] 074(9) [B] 080(9)	B,C	67F-21G (Canada)	N·U	800φ ×9980	F-11	1	-132	- (4) B,C
67F-5G	N·U (A)	9899% ×3000	H-12	2	-10	[H] 105(8) [B] 126(4)	B,C	67F-23G 25PuO ₂	N·U	100φ ×100	D-11	2	+1	0.71(6) B,C
67F-7G	N·U (A)	① 10.04φ ② 10.04φ ③ 10.04φ ×100.02 ×100.02 ×100.00	J-12	2	④ +5	[H] 110(6) [B] 115(8)	B,C	67F-24G (Canada)	N·U	125φ ×120	G-12	2	0	0.92(6) 本物
67F-8G	N·U (A)	99φ ×150.02	L-5	1	-8	[H] 068(6) [B] 061(6)	B,C	67F-25G 20PuO ₂	N·U	55φ ×100	H-4	2	+1	0.71(6) 8F-1G UO ₂
67F-10G	1.5178 (A)	1504φ ×150.03	D-11	2	+202	[H] 1.16(3)	B,C	67F-28G (A)	N·U	1243φ ×200	N-9	2	0	IH 0.27(6) 本物 Gd ₂ O ₃
67F-13G	N·U (Canada)	8.0φ ×119.5	J-5	1	0	[H] 1.94(4) [B] 1.61(5)	B,C	67F-33G (A)	N·U	2.5 1.45 Gd ₂ O ₃	K-4 N-10 ×120	2	0	0.74(9) 本物
67F-14G	N·U (Germany)	1.25φ ×299.2	J-12	2	+4	[H] 1.02(6)	B,C	67F-35G 1.01 Gd ₂ O ₃	N·U	1250φ ×200	E-10	1	0	0.99(7) 本物 Gd ₂ O ₃
67F-16G	N·U (A)	1.252φ ×450.10	N-9	2	+1	[H] 1.43(4)	B,C	67F-36G 20PuO ₂ ×100	N·U	55φ ×100	O-9	3	+1	0.46(6) 8F-4G UO ₃
													0.50(6) 本物	

第4表-2 キヤブセル別 $\mathcal{Q}_{\text{cal}} / \mathcal{Q}_{\text{CP}}$ —致度 (2)

* キヤブセル番号	測定位置	試料寸法	照射孔	磁方向位置	$\mathcal{Q}_{\text{cal}} / \mathcal{Q}_{\text{CP}}$	N·M	* キヤブセル番号	測定位置	試料寸法	照射孔	磁方向位置	$\mathcal{Q}_{\text{cal}} / \mathcal{Q}_{\text{CP}}$	N·M		
6.8F- 4G	20 W/6	5.5φ x100	J- 3	3	+1	0.52(8)	本物	6.9F- 8J	0.715 ⁶	100×2	D- 9	2	+67	中止	本物
6.8F- 5P	15119	160×2	H-13	3	+98	0.88 (0.50)(7)	本物	6.9LF-5P	2403	750	OWL-1	0	-160	1.04 03	
					-98	0.78(8)							1.00 00		
						0.73(9)							0.65 02	B,C	
						0.68 00							0.68 03		
						0.67 00							0.65 03		
						0.85 03									
6.8F- 6P	15119	160×2	L-12	2	+98	0.83(7)	本物	7.0F-1.6G	12 Gd : 2 20 0.5 12 4	100×3	H-12	2	+140	0.40 03	本物 Gd入
					-98	0.82(8)							-170		
						0.81(8)									
						0.80 00									
						0.89 00									
6.9F- 7J	0.715	151	E-12	2	-7	1.13 00	本物	7.1LF-9J	2.5,10	750	OWL-2	—	0	1.04 04	B,C
													0.83(4)	本物	